



Hochschule für Angewandte Wissenschaften Hamburg
Hamburg University of Applied Sciences

Bachelorarbeit

Modellierung eines Einparkassistenten für ein
autonomes Fahrzeug implementiert auf einer
SoC-Plattform

Thorsten Alpers

Modellierung eines Einparkassistenten für ein
autonomes Fahrzeug implementiert auf einer
SoC-Plattform

Thorsten Alpers

Bachelorarbeit eingereicht im Rahmen der Bachelorprüfung
im Studiengang Technische Informatik
am Department Informatik
der Fakultät Technik und Informatik
der Hochschule für Angewandte Wissenschaften Hamburg

Betreuender Prüfer: Prof. Dr.-Ing. B. Schwarz
Zweitgutachter: Prof. Dr. rer. nat. H. Heitmann

Abgegeben am 14. Juli 2010

Thorsten Alpers

Thema der Bachelorarbeit

Modellierung eines Einparkassistenten für ein autonomes Fahrzeug implementiert auf einer SoC-Plattform

Stichworte

Einparkassistent, Bahnplanung, Virtuelle Deichsel, Kreistechnik, Matlab, Spurführung

Kurzzusammenfassung

Der Schwerpunkt liegt in der Bahnplanung des Einparkvorgangs. Es wurden fünf Einparkphasen identifiziert, für die jeweils eigene Bahnplanungsverfahren und Matlab-Modelle entwickelt wurden. Die fünf Einparkphasen wurden durch zwei Fahrtechniken realisiert. Eine ist die Kreistechnik, mit der Kreisbahnen zu einem Ziel geplant und gefahren werden. Die Bahnsegmente bestehen aus ein bis zwei Kreisbahnen, die aufgrund des maximalen Lenkwinkels eine maximale Krümmung und minimale Krümmung besitzen. Die Verbindung erfolgt über Anhaltepositionen an den Berührungspunkten. Es werden hiermit kürzeste Wege erzeugt, die in einem definierten Abstand zu den Hindernissen führen. Die Fahrtechnik Virtuelle Deichsel ist eine Lenkwinkelregelung. Über die Wahl der Regelungsparametern wird Einfluss auf das Fahrverhalten genommen. Ausgehend von einer unbekanntenen Position des Fahrzeugs zu einem Ziel, werden die geeignetsten Parameter gesucht. Hierfür wurden Intervalle von X-, Y- und Achswinkel Differenzen zum Ziel gebildet. In diesen Suchräumen wurden Parameter mit denen die durchschnittliche Abweichung am Ziel am geringsten ist.

Thorsten Alpers

Title of the paper

Modeling of a parking assistance system for an autonomous vehicle implemented on a SoC platform

Keywords

Parking assist, path planning, follow-the-carrot, circle method, Matlab, tracking

Abstract

The focus of this bachelor thesis is the path planning of a parking maneuver. Five parking phases were identified, each own path planning method and therefore were Matlab models developed. The five parking phases were realized by two path planning methods. One is the circle method, which planned orbits towards the goal. The path segments consist between one or two orbits, which have a maximum steering angle. It contains the maximum and minimum curvature. The stopping position is at the contact points of the circles. With this are shortest paths created leading to a defined distance around the obstacles. The follow-the-carrot is a steering angle control. The choice of control parameters influence its behaviour. The most appropriate parameters are searching from an unknown starting position to a goal. This have been formed by intervals of X, Y, and shaft angle differences to the goal. In these search spaces are choosen the parameters which have the minimal average deviations.

Danksagung

An dieser Stelle möchte ich mich bei allen Personen bedanken, die mich bei der Durchführung und Erstellung dieser Arbeit tatkräftig unterstützt haben. Mein Dank gilt Prof. Dr.-Ing. Bernd Schwarz und dem gesamten FAUST-Team.

Für die Unterstützung bei Fragen zur Robotik danke ich Prof. Dr. Meisel.

Für die Zusammenarbeit während meines Studium bedanke ich mich bei allen netten Kommilitonen.

Für die Korrektur und Durchsicht dieser Arbeit danke ich Prof. Dr.-Ing. Bernd Schwarz.

Für die finanzielle und moralische Unterstützung während meines Studiums danke ich meinen Eltern Ruth und Werner Alpers, meiner Oma Ruth Kleindienst, meinen Schwestern Iris, Tina und Silvia, meinem Bruder Andreas, meiner Nichte Emilia und meiner verstorbenen Tante Johanna Wilck.

Inhaltsverzeichnis

1	Einleitung	6
2	Fahrzeugplattform	9
2.1	Fahrzeugmechanik und Elektronik	9
2.2	Autonomes Steuerungssystem	11
3	Kinematische Einspurfahrzeugmodell	14
3.1	Kinematische Einspurfahrzeugmodell für nicht holonome Fahrzeuge	15
3.2	Simulationsumgebung in Matlab	18
4	Grundlagen der Bahnplanung	25
4.1	Überblick Stand der Forschung	25
4.2	Kreistechnik	33
4.3	Virtuelle Deichsel	36
4.3.1	Lenkwinkelregelung	37
4.3.2	Bahnplanung	42
5	Mathematischer Bahnplanungsentwurf der Einparkphasen	48
5.1	Spurführung	50
5.2	Positionierung	51
5.3	Erster Einparkschritt	55
5.4	N-Einparkschritte	61
5.5	Fahrzeug ausrichten	74
5.6	Simulationsergebnis des kompletten Einparkmanövers	76
6	Weitere Entwicklungsschritte des Fahrzeuges	77
7	Zusammenfassung	82
	Glossar	83
	Symbolverzeichnis	85
	Abbildungsverzeichnis	86
	Tabellenverzeichnis	89
	Literaturverzeichnis	90
A	Ergänzungen zur Plattform	92
B	Fahrtechniken	95
B.1	Polynome	95
C	Zusätzliche Simulationsergebnisse	96
D	Matlab Codes	98
D.1	Einparkphasen	98
D.1.1	Testbench Einparkassistent	98

D.1.2	Eventsteuerung der Virtuellen Deichsel	109
D.1.3	Eventsteuerung der Kreistechnik	110
D.1.4	Einparkphase - Spurführung	110
D.1.5	Einparkphase - Positionierung	111
D.1.6	Einparkphase - Erster Einparkschritt	112
D.1.7	Einparkphase - N-Einparkschritte	113
D.1.8	Einparkphase - Fahrzeug ausrichten	115
D.1.9	Funktion - Virtuelle Deichsel Lenkwinkelregelung	116
D.2	Bahnplanungsverfahren der Virtuellen Deichsel	117
D.2.1	Testbench - VD_1	117
D.2.2	Testbench - VD_2	120
D.2.3	Testbench - VD_3	124
E	Anforderungen an das Fahrzeugsystem	130
E.1	Carolo-Cup	130
E.2	Anforderungen an das Fahrzeug	130
E.3	Anforderungen an den Einparkassistenten	131
E.4	Steuerung des Fahrzeugsystems	132

1 Einleitung

Der Schwerpunkt dieser Bachelorarbeit sind die Bewegungs- und Bahnplanung für einen Einparkassistenten. Die Arbeit ist in das Hochschulprojekt Fahrerlose Autonome Transportsysteme (FAUST) integriert. Der Schwerpunkt des Projektes ist die Entwicklung von autonomen Fahrzeugen. Die Digitale Signalverarbeitung in Fahrzeugsystemen erfordern eine hohe Rechengeschwindigkeiten der Komponenten zur Auswertung der Umgebungsinformationen und zur Berechnung des nächsten Bewegungsablaufs. FPGA-basierte „System on Chip“ Plattformen erfüllen diese Anforderung mit parallelen DSP-Funktionselementen.

Das autonome Bewegen von Fahrzeugen ist eine Technologie die einen großen Nutzen bringt: Im Straßenverkehr werden Unfälle verhindert und der Verkehrsfluss erhöht, in Fertigungsanlagen erhöhen Flurförderfahrzeuge die Abfertigungsgeschwindigkeit und damit die Produktivität. In für den Menschen nicht zugänglichen Zonen, wie in Teilen des Hamburger Hafens am Containerterminal Altenwerder [21], werden autonome Fahrzeuge bereits eingesetzt und verringern die Abfertigungsdauer.

Es gibt zur Zeit eine Vielzahl von Fahrerassistenzsystemen[16]: Einparkassistent, ABS, ESC, Verkehrszeichenbeobachter, Spurwechselassistent, Notbremsassistent, Spurhalteassistent, Sie machen das Fahren einfacher und sicherer. Einparkassistentensysteme werden in vier Kategorien eingeteilt[20]:

1. Informierende Einparkassistentensysteme:

Sie sind am weitesten verbreitet, sie informieren den Fahrer über die Abstände zu Objekten seitlich, hinter und vor dem Fahrzeug.

2. Geführte Einparkassistentensysteme:

Sie geben implizite Handlungsanweisungen an den Fahrer: Soll-Lenkwinkel, Fahrtrichtung, Stopp-Punkte und das Ende des Einparkvorgangs.

3. Semiautomatische Einparkassistentenz:

Die Lenkung übernimmt das Assistenzsystem, der Fahrer übernimmt die Geschwindigkeitssteuerung.

4. Vollautomatische Einparkassistentenz:

Das System übernimmt vollständig das Einparken.

Das Ziel ist die Modellierung eines Einparkassistenten, das als aufbauende Arbeit in dem Hochschulprojekt FAUST Verwendung finden wird. Implementiert wird das Assistenzsystem auf einer System on Chip Plattform, die beim Carolo-Cup eingesetzt wird. Plattformunabhängige Werkzeuge wie UML und SysML gewährleisten die Wiederverwendbarkeit und verringern die Einarbeitungsdauer.

Schwerpunkte sind:

- Recherche zu Bahnplanungskonzepten und Modell-Simulation in Matlab
- Konzept zur Integration von HW-Komponenten
- Entwurf des Einparkassistenten

Vorgehensweise

Die Schritte zur Entwicklung eines Einparkassistentensystems (siehe Abb. 1) werden hier behandelt. In einem aufbauenden Projekt muss ein Überblick geschaffen werden, was vorhanden ist und was vorab getan werden muss, um den Einparkassistenten realisieren zu können (vgl. Kapitel „Fahrzeugplattform“ und „Kinematische Einspurfahrzeugmodell“). Ein Überblick über ausgewählte Bahnplanungskonzepte aus der Literatur und Forschung, dient als Basiswissen zum Entwurf von eigenen Bahnplanungsverfahren (siehe Kapitel „Grundlagen der Bahnplanung“). Die zu entwickelnden Bahnplanungsverfahren müssen getestet werden. Dafür sind Matlab-Modelle der Verfahren notwendig. Mit ihnen können Fehler entdeckt werden und ein Vergleich von Bahnplanungsverfahren kann realisiert werden. Der Einparkassistent braucht Schnittstellen zum Bahnplanungsverfahren und weiteren Komponenten, die mit der Sensorik und Aktorik kommunizieren. Eine UML-Darstellung des HW/SW-Systems, aus deren Schnittstellen und Aktivitäten ist dafür hilfreich.

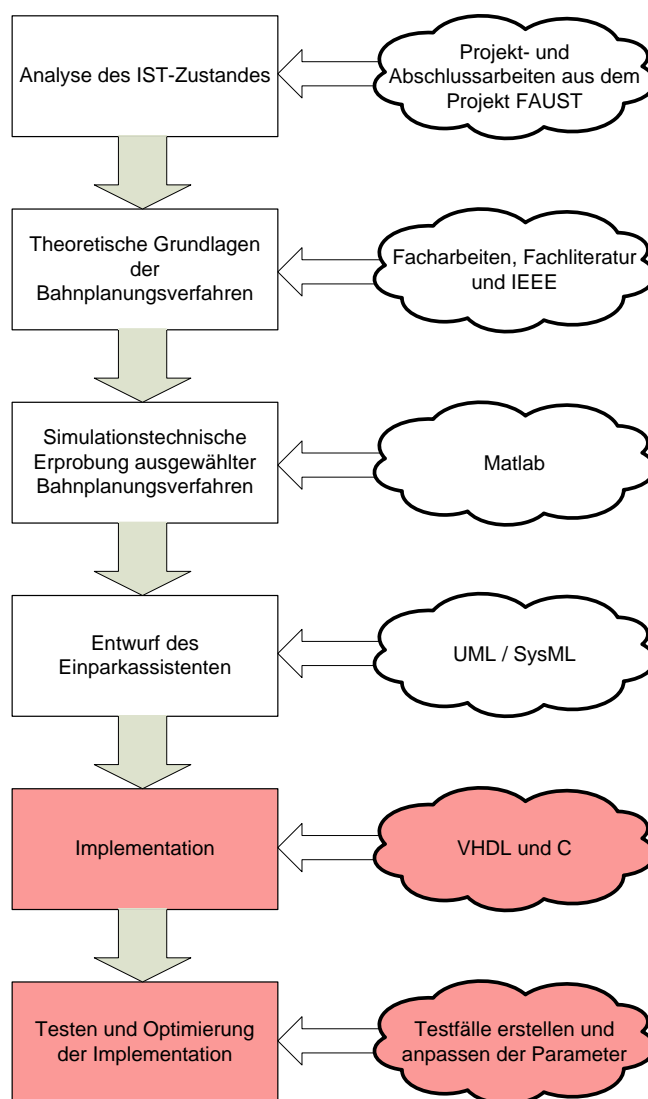


Abb. 1: Vorgehensweise zur Entwicklung des Einparkassistenten, weiß = realisierte Schritte, rot = zukünftige Entwicklungsschritte

Fünf Einparkphasen wurden identifiziert (vgl. Abb. 2), für die jeweils eigene Bahnplanungsverfahren und Matlab-Modelle entwickelt wurden. Realisiert wurden die Einparkphasen mit zwei Fahrtechniken.

Eine ist die Kreistechnik, mit der Kreisbahnen zu einem Ziel geplant und gefahren werden. Die Bahnsegmente bestehen aus ein bis zwei Kreisbahnen, die aufgrund des maximalen Lenkwinkels eine maximale Krümmung und minimale Krümmung besitzen. Die Verbindung erfolgt über Anhaltepositionen an den Berührungspunkten. Es werden hiermit kürzeste Wege erzeugt, die in einem definierten Abstand zu den Hindernissen führen.

Die Fahrtechnik Virtuelle Deichsel ist eine Lenkwinkelregelung. Über die Wahl der Regelungsparametern wird Einfluss auf das Fahrverhalten genommen. Ausgehend von einer unbekannt Position des Fahrzeugs zu einem Ziel, werden die geeigneten Parameter gesucht. Hierfür wurden Intervalle von X-, Y- und Achswinkel Differenzen zum Ziel gebildet, in denen die

Parameter ausgewählt wurden, bei denen die durchschnittliche Simulationsabweichung am Ziel am geringsten ist.

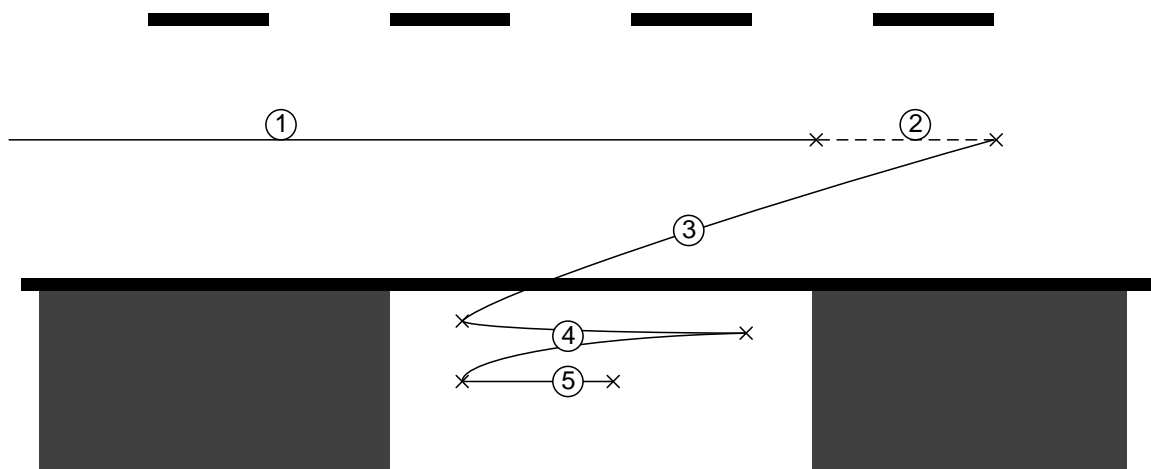


Abb. 2: Einparkphasen des Einparkvorgangs: 1) Spurführung, 2) Positionierung, 3) erster Einparkschritt, 4) N-Einpark Schritte, 5) Fahrzeug ausrichten

Übersicht zu den Einparkphasen (vgl. Abb. 2)

1. **Spurführung:** Der Fahrspur in einem Achswinkel von 0 Grad folgen.
2. **Positionierung:** Zum Einparken eine exakte Position erreichen, von der aus eingeparkt wird.
3. **Erster Einparkschritt:** Das erste Einparkmanöver in die Parklücke hinein.
4. Weitere **N-Einpark Schritte:** Durch Vor- und Zurücksetzen in der Parklücke eine ausreichende Tiefe erreichen.
5. Das **Fahrzeug ausrichten:** Die Einparktiefe ist erreicht, nur der Achswinkel liegt nicht im Bereich von 0 +/- 5 Grad.

Kapitelübersicht

Einleitend wird im Kapitel 2 eine Übersicht zu der Fahrzeugplattform gegeben. Inhalte sind die Fahrzeugmechanik, -aktorik und -sensorik, sowie die FPGA Hardware/Software-Plattform. Die Sensorik erfasst die Umgebung, wie die Fahrspur und die Parklücke. Eine Zuordnung von erfassten Sensorwerten zu einer relativen Lage des Fahrzeugs und die Lokalisierung des Fahrzeugs in der Umgebung, wird mit einem mathematischen Einspurfahrzeugmodell realisiert. Im Kapitel 3 wird es beschrieben und deren Simulation in Matlab.

Darauf aufbauend werden in Kapitel 4 ausgewählte Bahnplanungsverfahren aus der Forschung analysiert und eigene Verfahren für das Einparkmanöver entworfen. Es werden zwei Bahnplanungsverfahren die „Virtuelle Deichsel“ und die „Kreistechnik“ vorgestellt, mit denen alle 5 Einparkphasen realisiert werden.

Im Kapitel 5 wird die mathematische Realisierung der Bahnplanung für die Einparkphasen entworfen. Matlab-Modelle gewährleisten die Funktionalität der Verfahren. Zur Abrundung der Arbeit und zum Fortschritt des FAUST-Projektes, wird im Kapitel 6 ein Ausblick auf weitere Entwicklungsschritte des Einparkassistenzsystems gegeben.

2 Fahrzeugplattform

Im folgenden Kapitel wird die Plattform erläutert, die der Einparkassistent nutzen wird. Zuerst wird die Fahrzeugmechanik und -elektronik beschrieben, auf der die Steuerlogik aufbaut. Sie besteht aus einem FPGA Spartan3e und hat über die I/Os des Nexys2-Boards Kommunikationswege zu der Aktorik (Geschwindigkeit und Lenkwinkel) und Sensorik des Fahrzeugs.

2.1 Fahrzeugmechanik und Elektronik

Die Fahrzeug, des zu entwickelnden autonomen Einparkassistentensystems, ist ein 1:10 Fahrzeugmodellauto. Es wird manuell über eine Fernsteuerung bedient. Die Kommunikationskanäle der Fahrzeugperipherie werden abgegriffen und an den FPGA Spartan3e angebunden und ausgewertet. Zum Treffen von autonomen Fahrentscheidungen werden Umgebungsinformationen gebraucht, die zusätzliche Sensoren liefern.

Fahrzeuggeometrie des Tamiya TT-01 1/10 Chassis Enzo Ferrari:

- Länge: 457 mm
- Spurweite, Abstand zwischen den Radmittelpunkten auf einer Achse: 160 mm
- Breite: 202 mm
- Radstand, Abstand zwischen Vorderachse zur Hinterachse: 257 mm
- Abstand Vorderachse zur vorderen Fahrzeugbegrenzung: 80 mm
- Abstand Hinterachse zur hinteren Fahrzeugbegrenzung: 55 mm
- maximaler Lenkwinkel: 20 Grad

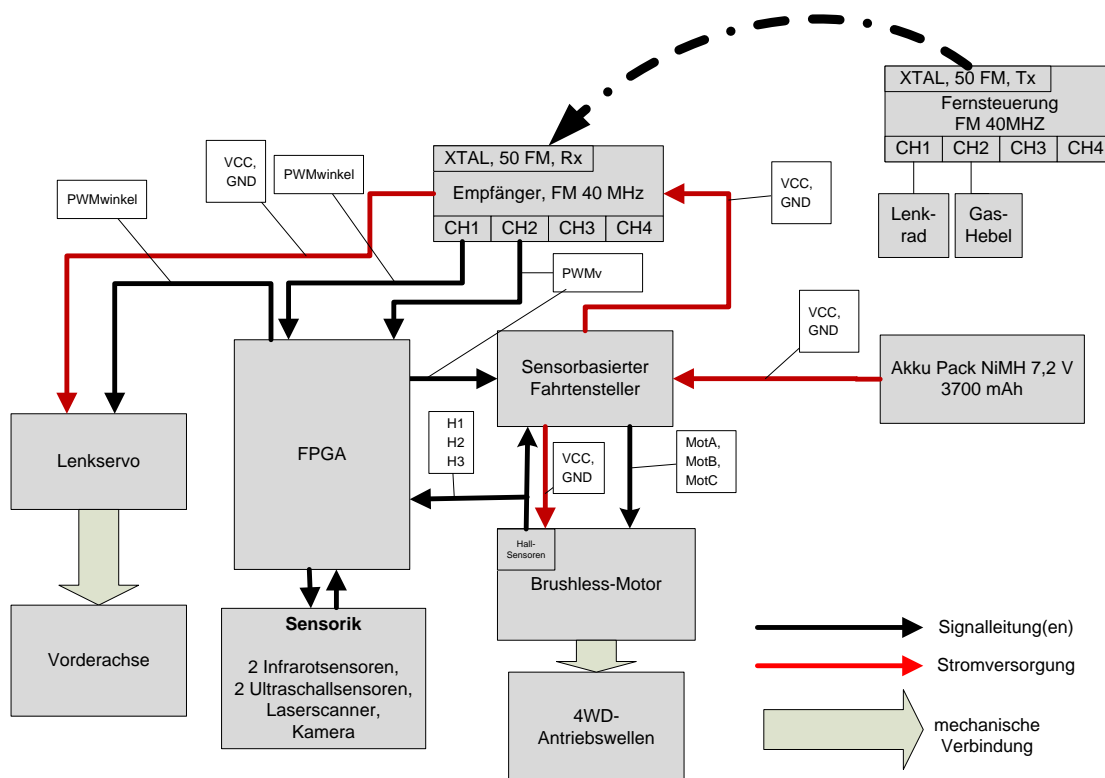


Abb. 3: Aufbau und Wirkungsweise der Fahrzeugelektronik und -mechanik

Der Aufbau der vorhandenen Fahrzeugmechanik und -elektronik ist in Abb. 3 dargestellt.

Die Kennwerte der Hardware Peripherie sind wie folgt:

Manuelle Steuerung

- **Fernsteuerung:** Acoms Hayabusa, 4-Kanal-FM-Sender 40 MHz, Kanal 50 bis 53.
- **Empfänger:** Acoms FR-4, 4-Kanal-FM-Empfänger 40 MHz, Kanal 50 bis 53.

Sensorik

- **Infrarotsensoren:** Entfernungssensor GP2D12, Messbereich von 8 cm bis 80 cm, sie erfassen punktuell Entfernungen. Die Entfernungen werden über die SPI-Schnittstelle[18] empfangen.
- **Ultraschallsensoren:** Ultraschall Entfernungsmesser SRF 10, Reichweite von 4 cm bis 6 m, sie erfassen die Umgebung über einer Kegelförmigen Ausbreitungswelle des Schalls
- **Kamera:** Sony PV10 VGA
- **Laserscanner:** HOKUYO URG-04LX, Scannbereich von 240 Grad

Lenkwinkelansteuerung

- **Servo:** Acoms AS-17, stellt über eine PWM einen Lenkwinkel ein

Geschwindigkeitsansteuerung

- **Fahrtensteller:** A.I. Brushless Reverse digital, stellt die Drehzahl am Motor ein und sorgt für die Spannungsverteilung. Zusätzlich wird der Fahrtensteller während der Fahrt automatisch kalibriert (A.I.), so wird der Geschwindigkeitspunkt getroffen[6]
- **Motor:** LRP Crawler Brushless 21,5 Turns , ist ein Sensorgesteuerter Bürstenloser Motor[7], der ohne Kontaktflächen den Motor antreibt. Über die Hallsensoren wird die Position des Rotors erfasst. Über die Rückführung können die Phasen je nach Lage des Rotors passend geschaltet werden um das volle Drehmoment zu bekommen.
- **Fahrwerk:** Die Funktionsweise [5] eines 4WD Allradantriebes ist, dass über Differentiale/Übersetzungen Drehzahlausgleich zwischen allen Rädern erfolgt. Ein Längsdifferential verteilt die Drehzahlen längs auf die Vorder- und Hinterachse und ein Achsdifferential verteilt die Drehzahl quer auf die Räder einer Achse. So wird sichergestellt, dass kein Rad durchdreht und das Fahrzeug nicht über- oder untersteuert. Alle Räder haben so unterschiedliche Drehzahlen und die Drehzahl ist nur bei Geradeausfahrt die des Motors. Laut Dokumentation[33] hat der TT-01 1/10 Enzo Ferrari nur 2 Achsdifferentiale, eine Angabe zu einem Längsdifferential und einer Differentialsperre fehlt.
- Zwei **Achsdifferentiale**[5] an Vorder- und Hinterachse, sie gleichen die Drehzahlen an den Rädern einer Achse aus. In einer Kurvenfahrt fahren die Räder unterschiedliche Radien und legen so einen unterschiedlich langen Weg zurück, die Differentiale gleichen das aus. Eine zentrale Kardanwelle überträgt die Drehzahl gleichmäßig auf die Differentiale. Während einer Geradeausfahrt ist das Verteilungsverhältnis des Drehmoments[4] 50:50, die Summe der Verhältnisse ist das Doppelte der Drehzahl an der Kardanwelle. Bleibt ein Rad stehen und das Fahrzeug besitzt keine Differentialsperre, so wird die Drehzahl des anderen Rades Doppelt so hoch übersetzt.

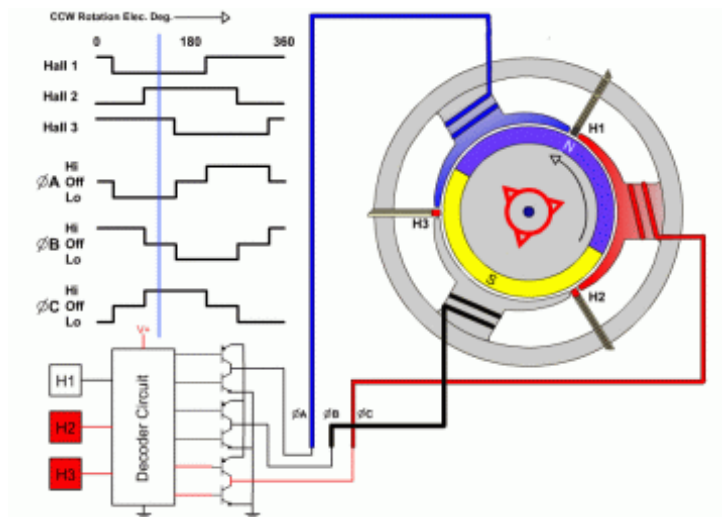


Abb. 4: Funktionsweise eines 2-Poligen 3-Phasen DC Brushless-Motors[30]

Die Funktionsweise eines DC Brushless Motors (Abb. 4) ist, dass je nach Lage des Dauermagneten Phasen geschaltet werden. Je nach Drehrichtung des Motors bewirken sie eine Abstoßung oder Anziehung zu dem Dauermagneten. Die dargestellte Vorschaltung sorgt für die zeitliche Schaltung und die Umpolung der Phasen, so dass lokal eine Wechselspannung erzeugt wird. Die dort angebrachten Hallensensoren erfassen den Magnetfluss und können so die Position der Dauermagneten erfassen und beim Beschleunigen aus dem Stillstand, das volle Drehmoment abrufen.

2.2 Autonomes Steuerungssystem

Das Fahrerassistenzsystem wird auf einer System on Chip Plattform implementiert. Es können sowohl Software wie auch Hardwarelogik genutzt werden. Anschlüsse des Boards werden zur Kommunikation mit der Aktorik und Sensorik verwendet.

Nexys2-Board

Das Nexys2-Board von Digilent besteht aus dem FPGA Spartan3e der Firma Xilinx und On-Board Peripherie.

Technische Daten des Nexys2 Boards sind:

- Clock 50 MHz
- 1200 K Gates
- 2168 CLBs
- Flash 16 MByte
- SDRAM 16 MByte
- RS232 Port, bidirektional
- 10 Signal VGA Port, mit 8 Bit Farben
- 4 Taster
- 8 Schalter
- 4 mal 12 Pins für Pmods

Entwickelt wird das System mit dem Xilinx Embedded Development Kit (EDK) und dem Software Development Kit (SDK). Das EDK verwendet die IBM Core-Connect Busarchitektur (siehe. Abb. 5), an die eigene Komponenten hinzugefügt werden und darüber Daten austauschen. Natürlich können Komponenten auch interne und externe Signalleitungen verwenden, ohne den Bus zu nutzen. Das EDK bietet hier unter anderem an, die Signale von Komponenten grafisch zu verbinden und Konfigurationen von Komponenten vorzunehmen.

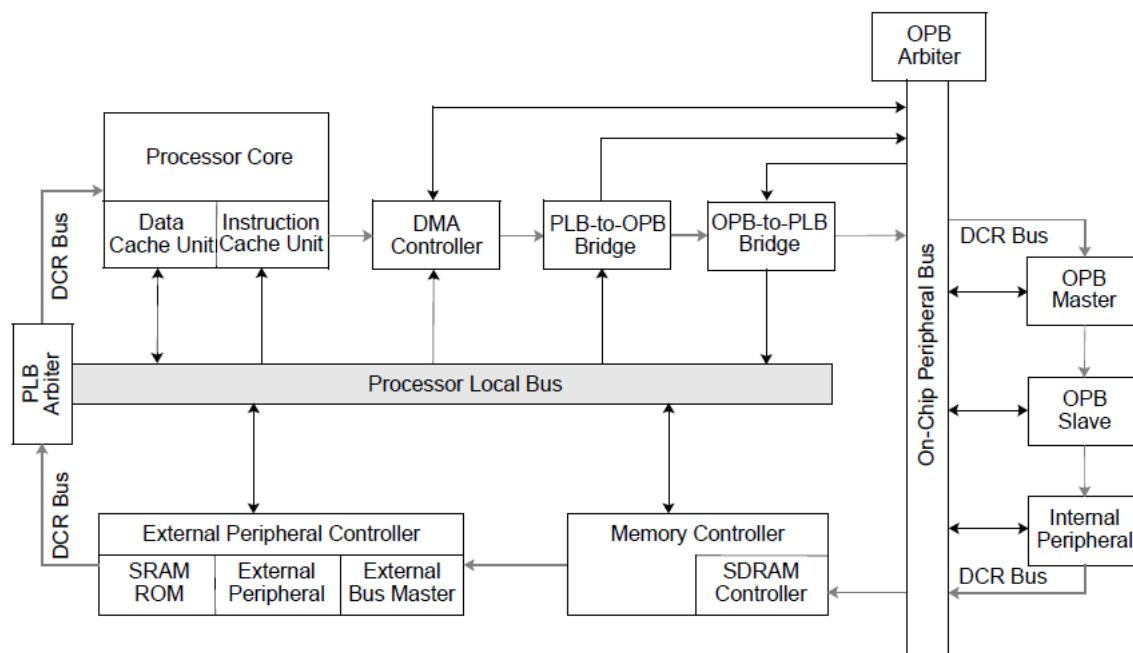


Abb. 5: IBM CoreConnect Bus-Architektur: [2]

An den Processor Local Bus (**PLB**) sind Peripherie und der MicroBlaze verbunden. Maximal können 16 Bus-Master und beliebig viele Bus-Slaves verwendet werden. Es unterstützt 16-, 32- und 64 Bit Transfers, die auf maximal 256 Bit erweiterbar sind.

Die langsamere Peripherie kann an den On Chip Peripheral Bus (**OPB**) angeschlossen werden. Über zwei Bridges wird die Kommunikation zwischen PLB und OPB hergestellt.

Eine direkte Verbindung mit dem Prozessor kann mit dem Fast System Link (**FSL**) realisiert werden. Co-Prozessoren nutzen ihn, um die ALU zu umgehen. Insgesamt sind 8 FSL-Master und 8 FSL-Slaves Interfaces erlaubt, die jeweils unidirektional sind. Sie tauschen Daten über eine FIFO aus, die eine Breite von 8,16 oder 32 Bit beträgt.

Eigene IP-Cores können somit über den FSL, OPB und FSL in das System eingebunden werden (vgl. IBM CoreConnect Manual[2]).

In der folgenden Abbildung 6 ist die Struktur eines IP-Cores näher dargestellt.

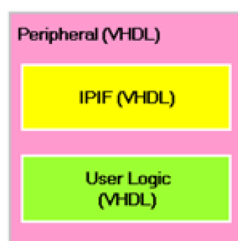


Abb. 6: Struktur eines Ip-Cores : [3]

Sie besteht aus der Top-Entity Peripheral.vhd, die den Namen der IP trägt. Instanziiert sind zwei Komponenten. Das ist zum einen die IP Bus-Interface IPIF.vhd, die eine Busschnittstelle implementiert, je nach dem was gewünscht ist wird ein PLB, FSL oder OPB Interface instanziiert.

In der User_logik.vhd kann der Anwender Hardwarebeschleuniger direkt über VHDL-Code oder Komponenten-Instanziierung erzeugen.

IP Cores des Fahrzeugsystems

Die vorhandenen und geplanten IP-Cores dieses Projektes sind wie folgt vorgesehen:

- Das Starten einer Disziplin, wie Einparken, Rundkurs und Rundkurs mit Hindernissen, wird während des Carolo Cups über Push Buttons erfolgen. Sie werden vom **Microblaze** ausgelesen.
- **IP Einparkassistent** beinhaltet den Steuerautomaten für das Einparken.
- Der Geschwindigkeitsregler **V-Regler_IP** ermittelt den gefahrenen Weg und die Ist-Geschwindigkeit. Er gibt an den Fahrtensteller die Soll-Geschwindigkeit über eine PI-Regelung in Form einer PWM weiter.
- **IP Lenkwinkelsteller** gibt den Soll-Lenkwinkel an den Lenkservo weiter.
- **IP LED-Ansteuerung** schaltet die LEDs an, aus oder blinkend ein.
- Der **IP HAW SPI-Master** wertet die Infrarotsensoren aus und liefert die exakten Abstände.
- Die **IP US-Sensorik** liefert die Ultraschallsensordaten.
- Der **NET 1 IP CORE** realisiert die Datenübertragung über WLAN, hauptsächlich zum Datenlogging während der Fahrt.
- Über die **UART-Schnittstelle** soll als Datenlogger dienen, solange das Fahrzeug steht.
- An den **Interrupt-Controller** können mehrere Interruptquellen angeschlossen werden auf die der MicroBlaze oder die IP-Cores reagieren können.
- **IP Fahrspurerkennung** erkennt die Fahrspurbegrenzung.

Im Anhang „Ergänzungen zur Plattform“ werden die vorhandenen IP-Cores als UML-Kompositionsdiagramm detailliert dargestellt und ein Detailplan des Aufbaus der Fahrzeugmechanik und -elektronik.

3 Kinematische Einspurfahrzeugmodell

Für die Lokalisierung des Fahrzeugs wird ein Mathematisches Fahrzeugmodell gebraucht, mit der von einem Anfangszustand die Änderungen (θ , x , y , s) erfasst werden. Das wird über kinematische Differentialgleichungen für ein Einspurfahrzeugmodell realisiert (siehe Kapitel 3.1).

Im Kapitel 3.2 werden Matlab-Modelle gezeigt, mit denen das Einspurfahrzeugmodell simuliert wird. In der folgenden Einleitung wird Basiswissen aus dem Bereich der Mobilen Robotik beschrieben. Sie ist die Grundlage des Einspurfahrzeugmodells und der Bahnplanung.

Das Fahrzeug kann sich nicht auf der Stelle drehen und benötigt dafür Zeit, deshalb kann eine Bahnplanung nicht nur die X/Y-Koordinaten als Grundlage verwenden, sondern muss immer den Achswinkel θ mit berücksichtigen. Weiterhin benötigt eine Bewegungsregelung Informationen über den momentanen Lenkwinkel α und die Geschwindigkeit v . Um das Mathematisch zu erfassen werden hier folgende Mengenbegriffe eingeführt:

- Der **Zustand** des Fahrzeugs $z = \{\theta, x_p, y_p, s, v, \alpha\}$, $z \in X$ beschreibt den Zustand des Fahrzeugs zu einem Zeitpunkt, mit der X/Y-Koordinate der Hinterachse x_p, y_p , Achswinkel θ , Lenkwinkel α , Geschwindigkeit v und dem zurückgelegtem Weg s . Als Zustand wird in der folgenden Arbeit verkürzt als $z = \{\theta, x_p, y_p, s\}$ definiert.
- **Arbeitsraum**[24] $W \in \mathbb{R}^2$: Die Ebene / Umgebung in der sich das Fahrzeug bewegen kann und Hindernisse den Fahrweg beeinflussen.
- **Konfigurationsraum**[24] C beinhaltet alle Konfigurationen des Fahrzeugs im Arbeitsraum mit dem Achswinkelintervall $[-180^\circ, +180^\circ]$.
- **kollisionsfreier Konfigurationsraum**[24] C_{free} : Konfigurationsraum des Fahrzeugs, in der keine Kollision statt findet.
- **Hindernis-Konfigurationsraum**[24] C_{obs} sind verbotene Konfigurationen des Fahrzeugs, die Kollisionen mit Hindernissen beinhalten. Verwendet wird der Raum C_{obs} zur Beschreibung von Eckpunkten eines Hinderniselements.
- Die **Konfiguration**[11] des Fahrzeugs $q = \{x_p, y_p, \theta\}$, $q \in C$ beschreibt die minimale und eindeutige Lokalisierung des Fahrzeugs in C_{free} und ein Hindernis in C_{obs} . Wobei x_p und y_p die Koordinaten der Hinterachse und θ der Achswinkel des Fahrzeugs ist. Die Hinterachse des Fahrzeugs ist nicht beweglich, deshalb ist der Lagewinkel der Hinterachse gleichzeitig der Achswinkel.
- **Zustandsraum**[34] X der Raum aller kollisionsfreien Konfigurationen des Fahrzeugs vereinigt mit dem Steuerungsaktionsraum und dem Raum des zurückgelegten Weges s in \mathbb{R} , zusätzlich werden die X/Y-Koordinaten der Vorderachse berechnet.
- Der **Steuerungsaktionsraum** U beinhaltet Geschwindigkeiten v im Intervall $[v_{min}, v_{max}]$ und Lenkwinkel α im Intervall $[-\alpha_{max}, \alpha_{max}]$.
- Mit **Steuerungsaktionen**[34] $u = \{v, \alpha\}$, $u \in U$ wird auf die Konfiguration des Fahrzeugs Einfluss genommen. Steuerungsaktionen sind Geschwindigkeit v und Lenkwinkel α .

In der folgenden Arbeit wird die Konfiguration q zur Beschreibung von Fahrzeugpositionen (C_{free}) und Hindernispositionen C_{obs} verwendet. Eine Pfadplanung muss das Fahrzeug aus einer Startkonfiguration q_{start} in eine Zielkonfiguration q_{ziel} überführen und dabei sicherstellen dass der Weg kollisionsfrei (C_{free}) ist.

Das Fahrzeug ist in der Bewegungsfreiheit eingeschränkt, es kann sich nicht drehen oder seitlich bewegen. Sie werden in der Literatur als nicht holonome Fahrzeuge bezeichnet.

- **Holonome Fahrzeuge** haben keine Einschränkung in der Bewegungsfreiheit. Ein Beispiel ist ein Hovercraft Fahrzeug[34] mit 3 Steuerungsparametern $\{v_x, v_y, v_\theta\}$ und 3 Konfigurationsparametern $\{x, y, \theta\}$. Es kann sich drehen, sowie seitwärts und vorwärts/rückwärts bewegen.
- **Nicht holonome Fahrzeuge** sind in der Bewegungsfreiheit eingeschränkt, wie das beschriebene Fahrzeug dieser Arbeit, mit den 2 Steuerungsgrößen $\{v, \alpha\}$ und den 3 Konfigurationsgrößen $\{x, y, \theta\}$.

3.1 Kinematische Einspurfahrzeugmodell für nicht holonome Fahrzeuge

Für die Bahnplanung ist es notwendig zu wissen, wo sich das Fahrzeug im Arbeitsraum befindet. Die Konfiguration q beinhaltet die minimale Anzahl von Zustandsgrößen, die eine eindeutige Lage des Fahrzeugs beschreiben. Das nicht-lineare kinematische Einspurfahrzeugmodell (siehe Abb. 7) beschreibt die Änderung der Konfiguration q . Das Einspurfahrzeugmodell basiert auf einem Fahrzeugmodell mit langsamer Lenkung[34]. Es ist eine vereinfachte Beschreibung der Fahrzeugkinematik, indem die Vorder- und Hinterräder auf einer Achse zu einem Punkt zusammen geschoben werden. Außerdem wird der Lenkwinkel der Vorderräder zusammengefasst. Es ist ein kinematisches Modell, das die Querkräfte außen vor lässt. Das ist die Grundlage, die das Planen von Fahrzeugbewegungen vereinfacht.

Das Kinematische Einspurfahrzeugmodell wurde in[31] und [25] für ein Frontantriebenes Fahrzeug entwickelt und wird für ein Allradantriebenes Fahrzeug angepasst.

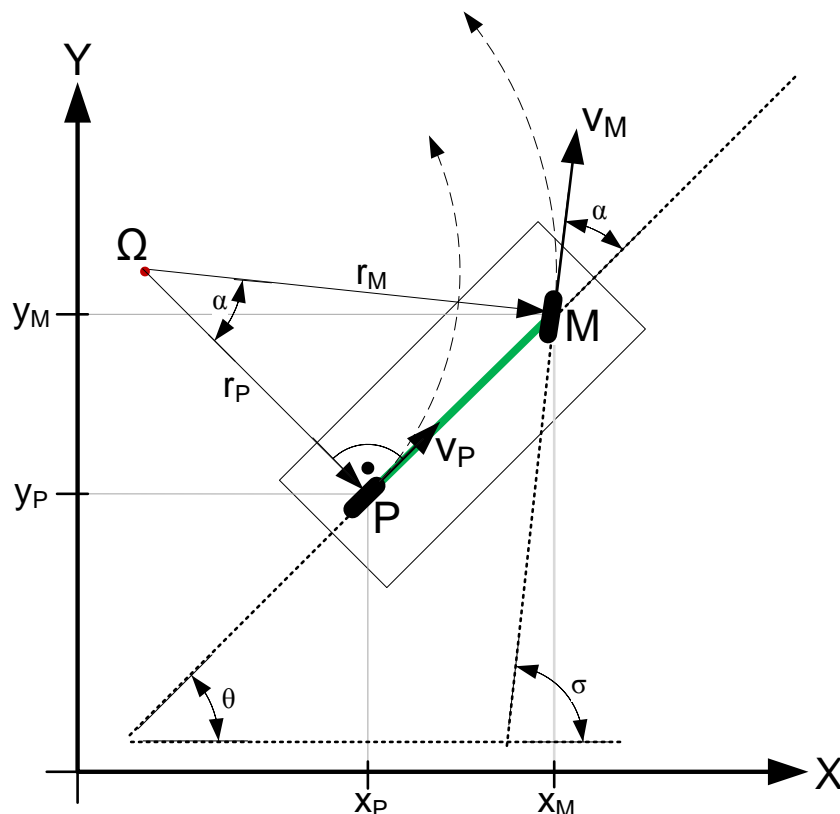


Abb. 7: Kinematische Einspurfahrzeugmodell mit zusammengeschobenen Vorder- und Hinterrädern

Das Fahrzeug hat vier Räder, sie werden auf der Achse zu einem Rad zusammengeschoben. Es

ist der Mittelpunkt zwischen zwei Rädern auf einer Achse. In der folgenden Tabelle sind die verwendeten Symbole des Modells erläutert.

Symbol	Definition
M	Mittelpunkt des zusammengeschobenen Vorderrades
P	Mittelpunkt des zusammengeschobenen Hinterrades
Ω	Mittelpunkt der Wenderadien r_M und r_P
r_M	Wenderadius des zusammengeschobenen Vorderrades
r_P	Wenderadius des zusammengeschobenen Hinterrades
v_M	Geschwindigkeit des Hinterrades
v_P	Geschwindigkeit des Vorderrades
α	Lenkwinkel der Vorderachse, $\alpha < 0$ ist definiert als Linksfahrt
θ	Achswinkel des Fahrzeugs
σ	Zielwinkel, $\theta - \alpha$
L	Radstand, Entfernung zwischen Vorder- zur Hinterachse

Tabelle 1: Größen des kinematischen Einspurfahrzeugmodells

Der Wenderadius ist der Radius, den ein Fahrzeug mit einem konstanten Lenkwinkel abfährt. Der Mittelpunkt der Wenderadien r_P und r_M ist identisch. Zu beachten ist, dass der Lenkwinkel α bei einer Linksfahrt negativ und bei einer Rechtsfahrt positiv definiert ist.

Differentialgleichungssystem des Fahrzeugmodells

Das in diesem Projekt verwendete kontinuierliche Differentialgleichungssystem wurde in [25] und [31] für ein Fahrzeug aufgestellt (vgl. Gl. 1), in dem die Vorderradgeschwindigkeit einfließt. Eine zeitdiskrete Form des DGS wurde in [31] aufgestellt und in [26] in VHDL implementiert.

$$\begin{pmatrix} \dot{\theta}(t) \\ \dot{x}_M(t) \\ \dot{y}_M(t) \\ \dot{x}_P(t) \\ \dot{y}_P(t) \end{pmatrix} = \begin{pmatrix} \frac{v_M(t) \cdot \sin[-\alpha(t)]}{L} \\ v_M(t) \cdot \cos[\theta(t) - \alpha(t)] \\ v_M(t) \cdot \sin[\theta(t) - \alpha(t)] \\ v_M(t) \cdot \cos[\alpha(t)] \cdot \cos[\theta(t)] \\ v_M(t) \cdot \cos[\alpha(t)] \cdot \sin[\theta(t)] \end{pmatrix} \quad (1)$$

In der Literatur[34] existieren zwei Schreibweisen des Fahrzeugmodells. Der Unterschied ist die eingehende Größe der Geschwindigkeit, entweder der Vorder- oder Hinterradgeschwindigkeit.

Umwandlung der Hinter- zur Vorderradgeschwindigkeit.

Die Geschwindigkeit wird kann bei einem 4WD-Fahrzeug nicht direkt aus der Drehzahl des Motors ermittelt werden, weil Differentiale die Drehzahl auf alle Räder unterschiedlich verteilen. Aus diesem Grund muss die Geschwindigkeit über einen Inkrementalgeber ermittelt werden. Das vorhandene DGS ist für ein Frontantriebenes Fahrzeug implementiert. Eine Umformung der Geschwindigkeit ist eine Alternative zur Implementierung . Die Winkelgeschwindigkeit ist der Winkel, der pro Sekunde abgefahren wird. Er ist bei unterschiedlichen Entfernungen/Radien zum Mittelpunkt des Kreises konstant (vgl. Gl. 2).

$$\omega(t) = \frac{v_M(t)}{r_M(t)} = \frac{v_P(t)}{r_P(t)} \quad (2)$$

Aus der Umformung (siehe Gl. 2) lässt sich nun die Vorderradgeschwindigkeit wie folgt angeben:

$$\begin{aligned} v_M(t) &= \frac{\omega(t) \cdot r_M(t)}{r_P(t)} \\ v_M(t) &= \frac{v_P(t) \cdot r_M(t)}{r_P(t)} \end{aligned}$$

Der Radstand L ist, dadurch ergibt sich die Beziehung von Hinterradradius zu Vorderradradius (siehe Abb. 7) über das Dreieck (vgl. Gl. 3) mit dem Lenkwinkel α .

$$\cos(\alpha(t)) = \frac{r_P(t)}{r_M(t)} \quad (3)$$

Über die Winkelgeschwindigkeit (vgl. Gl. 2) wird die Beziehung zwischen der Vorder- und Hinterradgeschwindigkeit zu den Radien aufgestellt:

$$\frac{r_P(t)}{r_M(t)} = \frac{v_P(t)}{v_M(t)}$$

Gleichung 4 in Gleichung 3 eingesetzt ergibt:

$$\frac{r_m(t)}{r_p(t)} = \frac{1}{\cos(\alpha(t))}$$

Umgeformt wird die Vorderradgeschwindigkeit über die Hinterradgeschwindigkeit und den Lenkwinkel angegeben:

$$v_M(t) = \frac{v_P(t)}{\cos(\alpha(t))}$$

Das Kinematischen Differentialgleichungen können in einander überführt werden. Zur Bahnplanung (vgl. Kapitel 4.2) wird nur die Konfiguration q verwendet, weil der Achswinkel orthogonal zum Kreismittelpunkt liegt (vgl. Abb. 7). Die Aufstellung des Differentialgleichungssystems 1. Ordnung mit der einfließenden Größe der Hinterradgeschwindigkeit:

$$\dot{q} = \begin{pmatrix} \dot{x}_P(t) \\ \dot{y}_P(t) \\ \dot{\theta}(t) \end{pmatrix} = \begin{pmatrix} v_P(t) \cdot \cos[\theta(t)] \\ v_P(t) \cdot \sin[\theta(t)] \\ \frac{1}{L} \cdot v_P(t) \cdot \tan(\alpha) \end{pmatrix} \quad (4)$$

Eine Implementierung des DGS für ein Frontantriebenes Fahrzeug (siehe Gl. 1) steht dem FAUST Projekt zur Verfügung. Zur Nutzung einer Geschwindigkeit ist es präziser die Hinterradgeschwindigkeit des Einspurfahrzeugmodells zu verwenden, weil die Hinterachse starr ist. Über einen Inkrementalgeber kann die Geschwindigkeit eines Seitenrades gemessen und die Winkelgeschwindigkeit berechnet werden.

Das Bahnplanungsverfahren Kreistechnik verwendet Bogenlängen mit der Kreise gefahren werden, aus dem zurückgelegten Weg (vgl. Gl. 5) kann das Fahrzeug einen an einem Kreiswinkel anhalten:

Zusammenfassend realisiert das Kinematische Einspurfahrzeugmodell die Lokalisierung des Fahrzeugs, es gibt auch Nachteile:

1. Fehler addieren sich über die Zeit auf

$$s_P \dot{(t)} = v_P(t) = \begin{cases} \frac{v_m(t) \cdot r_P(t)}{r_M(t)}, & \text{wenn } r_m(t) \neq 0 \\ v_m(t), & \text{wenn } r_m(t) \equiv 0 \end{cases} \quad (5)$$

Symbol	Definition	Wertebereich
x_P	X-Koordinate der Hinterachse	\mathfrak{R}
y_P	Y-Koordinate der Hinterachse	\mathfrak{R}
θ	Achswinkel	$(-\pi, +\pi]$
α	Ist-Lenkwinkel	$[-\alpha_{max}, \alpha_{max}]$
s	zurückgelegter Weg des Fahrzeugs	\mathfrak{R}
α_{soll}	Soll-Lenkwinkel	$[-\alpha_{max}, \alpha_{max}]$
v_m	mittlere Geschwindigkeit der Vorderräder	$[v_{min}, v_{max}]$

Tabelle 2: Symbolbeschreibungen und Wertebereich des DGS

2. vereinfachte Einspurmodell, keine 100%-ige Genauigkeit
3. Querkräfte und Schlupf werden nicht behandelt
4. Verschleiß der Räder und mechanische Bauteile, die einen Einfluss auf die Fahreigenschaften des Autos haben werden nicht berücksichtigt

3.2 Simulationsumgebung in Matlab

Das Differentialgleichungssystem (siehe Gl. 4) ist nichtlinear und kann analytisch nicht eindeutig gelöst werden. Matlab bietet ein Numerisches Verfahren an, das diese Differentialgleichungen löst. Es ist eines der populärsten Mathematik-Programmen und besitzt eine eigene Skriptsprache, die Objektorientierte Techniken unterstützt. Zusätzlich sind viele Bibliothek-Funktionen vorhanden, unter anderen numerische Lösungsverfahren von Anfangswertproblemen. Ein Anfangswertproblem besteht aus einer Differentialgleichung die mit einem gegebenen Anfangswert gelöst werden soll. Das kann in der Regel nur mit einem Numerischen Verfahren angenähert werden.

Matlab bietet mit ODE45 ein Verfahren an, mit dem ein gewöhnliches Differentialgleichungssystem 1. Ordnung gelöst werden kann. ODE45 nutzt das Runge-Kutta-Verfahren 4. Ordnung, das die Euler-Methode und die Trapezintegration verwendet, indem zu jedem Abtastschritt diskrete Zwischenschritte bzw. Stützpunkte berechnet werden. Zusätzlich wird zu jedem Rechenschritt der Fehler angenähert. Um Rechenzeit zu sparen, versucht ODE die Abtastschritte groß zu wählen, die Schrittweite wird automatisch verringert, wenn der Fehler zu groß wird.

Es gibt in Matlab die Bibliotheks-Funktion ode45, sie erwartet als Parameter das DGS in Form einer Funktion mit Rückgabevektor die Lösung der Differentialgleichung zu einem Rechenschritt. Übergabeparameter sind: die Zeitpunkte zu denen ode45 ein Ergebnis berechnen soll, den Anfangswertvektor der Differentialgleichung, Simulationsoptionen und optionale Parameter für die DGS-Lösungsfunktion. Ode45 ruft die DGS-Funktion in jedem Rechenschritt auf um das Integral zu bilden.

Starten der Simulation mit ODE45:

```
[t, fhzg_state] = ode45(@fhzg_modell_fcn, tspan, fhzg_init, options, optVars);
```

Die Parameter folgend detailliert aufgeführt:

- **t**: Rückgabevektor der erfolgreiche berechneten Zeitpunkten
- **fhzg_state**: Die berechneten Integrale zu den Zeitpunkten t, Matrixdimension: length(t) X length(fhzg_init)
- **fhzg_modell_fcn**: Pointer auf die Funktion in der das DGS berechnet wird
- **tspan**: Zeitspanne als Spaltenvektor
- **fhzg_init**: Die Anfangswerte des zu lösenden Integrals
- **options**: Einstellungen für die Simulation
- **optVars**: optionale Parameterliste, die der Fahrzeugmodell-Funktion übergeben wird

Die DGS-Funktion berechnet die Differenzen zu einem Rechenschritt, der Rückgabevektor ist die berechnete Differenz.

Die Funktion zur Lösung des des DGS ist folgend als Codeausschnitt aufgeführt. Das DGS hat zusätzlich die Vorderradposition (xm, ym) und den Lenkwinkel α , der über ein Verzögerungsglied 1. Ordnung im Rahmen des FAUST Projektes erstellt wurde.

```

1 function fhzg_modell_dot = fhzg_modell(t, fhzg_state, L)
2
3 global vm alpha_soll           % globale Variablen
4 fhzg_modell_dot = zeros(7, 1); % Vektor mit Nullen füllen
5
6 theta = fhzg_state(1,1);
7 alpha_ist = fhzg_state(6,1);
8 t_max = 0.29475;               % Median der Messwertreihe [s]
9 tau = t_max / 5;               % PTI-Glied
10
11 % Umrechnung Vorderradgeschwindigkeit nach Hinterradgeschwindigkeit
12 if(alpha_ist == 0)
13     vp = vm;
14 else
15     rm = L / sin(alpha_ist);
16     rp = L / tan(alpha_ist);
17     omega = vm / rm;
18     vp = rp * omega;
19 end
20
21 %%%%% Differentialgleichungssystem 1. Ordnung %%%%%
22 % 1. Achswinkel theta
23 fhzg_modell_dot(1,1) = 1/L*vm*sin(-alpha_ist);
24 % 2. Vorderrad xm
25 fhzg_modell_dot(2,1) = vm*cos(theta - alpha_ist);
26 % 3. Vorderrad ym
27 fhzg_modell_dot(3,1) = vm*sin(theta - alpha_ist);
28 % 4. Hinterrad xp
29 fhzg_modell_dot(4,1) = vm*cos(alpha_ist)*cos(theta);
30 % 5. Hinterrad yp
31 fhzg_modell_dot(5,1) = vm*cos(alpha_ist)*sin(theta);
32 % 6. Ist-Lenkwinkel alpha_ist
33 fhzg_modell_dot(6,1) = (alpha_soll - alpha_ist) / tau;
34 % 7. zurückgelegter Weg vom Hinterrad s_ist
35 fhzg_modell_dot(7,1) = abs(vp);
36
37 end

```

Der Rückgabevektor fhzg_modell_dot wird mit Nullen initialisiert und die Differentialgleichungen $f^\circ(x,t)$ werden berechnet. Die Variablen hier noch mal detailliert beschrieben:

- **t_ist**: Skalar von dem aktuellen Zeitpunkt
- **fhzg_state_last**: Spaltenvektor mit den letzten N-Ergebnissen
- **fhzg_modell_dot**: ist die Differenz zum letzten Rechenschrittergebnis und der Rückgabvektor der Funktion

ODE45 bietet eine Anpassung der Simulation über ODE-Options an. Mit denen kann auf die Simulation Einfluss genommen werden, wie z.B. Fehlertoleranz.

Hier nur eine Teilmenge von **ODE45 Optionen**, die für diese Simulation notwendig sind.

- **RelTol**: relative Fehlertoleranz zum vorhergehenden Zwischenwert
- **AbsTol**: absolute Fehlertoleranz
- **OutputFcn**: eine Funktion als Pointer übergeben, der nach jedem aktualisierten Integrationsschritt aufgerufen wird. Als Übergabeparameter enthält sie den Lösungsvektor und die Zeitpunkte tspan der Zwischenwerte. Aufgerufen wird sie jeden Integrationsschritt, der mit maxStep begrenzt werden muss
- **OutputSel**: definiert die Vektorgrenzen des Lösungsvektor, der als Parameter der OutputFcn übergeben wird
- **Events**: Funktionspointer, eine Funktion die Bedingungen beinhaltet und Bedingung aufzeichnet oder die Simulation abbricht
- **MaxStep**: maximale Integrationsschrittweite

Wenn keine Optionen verwendet werden, so muss eine leere Menge `{}` als Parameter übergeben werden. Mit den Optionen kann die Simulation verbessert werden und sollte deshalb genutzt werden. Über die OutputFcn können weitere Funktionen eingebunden werden, wie z. B. die zeitdiskrete Trapezintegration[31].

Kontrollstrukturen:

Bedingungen können nicht direkt in der DGS-Funktion (siehe Code Fahrzeugmodell) eingebunden werden. Da sie nicht sequentiell aufgerufen werden, die Simulationszeitpunkte können somit wiederholt werden. Die Funktion wird in einer Schrittweite mehrfach aufgerufen, im worst case wird die alte Berechnung aufgrund eines Fehlers verworfen und wird nochmal ausgeführt. Oder die Schrittweite ist zu groß und die Bedingung wird niemals eintreten.

Aus diesen Gründen können Kontrollstrukturen nicht direkt in der DGS implementiert werden. Aber es gibt in Matlab dafür 2 Varianten zeitliche Bedingungen einzubinden.

1. **OutputFcn**: Eine Funktion die nach jedem Integrationsschritt aufgerufen wird und Kontrollstrukturen enthalten kann
2. **Events**: Bei einer Bedingung die Simulation abbrechen, Werte neu setzen und die Simulation mit neuen Werten initialisieren und starten

OutputFcn wird nach jedem Integrationsschritt ausgeführt. Als globale Variablen werden in der OutputFunction der Lenkwinkel α gesetzt. Das Fahrzeug hat nur alle 20 ms Zeit einen neuen Lenkwinkel einzustellen, aus diesem Grund ist eine Simulation der Virtuellen Deichsel näher an der Realität. Außerdem ist das Debuggen der Simulation schwierig, weil ODE bei Fehlern in der Zeit zurückspringen kann. Deshalb ist das zeichnen von Kurven und die Ausgabe von Debugdaten zur Fehlersuche wichtig. Um eine Kurve zu plotten werden mindestens 3 Zwischenwerte gebraucht. Dazu werden in einem Schieberegister die letzten 10 Zustandswerte

gespeichert und nach dem 10. Aufruf mit plot() gezeichnet. Um das Zeichnen zu verlangsamen wird mit pause(0.1) ein Delay von 0,1 Sekunden eingebracht.

```

1 function status = outputFunction_dchsl(t,fhzg_state ,flag , Ziel , verst ,
    max_winkel , gui)
2
3 global vm alpha_soll % globale Variablen
4 persistent xp_srg yp_srg xm_srg ym_srg count; % Statische Variablen
5
6 if strcmp(flag , 'init') == 1
7     % Initialisierung von Datenstrukturen
8     % Initialisierung der Datenstrukturen
9     xp_srg = zeros(1,10);
10    yp_srg = zeros(1,10);
11    xm_srg = zeros(1,10);
12    ym_srg = zeros(1,10);
13
14    count = 0;
15    pause on; % Pause-Funktionalität aktivieren
16    elseif isempty(flag) == 1 % ==> Integrations Schritte
17
18        theta = fhzg_state(1,length(fhzg_state(1,:)));
19        xm = fhzg_state(2,length(fhzg_state(1,:)));
20        ym = fhzg_state(3,length(fhzg_state(1,:)));
21        xp = fhzg_state(4,length(fhzg_state(1,:)));
22        yp = fhzg_state(5,length(fhzg_state(1,:)));
23        alpha_ist = fhzg_state(6,length(fhzg_state(1,:)));
24        s_ist = fhzg_state(7,length(fhzg_state(1,:)));
25
26        ydl = yp - Ziel.y;
27        xdl = xp - Ziel.x;
28
29        if(xdl > 0 || xdl < 0) % Division durch Null
30            sigma = atan(ydl*verst/xdl);
31        else
32            sigma = 0;
33        end
34
35        alpha_soll = sigma - theta;
36
37        if(vm > 0)
38            alpha_soll = -alpha_soll ; % Vorwärtsfahrt
39        else
40            alpha_soll = alpha_soll; % Rückwärtsfahrt
41        end
42
43        if(alpha_soll > pi) % Überlauf-Wraparound
44            alpha_soll = alpha_soll - 2 * pi;
45        elseif(alpha_soll < -pi)
46            alpha_soll = alpha_soll + 2 * pi;
47        end;
48
49        if(alpha_soll > max_winkel) % Lenkwinkel normieren
50            alpha_soll = max_winkel;
51        elseif(alpha_soll < -max_winkel)
52            alpha_soll = -max_winkel;
53        end;
54
55        xp_srg = [xp_srg(1,2:10) xp];
56        yp_srg = [yp_srg(1,2:10) yp];

```

```

57     xm_srg = [xm_srg(1,2:10) xm];
58     ym_srg = [ym_srg(1,2:10) ym];
59
60     if(count == 9)                % Plotten
61         count = 0;
62         plot([xp_srg(1,:)],[yp_srg(1,:)],'r'); hold on;
63         plot([xm_srg(1,:)],[ym_srg(1,:)],'b'); hold on;
64         setGuiText(vn, s_ist, xp, yp, theta, alpha_soll, alpha_ist,
65                 gui); hold on;
66         pause(0.01);
67     else
68         count = count + 1;
69     end;
70
71     elseif strcmp(flag, 'done') == 1
72         if(xp_srg(1,1) ~= 0)      % nur plotten wenn das (Rechts)
73             Schieberegister auch komplett gefüllt ist
74             plot([xp_srg(1,:)],[yp_srg(1,:)],'r');hold on;      %
75                 Hinterachse
76             plot([xm_srg(1,:)],[ym_srg(1,:)],'b'); hold on;      %
77                 Vorderachse
78             pause(0.01);
79         end;
80     end
81
82     status = 0; %1 == Stop Simulation, 0 == Continue Simulation
83 end

```

Die Berechnung des Lenkwinkels ist im Kapitel erläutert. Die Outputfunktion dient in den Matlab-Modellen zum grafischen Debuggen von Konfigurationsgrößen, es werden nach 10 erfolgreichen Integrationsschritten die letzten Positionsdaten in Form einer Kurve gezeichnet und Debugdaten in eine GUI geschrieben.

Flag hat die Werte: init (nach der Initialisierung), leer [] (während der Simulationsphase) und done (wenn Simulation beendet wurde).

Y und t sind die bisherigen Lösungen.

Events

Aufgrund der Gleitkommaarithmetik nicht immer erreicht werden kann. Deshalb werden Events in Form von Nullstellen aufgestellt.

Der Benutzer hat die Wahl zwischen einer Aufzeichnung von Events und dem Abbruch der Simulation. Aufgezeichnete Events können nur im nach hinein ausgewertet werden. Der Abbruch der Simulation bewirkt, dass eine Aktion ausgeführt werden kann. Die Simulation kann hinterher mit den letzten Simulationszuständen neu gestartet werden.

Events werden über den Wert value ausgelöst. Sie sind Bedingungen, die bei einem Nullübergang ein Event auslösen. Folgend eine exemplarische Event gesteuerte Funktion event_dchsl.m:

```

1 function [value, isterminal, direction] = Event_dchsl( t, fhzg_state,
2     next_position)
3 xp = fhzg_state(4,1);
4 yp = fhzg_state(5,1);
5
6 value(1) = next_position.x - xp;

```

```

7 isterminal(1) = 1;
8 direction(1) = 0;
9
10 value(2)      = next_position.y - yp;
11 isterminal(2) = 1;
12 direction(2) = 0;
13
14 end

```

Es können mehrere Bedingungen aufgeführt werden, die Variablen sind Vektoren und müssen bei mehreren Bedingungen mit einem Index versehen werden.

- **value:** die Bedingung muss als Nullstelle aufgestellt werden
- **isterminal:** Simulationsanweisung, bestimmt ob Simulation abgebrochen wird
0 = Simulation fortführen, 1 = Abbruch der Simulation
- **direction:** die Richtung in der die Nullstelle durchlaufen wurde
-1 = vom Positivem ins Negative, 0 = jede Richtung, 1 = vom Negativen ins Positive

Mit den Event gesteuerten Funktionen kommen zusätzliche Rückgabeparameter des Funktionsaufrufes des ODE45 Solvers hinzu.

```
[t, fhzg_state, te, ye, ie] = ode45(@fhzg_modell_fcn, tspan, fhzg_init, options, optVars)
```

- **te:** Zeitpunkt zu dem sich das Event ereignete
- **ye:** Lösungen zu dem Zeitpunkt te
- **ie:** Index des Bedingungsvektors, die ein Event auslöste

Folgend ein Code-Ausschnitt der Testbench einparkassistent.tb der Einparkphase Spurführung. Bekannt ist die Startkonfiguration (x, y, θ). Die Funktion Spurführung berechnet die nächste Zielposition und den Verstärkungsfaktor. Die Simulation wird mit ode45 gestartet, nach Beendigung sind die Rückgabevektoren: [t fhzg_state te ye ie] mit Ergebnissen gefüllt.

```

1 % Berechnung der nächsten Koordinate und des
2 [Ziel verst] = phase_Spurfuehrung(Start, fahrspurmitte);
   Verstärkungsfaktor
3
4 vm = 0.1; % Vorwärts fahren
5 next_position.x = Ziel.x; % Event setzen
6 next_position.y = -1; % Event ausschalten
7 next_position.weg = -1;
8 t_max = -1;
9
10 if(t_new == 0) % erste Simulation, Zeitvektor mit
   Null beginnen
11 tspan = [0: dt: maxSteps*dt];
12 fhzg_init = [Start.theta; Start.x+L*cos(Start.theta); Start.y+L*sin(
   Start.theta); Start.x; Start.y; 0; 0]; % [theta, xm, ym, xp
   , yp, alpha_ist, s]
13 else
14 tspan = [te(length(te)): dt: maxSteps*dt]; % die neue
   Simulation mit den Daten der letzten Simulation initialisieren
15 last_index = length(fhgz_state(:, 1));
16 fhzg_init = [fhzg_state(last_index, 1); fhzg_state(last_index, 2);
   fhzg_state(last_index, 3); fhzg_state(last_index, 4); fhzg_state(
   last_index, 5); fhzg_state(last_index, 6); fhzg_state(last_index, 7)

```



```

];          % Startzustandsvektor [theta , xm, ym, xp, yp,
alpha_ist , s]
17 end
18 options = odeset ('OutputFcn',@(t, fhzg_state , flag) outputFunction_dchsl
(t, fhzg_state , flag , Ziel , verst , max_winkel , gui), 'MaxStep', dt , '
Events' , @(t, fhzg_state) Event_dchsl( t, fhzg_state , t_max ,
next_position), 'Refine', 1) ;
19 [t fhzg_state te ye ie] = ode45(@(t, fhzg_state) fhzg_modell(t,
fhzg_state , L), tspan , fhzg_init , options);
20
21 theta = fhzg_state (length( fhzg_state (:,1)) ,1);
22 xp = fhzg_state (length( fhzg_state (:,4)) ,4);
23 yp = fhzg_state (length( fhzg_state (:,5)) ,5);
24 alpha_ist = fhzg_state (length( fhzg_state (:,6)) ,6);
25 s_ist = fhzg_state (length( fhzg_state (:,7)) ,7);

```

Das Skriptfile berechnet mit der Funktion „phase_Spurfuehrung“ die Zielkoordinate und den Verstärkungsfaktor (vgl. Kapitel 4.3). Wenn die X-Koordinate des Ziels erreicht ist, dann wird die Simulation beendet (Zeile 4). In Zeile 11 und 15 wird der Anfangswertvektor mit dem Anfangs-Fahrzeugzustand initialisiert. Simulationsoptionen werden in Zeile 17 gesetzt. Das Starten der Simulation wird in Zeile 18 durchgeführt. Nach Beendigung der Simulation können über den Rückgabevektor *fhzg_state* zu allen Integrationsschritten der Fahrzeugzustand ausgelesen werden. Das letzte Element (`length(fhzg_state)`) ist der Zustand des letzten erfolgreichen Integrationsschritts.

In Matlab gibt es Funktionen, die als Parameter einen Pointer auf eine Funktion verlangen (vgl. Zeile 17-18). Die Rückgabevektoren und Übergabevektoren müssen stimmen. Weitere Argumente müssten so über globale Variablen realisiert werden. Eine Methode zusätzliche Parameter zu übergeben ist es einen Pointer auf eine Anonyme Funktionen zu übergeben. Die als einzigste Aktion eine eigene Funktion aufruft, die eine längere Übergabe-Parameterliste und die gleichen Rückgabevektoren enthält. Das wird in der Matlab Dokumentation empfohlen und erhöht die Lokalität von Daten.

```

1 return_Wert = (Übergabe_Parameter) Ausdruck %Anonyme Funktion
2 pointer = @(Übergabe_Parameter) Ausdruck %Pointer auf Anonyme
Funktion
3
4 odesolver = @old_odesolver
old_odesolver %Pointer auf eine Funktion mit dem Namen
5 odesolver = @(t, y) new_odesolver(t, y, var1, .., varN) %Odelöser mit
mehreren Übergabeparameter var1,..varN

```

Die Numerische Lösung eines Differentialgleichungssystems kann präzise erfolgen. Das kann über die Simulationsoptionen absolute *absTol* und relative Fehlertoleranz *relTol* eingestellt werden. Die relative Fehlertoleranz ist auf den Standardwert 0,1% gesetzt.

4 Grundlagen der Bahnplanung

Dieses Kapitel behandelt grundlegende Verfahren die Pfade planen und das Fahrzeug entlang des optimalen Soll-Pfades regeln. Im Abschnitt 4.1 werden Bahnplanungsverfahren aus der Forschung analysiert. Sie dienen zur Übersicht zu Bahnplanungsverfahren die in der Forschung verwendet werden. Die weiteren Abschnitten Bahnplanungsverfahren Kreis-Technik (siehe 4.2) und das Bewegungs- und Bahnplanungsverfahren die Virtuelle Deichsel (siehe 4.3) behandeln die Verfahren, die zum Einparken Verwendung finden (siehe Kapitel 5).

4.1 Überblick Stand der Forschung

Das Thema Bahnplanung gehört zu dem Themengebiet „Mobile Robotik“. Es gibt zur Zeit kein Verfahren, das als Lösung für alle Fahrsituation verwendet wird. Vielmehr ist es ein offenes Themengebiet, auf dem zur Zeit stark geforscht wird. Die Verfahren gehen von Lösungen zur Bahnerzeugung von Kreisbahnen in der Ebene, bis hin zu Graphen die im mehrdimensionalen Raum Wege suchen. Im folgenden Abschnitten werden ausgesuchte Verfahren gezeigt:

Dubins Kurven

Folgender Abschnitt wird sinngemäß aus [24, LaValle 2006] zitiert. L. E. Dubins [14] hat 1957 eine Grundlage geschaffen, mit der der kürzeste Weg für Fahrzeuge beschrieben wird. Es ist kein Algorithmus, sondern eine Beschreibungssprache für Kreisfahrten von Fahrzeugen, die das Lenkverhalten vorgeben. Es gibt einige Einschränkungen / Besonderheiten die zur Vereinfachung dienen:

- das Fahrzeug kann nur vorwärts fahren
- der Lenkwinkel wird ohne Verzögerung umgestellt
- es gibt nur 3 Bewegungsrichtungen: Vorwärts, Links und Rechts
- der Lenkwinkel ist entweder 0 Grad (Geradeaus), minimaler (Linksfahrt) oder maximaler Lenkwinkel (Rechtsfahrt)
- die Geschwindigkeit des Fahrzeuges ist konstant
- der Bewegungsraum des Fahrzeuges ist kollisionsfrei

Der kürzeste Pfad besteht aus 3 Segmenten (vgl. Abb. 8), sie bestehen aus Kreisfahrten C und aus Graden S.

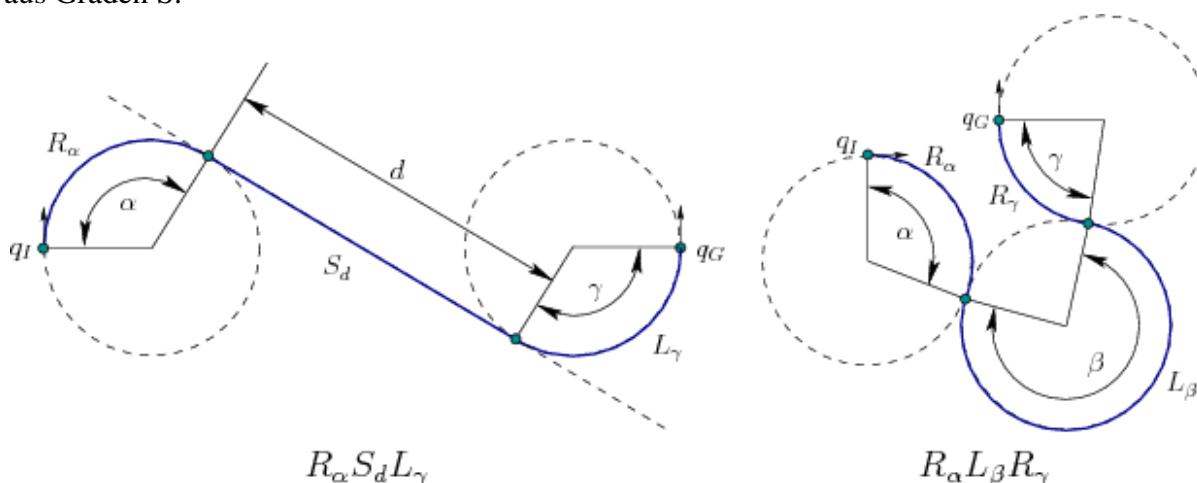


Abb. 8: In der linken Abbildung ein CSC-Pfad, bestehend aus einer Rechtskurve, Gerade und einer Rechtskurve. Und Rechts eine CCC-Pfad, aus Rechts-, Links- und Rechtskurve [24, LaValle 2006]

Der minimale Weg wird mit einer Folge von drei Lenkkommandos beschrieben. Lenkkommandos sind: L = Linksfahrt, S = Geradeausfahrt, R = Rechtsfahrt. Bei 3 Variablen mit der Länge 3 ergeben sich 27 Kommandoworte, um einen minimalen Weg zu beschreiben. Jedoch nur 6 Kommandos sind dafür ausreichend, da z.B. ein Wort LLL keinen Sinn machen würde.

$$\{LRL, RLR, LSL, LSR, RSL, RSR\} \quad (6)$$

Mit Angabe des zu fahrenden Winkels α, β, γ und Strecke d :

$$\{L\alpha R\beta L\gamma, R\alpha L\beta R\gamma, L\alpha S_d L\gamma, L\alpha S_d R\gamma, R\alpha S_d L\gamma, R\alpha S_d R\gamma\} \quad (7)$$

Außerdem wurde in [14] eine Einschränkung des Winkels α, β, γ und Strecke s bewiesen, so wird die Suche des kürzesten Pfad auf einen Wertebereich eingeschränkt:

$$\alpha, \gamma \in [0, 2\pi), \beta \in (\pi, 2\pi), d \geq 0 \quad (8)$$

Eine Vereinfachung ist die Ersetzung der Kommandos für Links- und Rechtsfahrt, mit einem Kommando C, für Kreisfahrt. Das erleichtert die Sicht und macht die Beschreibung abstrakter.

$$\{C\alpha S_d C\gamma, C\alpha C\beta C\gamma\} \quad (9)$$

Der wesentliche Vorteil gegenüber anderen Techniken wie Splines ist, dass die Kreisbahnen immer eine maximale Krümmung besitzen (vgl. Gl. 11). Das kann mit Splines nur Abschnittsweise erreicht werden. Damit kann mit der Weg-Bogenlängen-Technik der kürzeste Weg beschrieben werden und ist die Grundlage vieler Forschungsarbeiten. Ein wesentlicher Nachteil ist, dass Dubins-Kurven nur für Vorwärts fahrende Fahrzeuge den kürzesten Weg ermitteln.

Reeds and Shepps Kurven

1990 haben J. A. Reeds und L. A. Shepp[29] eine Erweiterung der Dubins Kurven mit der Rückwärtsfahrt veröffentlicht. Damit kann der kürzeste Weg eines Fahrzeugs beschrieben werden, das Vorwärts und Rückwärts fahren kann. Allerdings nur für den kürzesten Weg in einem kollisionsfreien Raum und mit der erneuten Einschränkung, dass der Lenkwinkel ohne Verzögerung umgestellt werden kann.

Die Notation der Lenkkommandos sind:

L^+ = Vorwärts- und Linksfahrt, L^- = Rückwärts- und Linksfahrt,

S^+ = Vorwärtsfahrt, S^- = Rückwärtsfahrt,

R^+ = Vorwärts- und Rechtsfahrt, R^- = Rückwärts- und Rechtsfahrt

Eine vereinfachte Schreibweise mit Angabe von Kreisbahnen:

C^+ = Vorwärts- und Kreisfahrt, C^- = Rückwärts- und Kreisfahrt,

S^+ = Vorwärtsfahrt, S^- = Rückwärtsfahrt

Und in einer kompakten Form:

C = Kreisfahrt, S = Vorwärtsfahrt, $|$ = Richtungswechsel

Die Anzahl der Kommandoworte um den kürzesten Pfad zu beschreiben sind 48.

$$\{C | C | C, CC | C, C | CC, CSC, CC | CC, C | CC | C, C | C_{\pi/2}SC, CSC_{\pi/2} | C, C | C_{\pi/2} | C\} \quad (10)$$

Die Reeds and Shepps Kurven beschreiben den kürzesten Weges für Vorwärts- und Rückwärtsfahrt. Jedoch der kürzeste Pfad ist nicht immer der schnellste Pfad, wegen den Anhaltepunkten zwischen den Segmenten.

CC Technik

Kennzeichen der CC-Technik ist die Eliminierung von Anhaltepunkten zwischen der Start- und Endkonfiguration des Fahrzeugs auf einem Teilpfad. Es sind Bahnsegmente die eine kontinuierliche Krümmungsänderung besitzen. Über die Continuous Curvature Technik können Reeds und Shepps Kurven über ein Verbindungsstück verbunden werden. Die Verbindungssegmente stellen eine Alternative zum Anhalten dar. Dadurch ist der Pfad nicht mehr der kürzeste. Über die Kombination der Reeds and Shepps Kurven mit den CC Kurven wird ein Pfad erzeugt, der auf den kürzesten Weg aufbaut. Ein Klothoidenstück ist ein Pfad, der bei konstanter Geschwindigkeit gefahren und kontinuierlich umgelenkt wird. In der Abbildung 9 ist dargestellt,

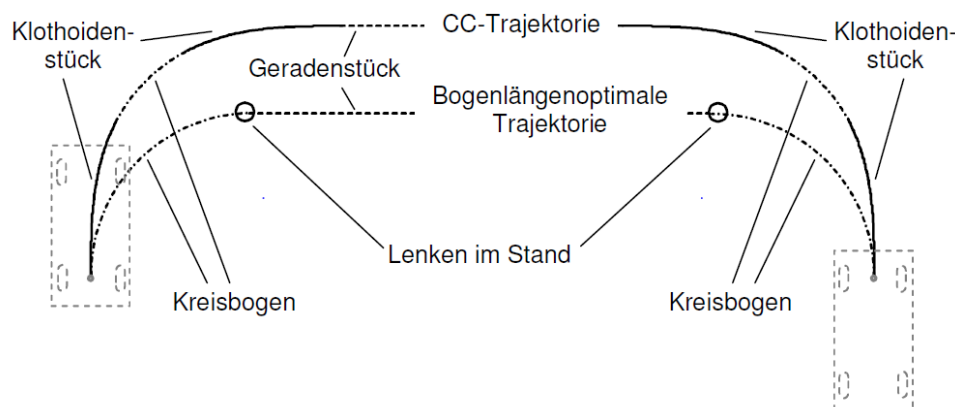


Abb. 9: Vergleich von Kreisbögen mit mit CC-Kurven [10]

dass der Weg mit einer CC-Trajektorie länger wird, jedoch die Anhaltepositionen zwischen den Kreisbahnen verschwinden. Ein CC-Bahnsegment 9 fährt meist geringer, weil das Anhalten und Umlenken bei der Verbindung von Kreisbahnen Zeit beansprucht. Die Größen Fahr- und Lenkwinkelgeschwindigkeit nehmen auf die Länge eines CC-Segments Einfluss. Die Berechnung von Klothoiden ist in der Arbeit Emese Szadeczky-Kardoss und Balint Kiss[15] beschrieben. Es wird gezeigt, wie Klothoiden-Segmente berechnet werden können. Den Fokus haben sie auf die Echtzeitberechnung der Klothoidensegmente gelegt.

In der Arbeit von Thierry Fraichard und Alexis Scheuer[19], wird eine Methode vorgestellt, die Reeds and Shepps Kurven mit CC-Turns erweitern.

Die Krümmung ist der Kehrwert des Wenderadius r_p des Fahrzeugs:

$$k = \frac{1}{r_p} \quad (11)$$

Ein CC-Turn ersetzt eine Kreisbahn mit maximaler Krümmung (vgl. Gl. 11), sie besteht aus einer Klothoide, eine Kreisfahrt mit maximalem Lenkwinkel und einer weiteren Klothoide. Sie kann als Verbindungsstück zwischen zwei Geraden verwendet werden. Der einzustellende Lenkwinkel kann nur 3 Werte annehmen: $-\alpha_{max}$, 0 , α_{max} . Das Umschalten von den drei Lenkwinkelwerten bewirkt in Abhängigkeit von der Lenkwinkel- und Fahrzeuggeschwindigkeit eine Klothoide. Eine Klothoide zwischen zwei Kreisbahnen mit positiver und negativer Krümmung wird Wendelinie genannt. Sie findet vor allem im Straßenbauwesen Verwendung.

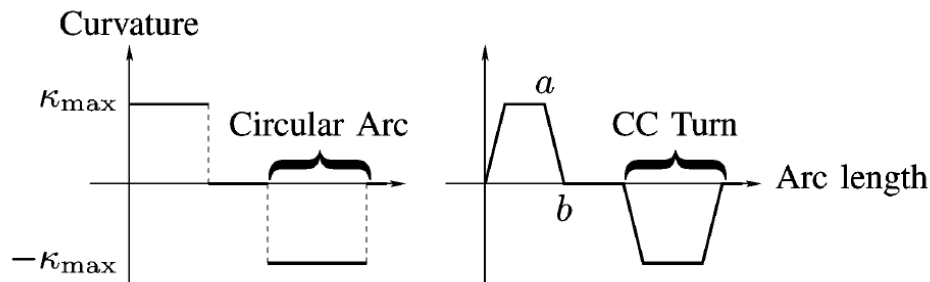


Abb. 10: Krümmungsband einer Teilstrecke [19], CC-Bahn zwischen A und B, CC-Turn besteht aus zwei CC-Bahnen und einer Kreisbahn

In der Abbildung 10 ist im Krümmungsband die Funktionsweise eines CC-Turns dargestellt. Die minimale und maximale Krümmung, wird über den minimalen und maximalen Lenkwinkel bestimmt (vgl. Gl. 11). In der linken Abbildung ist ein Reeds and Shepps Pfad dargestellt, der aus einer Kreisbahn, Gerade und entgegengerichtete Kreisbahn besteht. Zwischen den Segmenten muss das Fahrzeug anhalten und im Stehen umlenken. In der rechten Abbildung ist ein Pfad mit Klothoiden, die als Schrägen zu erkennen sind.

Ein Nachteil von CC-Trajektorien ist die aufwendige Berechnung von Koordinaten auf der Klothoide. Das muss vorab Offline durchgeführt werden. Außerdem sei hier noch auf eine weitere Arbeit von Doran K. Wilde[35] hingewiesen.

Weg-Bogenlängen Metriken

Zur Kollisionserkennung und -vermeidung werden Informationen über die Erreichbarkeit von Hindernissen gebraucht. Ein Hindernis seitlich zum Fahrzeug ist aufgrund des Achswinkels und der Lenkwinkelverzögerung schwerer zu erreichen, als ein Hindernis, das direkt vor dem Fahrzeug liegt. Die kürzeste Entfernung kann nicht einfach über den Satz des Pythagoras ermittelt werden. Denn die Entfernung (Weg) ist abhängig vom Achswinkel am Start und am Ziel. Um die kürzeste Entfernung zu berechnen, gibt es Shortest-Feasible-Path-Metriken (SFP) oder auch Weg-Bogenlängen Metriken.

Dubins Metrik.

In der Arbeit von Lumelsky und Shkel[32] wurde ein Verfahren entwickelt, mit dem CSC-Pfade erzeugt werden. Die CCC-Kurven (vgl. Gl. 9) stellen eine Ausnahme dar und können nur entstehen, wenn die Entfernung zwischen der Anfangs- und Endkonfiguration (x, y, θ) kleiner als das vierfache des minimalen Wenderadius ist (siehe Lumelsky und Shkel [32]). Es ist eine Shortest-Path-Metrik für diese Entfernungen.

In Abb. 11 wird der kürzeste Pfad dargestellt, der von Startkonfiguration **I** zu Endkonfiguration **F** führt. Außerdem noch ein Pfad in der Form CCC, der jedoch nicht kürzer ist, obwohl der

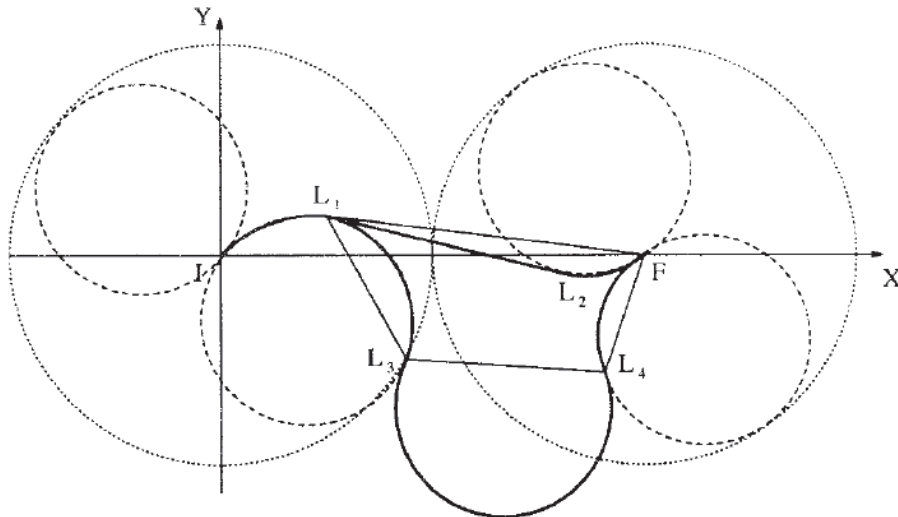


Abb. 11: Kürzester Pfad RSL zwischen 2 Konfigurationen, CSC und CCC [32]

Final Quadrant \ Initial Quadrant	1	2	3	4
1	rsl	rsl or {rsr or lsr}	{rsr or lsr}	{rsr or lsr}
2	rsl or {lsl or lsr}	rsl or {rsr or lsl}	rsr	{rsr or rsl}
3	{lsl or lsr}	lsl	lsr or {lsl or rsr}	lsr or {rsr or rsl}
4	{lsr or rsl}	{lsl or rsl}	lsr or {lsl or rsl}	lsr

Abb. 12: Tabelle mit CSR-Kurven, bei unterschiedlichen Winkeln [32]

Abstand zwischen den beiden Konfigurationen kleiner als 4 mal minimaler Wenderadius ist. Die Konstruktion von CSC-Kurven erfolgt über das ziehen von zwei Kreisen, jeweils zur Anfangs- und zur Zielkonfiguration, damit hat man schon 2 C-Kurven. Was fehlt ist noch eine Gerade, die bei einer RSL oder LSR - Kurve einer Inneren Tangente entspricht. Und bei einer LSL und RSR-Kurve ist es eine Äußere Tangente. Somit gibt es acht Pfade, die mit Hilfe der Inneren und Äußeren Tangente ermittelt werden.

Die Tabelle 12 von [32] beschreiben Bahnen, bei denen die CSC-Kurven minimiert wurden. Sie zeigen die Kombinationen von Kreisbahnen, die den kürzesten Pfad beschreiben. Zu beachten ist, dass die Berechnung der Winkel nicht über die X-Achse als Winkelbezugsachse erfolgt, sondern über die Verbindungslinie zwischen den beiden Konfigurationen.

Weg-Bogenlängen Pfad-Planer

Einparken mit Entscheidungslogik

Die Arbeit von Ollero, Cuesta und Gomez-Bravo[17] beschreibt ein Bahnplanungsalgorithmus

mit Entscheidungslogik. Es werden mehrere kollisionsfreie Pfade generiert, wobei der Pfad aus SCC-Pfadsegmenten besteht. Sie bestehen aus einer Kreisbahn C mit maximaler Krümmung zur Einparkposition und mehreren Kreisbahnen C von der Startposition zu den Berührungspunkten. Eine Gerade S führt zur ersten Kreisbahn in Richtung Parklücke. Der Radius der Kreisbahn von der Startposition aus besitzt eine maximale Krümmung. Bei einer ausreichend großen Parklücke werden so viele Kreisbahnen generiert, der Berührungspunkt der beiden Kreisbahnen ist jeweils der Anhaltepunkt, an dem der Lenkwinkel im Stehen umgestellt wird. Eine Fuzzy-Logik entscheidet aufgrund von Erfahrungswerten, welche die beste ist.

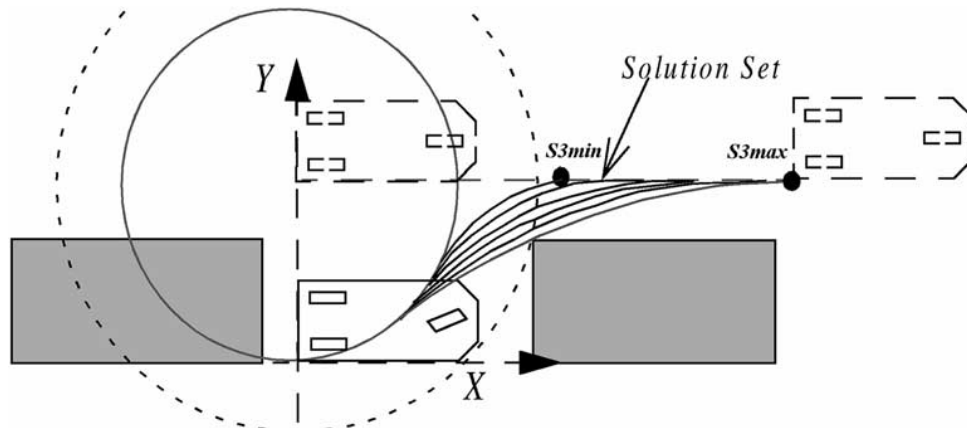


Abb. 13: Generierte Pfade, die abfahrbar sind[17]

Es ist eine Bahnplanung, mit der ein kurzer Pfad erzeugt wird und anschließend eine Entscheidung getroffen wird. Jedoch behandelt diese Arbeit nur den ersten Einparkschritt (siehe Kapitel 4.2) des Einparkmanövers.

Wegplanung über einen gerichteten Graphen Ein Konzept zur Wegplanung von A. Bicchi, G. Casalino und C. Santilli[9] verwendet zur Wegfindung einen Graphensuche.

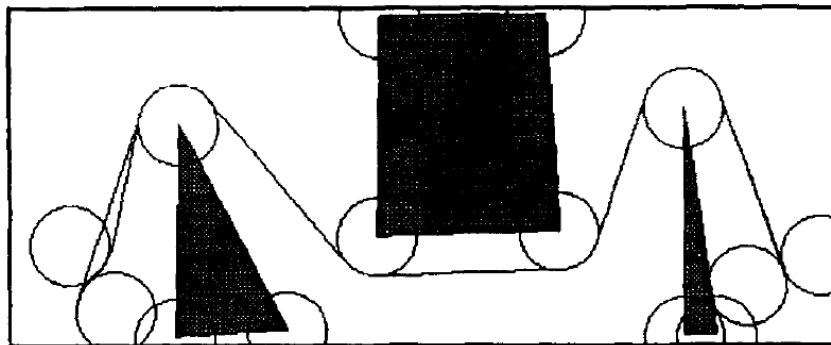


Abb. 14: Erzeugter Pfad entlang den Eckpunkten der Hindernisse [9]

Der Algorithmus enthält folgende Schritte:

1. Jeweils zwei Kreise um die Start- und Zielkonfiguration ziehen
2. an allen Hindernis-Eckpunkten einen Kreis ziehen mit dem Radius der das Maximum von minimalen Wenderadius und Mindestabstand zum Hindernis entspricht
3. alle Kreise mit (Inneren und Äußeren) Tangenten verbinden
4. alle Tangenten streichen, die eine Kollision verursachen
5. Start-, Zielkoordinate und alle Tangentenpunkte sind Knoten
6. die Kosten von Kanten entsprechen dem Weg
7. einen Algorithmus zur Wegfindung verwenden, wie z.B. Dijkstra

In einer Umgebung mit vielen Ecken, müssen viele Kreise gezogen werden und der Aufwand des Algorithmus ist dann groß. Zum Einparken kann das Verfahren nur verwendet werden, wenn die Parklückenlänge mindestens doppelt so breit wie der Wenderadius sein muss. Da die Kreise sich sonst überlagern.

Eine Verbesserung des Algorithmus ist, dass die Kreismittelpunkte nach Ablauf des Algorithmus in Richtung Hindernis verschoben werden. Da der minimale Wenderadius des Fahrzeuges meist viel größer ist, als der minimale Abstand des Fahrzeuges zum Hindernis (siehe Kollisionsradius Abb. 16).

Kombination von erprobten Verfahren. Die Arbeit von B. Müller, J. Deutscher und S. Grodde[10][11][12][13] umfasst mehrere Verfahren aus vielen Forschungsarbeiten, sie haben diese zusammen gebracht und zu eine Allzweck-Lösung für unterschiedlichste Umgebungen gemacht. Sie liefert beim Einparken in sehr tiefe Parklücken einen kurzen Weg. Da ist es besser im ersten Einparkschritt eine große Tiefe zu erreichen und danach den Achswinkel des Fahrzeug auszurichten.

Der Algorithmus besteht aus zwei Schritten: 1) kollisionsfreier Pfad zum Ziel generieren, ohne die Beschränkungen in der Bewegungsfreiheit zu beachten (holonome Fahrzeugpfad), 2) Umwandlung des Pfades in einen Pfad für nicht holonomische Fahrzeuge.

1. Zuerst wird zu allen Hinderniskoordinaten die kürzeste Bogenlänge über eine SFP-Metrik ermittelt. Die Hindernisse werden als eine Menge von Hinderniselementen aufgefasst, die mit Angabe von einem Winkel nur verschoben sind. So können diese Abstandswerte Offline berechnet werden und je nach Hinderniselement und Abstand wird so der kürzeste Pfad über eine Lookup Tabelle bezogen. Daraus werden zwei Teilpfade erzeugt. Einer von der Startkonfiguration in Richtung Ziel und ein Teilpfad von der Zielkonfiguration zur Startkonfiguration. Die Teilpfade werden unter aufgrund von großen Entfernungen zu den Hindernissen, jedoch in Richtung des Ziels generiert. Damit ist sichergestellt, das ein Teilpfad wenige Fahrtrichtungswechsel beinhaltet.
2. Der kollisionsfreie Pfad wird in einen fahrbaren Pfad umgerechnet.

Das Konzept ist eine Komplettlösung, die dynamisch einen kurzen Pfad, mit wenigen Anhaltspunkten, generiert. Sie benutzen mehrere Pfadplaner, wobei der geeignetste Pfad ausgewählt wird. Es werden umfangreiche Kenntnisse zu den unterschiedlichsten Verfahren benötigt, um diese Komplettlösung zu übernehmen.

Wegfindung in Graphen

Ein weiteres Themengebiet sind Such-Algorithmen die einen Weg im Graphen suchen. Dazu wird ein Graph erzeugt der meist im höher dimensionierten Raum aufgespannt wird.

Der **RRT** [23] [22] Rapidly-exploring Random Tree- Algorithmus sucht im drei- oder mehrdimensionalem Zustandsraum (x,y,θ) oder auch (x,y,θ, v, \dots) einen Pfad von der Startkonfiguration in Richtung Ziel und von der Zielkonfiguration in Richtung Startkonfiguration. Bei Dreidimensionalen Räumen wird von der Startkonfiguration des Fahrzeuges $(x_{start}, y_{start}, \theta_{start})$ eine zufällige Konfiguration gewählt, von der bekannt ist dass sie im kollisionsfreien Raum liegt und erreichbar ist. Der Graph wird über die folgende Konfiguration oder weiteren erreichbaren Konfigurationen fortgeführt, bis beide Teilpfade verbunden sind. Die Kanten beinhalten die

Geschwindigkeit und den Lenkwinkel.

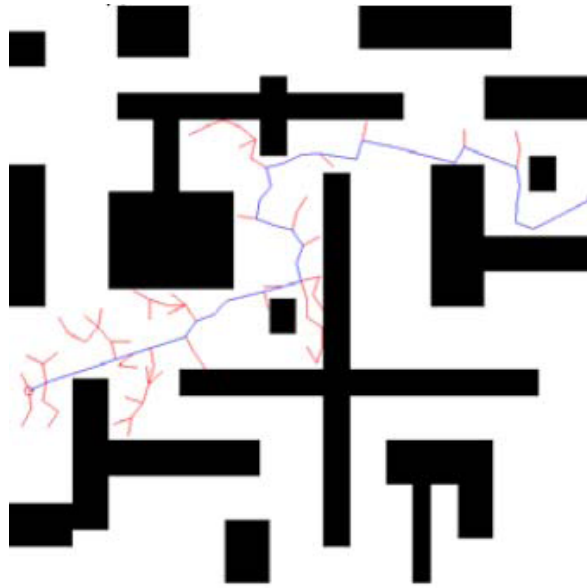


Abb. 15: RRT Pfaderzeugung [28]

Zu sehen ist in der Abbildung 15 eine erzeugte Baumstruktur, die sukzessiv zum Ziel aufgebaut wird. Der Algorithmus garantiert nicht die Qualität der Erreichbarkeit, Schnelligkeit und des kürzesten Pfades. Es ist ein Algorithmus der 1998 entwickelt wurde und seit dem Jahre 2000 wurden im IEEE 109 Facharbeiten veröffentlicht wurden (Stand 01.07.2010).

4.2 Kreistechnik

Folgender Abschnitt ist eine Einführung in die Kreistechnik, für eine detailliertere Beschreibung siehe Kapitel 5 Mathematischer Bahnplanungsentwurf der Einparkphasen, Abschnitt „Erster Einparkschritt“ und „N-Einparkschritte“. Die Kreistechnik ist ein Bahnplanungsverfahren, deren Pfade nur aus Kreissegmenten bestehen. Sie ist eine Vorstufe zu den Dubins Kurven, die auch Kreissegmente mit maximaler Krümmung besitzen. Jedoch ohne Geraden zwischen den Kreisen. Die Verbindungen zwischen den Kreissegmenten sind Anhalteposition, an denen das Fahrzeug im stehen auf den minimalen oder maximalen Lenkwinkel umlenkt.

Verwendung findet die Technik im ersten und n-ten Einparkschritt (siehe Kapitel 5 und 6).

Der erste Einparkschritt wird schon nach dem Erkennen der Parklücke geplant, indem eine Startkonfiguration berechnet wird, die entweder eine Bahn zur finalen Einparkkonfiguration oder eine maximale Tiefe erzielt. Kennzeichen des ersten Einparkschrittes sind:

- unbekannte Startkonfiguration
- bekannte Zielkonfiguration innerhalb der Mitte der Parklücke
- Hindernisse begrenzen die Parklücke

Zwei Szenarien sind zu unterscheiden:

1. Zielkonfiguration kann direkt ohne Kollisionen erreicht werden
2. Einparken in mehreren Einparkschritten, weil die Parklücke zu schmal ist

Bei Szenario 1. hat die Kreisbahn aus der Parklücke heraus, einen Berührungspunkt mit der finalen Einparkkonfiguration, ohne eine Kollision mit Hindernissen zu haben. Der Mittelpunkt des Kreises ist in Y-Richtung Fahrspur und hat die gleich X-Koordinate der finalen Einparkkonfiguration, da das Ziel mit einem Achswinkel von 0 Grad erreicht werden soll. Die andere Kreisbahn von der Fahrspur hat einen Berührungspunkt mit dem zuvor erzeugten Kreis und hat einen Berührungspunkt mit der Y-Koordinate des Fahrzeugs in einem Achswinkel von 0 Grad (vgl. Kapitel 5.3, Gl. 13 und Gl. 16). Das Fahrzeug muss zur Positionierung nur vor- oder zurücksetzen. In Szenario 2. ist die Parklücke zu schmal, der Kreis aus der Parklücke hat eine Kollision mit einem Hindernis. Es muss deshalb ein Weg in einem sicheren Abstand zu den Hindernissen konstruiert werden. Dazu werden die innere und äußere Kollisionsradien des Fahrzeugs verwendet (vgl. Abb. 16).

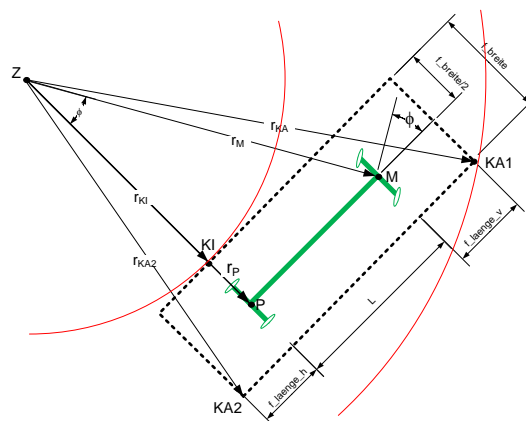


Abb. 16: Kollisionsradien des Fahrzeugs, rot = innerer und äußerer Kollisionsradius

Der Wenderadius des Fahrzeug wird wie folgt berechnet:

$$r_p = L / \tan(\max_{\text{winkel}}) \quad (12)$$

Der äußere Kollisionsradius (vgl. Gl. 16) wird bei diesem Fahrzeug über den Radius r_{KA1} berechnet, da die Entfernung vom Hinterrad zum Heck f_{laenge_h} kleiner ist als die zur Fahrzeugfront $f_{\text{laenge}_v} + L$. Der äußere Kollisionsradius kann verringert werden, wenn die Fahrzeugfront gekürzt und / oder die Frontecken abgerundet werden.

$$r_{KI} = r_p - f_{\text{breite}}/2 \quad (13)$$

$$r_{KA1} = \sqrt{(r_p + f_{\text{breite}}/2)^2 + (L + f_{\text{laenge}_v})^2} \quad (14)$$

$$r_{KA2} = \sqrt{(r_p + f_{\text{breite}}/2)^2 + f_{\text{laenge}_h}^2} \quad (15)$$

$$r_{KA} = \max(r_{KA1}, r_{KA2}) \quad (16)$$

Ein sicherer Weg beinhaltet ein Kreissegment mit einem Mindestabstand der Kollisionsradien zu dem Hindernis (vgl. Abb. 17).

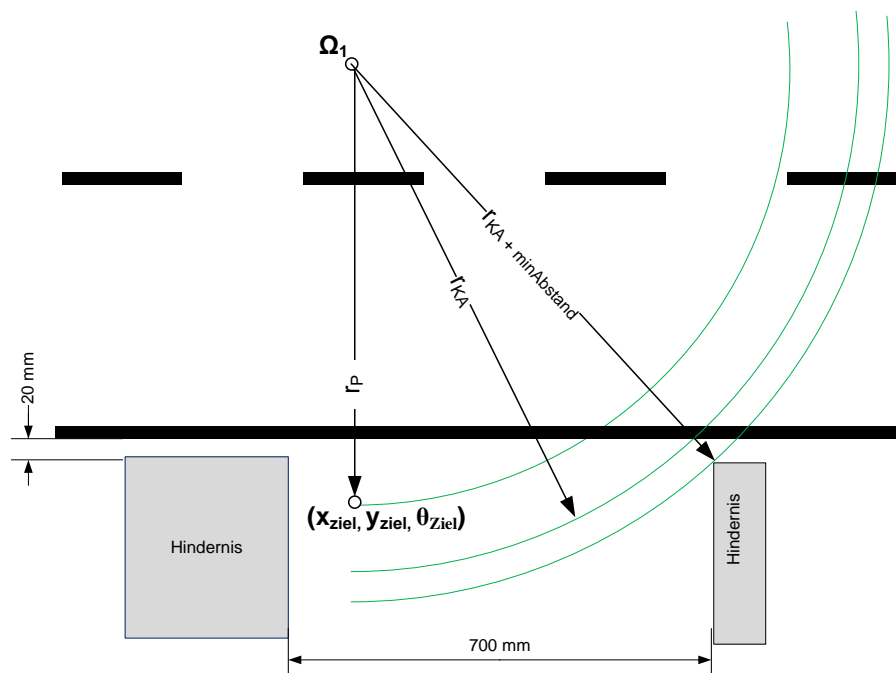


Abb. 17: Szenario 2: Konstruktion des ersten Kreises aus der Parklücke heraus, mit der maximalen Tiefe und minimalem Abstand zum Hindernis

Der erste zu konstruierende Kreis (siehe Gl. 12) führt aus der Parklücke heraus und hat besitzt eine X-Koordinate in einem Mindestabstand zum linken Hindernis. Der Kreis des Kollisionsradius plus Mindestabstand hat den gleichen Mittelpunkt, wie der des Wendekreises des Weges (vgl. Abb. 7). Die Y-Koordinate des Kreises hat einen Berührungspunkt mit dem rechten Hindernis.

Der weitere Kreis zur Fahrspur hat einen Berührungspunkt mit dem zuvor erzeugten Kreis und berührt entweder die Y-Koordinate der aktuellen Konfiguration des Fahrzeugs. Wenn das aufgrund einer Kollision nicht geht, hat der zweite Kreis den Berührungspunkt, mit dem Kreis aus der Parklücke, in der Position die kollisionsfrei ist (vgl. Abb. 34).

Während des **N-ten Einparkschritts** befindet sich das Fahrzeug in der Parklücke zwischen den Hindernissen, entweder am linken oder am rechten Hindernis. Das Ziel besteht darin, dass das Fahrzeug am anderen Ende der Parklücke in einem Achswinkel von 0 Grad stehen bleibt und eine maximale Tiefe erreicht.

Kennzeichen des ersten N-ten Einparkschrittes sind:

- bekannte Startkonfiguration
- unbekannte Zielkonfiguration, jedoch in einem bekannten Abstand zum Hindernis
- Bahn zwischen den Hindernissen ist kollisionsfrei

Der Weg von einem Ende der Parklücke zum anderen Ende kann aus 3 Kombinationen von Kreissegmenten bestehen (vgl. Kap. 5.4):

1. Linkskurve
2. Rechtskurve
3. Links- und Rechtskurve

Diese Kombinationen werden je nach Fahrtrichtung unterschiedliche Gleichungen aufgestellt. Insgesamt gibt es deshalb 6 Szenarien in der Einparkphase N-ter Einparkschritt.

Kennwerte der Kreistechnik:

- + Minimale Wege
- + definierte Abstände zu Hindernissen
- + häufig verwendete Bahnplanungsverfahren in Forschungsarbeiten
- + Erweiterbarkeit hin zu einer vollwertigen Weg-Bogenlängen Technik mit CC-Bahnen und größeren Kreisen, als der Wenderadius
- - hohe Komplexität bei Optimierung über Erweiterungen, wie CC-Bahnsegmenten
- - der Aufwand zur Konstruktion vergrößert sich, wenn mehr als zwei Kreisbahnen zur Bahnplanung verwendet werden

4.3 Virtuelle Deichsel

Die Virtuelle Deichsel ist eine Lenkwinkelregelung, die bei der Wahl der Zielposition und des Verstärkungsfaktors zu einem Bahnplanungsverfahren wird. Sie wird in den Einparkphasen „Spurführung“, „Positionierung“ und „Fahrzeug ausrichten“ verwendet (siehe Kapitel 5). Sie wurde in einer früheren Arbeit [25] für einen Einparkassistenten genutzt, der vorwärts fahrend in eine Parklücke mit großen Entfernungen in einem Einparkschritt eingeparkt ist. Es wird hier das Regelungsverhalten der Virtuellen Deichsel analysiert und Verfahren zur Findung von Zielpositionen und Verstärkungsfaktoren erläutert.

Einzigste Parameter zur Beeinflussung des Regelverhaltens sind die Zielposition und der Verstärkungsfaktor. Sie ist eine nichtlineare Lenkwinkelregelungsfunktion, die als Argumente zeitlich abhängige Variablen enthält. Sie berechnet den Lenkwinkel über die Differenz vom Zielwinkel σ zum Achswinkel θ (vgl. Gl. 17 und Abb. 7). Der Lenkwinkel α ist bei einer Linksfahrt als negativ und eine Rechtsfahrt als positiv festgelegt [25].

$$\alpha(t) = \begin{cases} -(\sigma(t) - \theta(t)), & \text{wenn } vm > 0 \\ (\sigma(t) - \theta(t)), & \text{wenn } vm < 0 \end{cases} \quad (17)$$

Ohne Verstärkung des Zielwinkels σ wird das Fahrzeug in jedem Rechenschritt einen Lenkwinkel direkt zum Ziel vorgeben. Eine proportionale Verschiebung *verst* des Ziels zu der Entfernung, erzielt eine Kreisfahrt zum Ziel und regelt das Fahrzeug auf einen Achswinkel von 0 Grad (vgl. Abb. 23). Die Regelung ist abhängig von der Entfernung des Fahrzeugs zum Ziel und dem Verstärkungsfaktor, der das Ziel bei einer Berechnung proportional zur Entfernung verschiebt. Je näher das Ziel, um so geringer die Y-Verschiebung und desto direkter der Kurs auf das Ziel.

$$\sigma(t) = \arctan\left(\frac{verst \cdot y_d(t)}{x_d(t)}\right) \quad (18)$$

4.3.1 Lenkwinkelregelung

Der folgende Abschnitt behandelt die Lenkwinkelregelung der Virtuellen Deichsel, insbesondere ihr Verhalten und die Winkelberechnung bei Rückwärtsfahrten (siehe Abb. 20).

Die Wirkungsweise des Verstärkungsfaktors ist in Abbildung 18 mit den Verstärkungsfaktoren 0.5, 1 und 2 dargestellt.

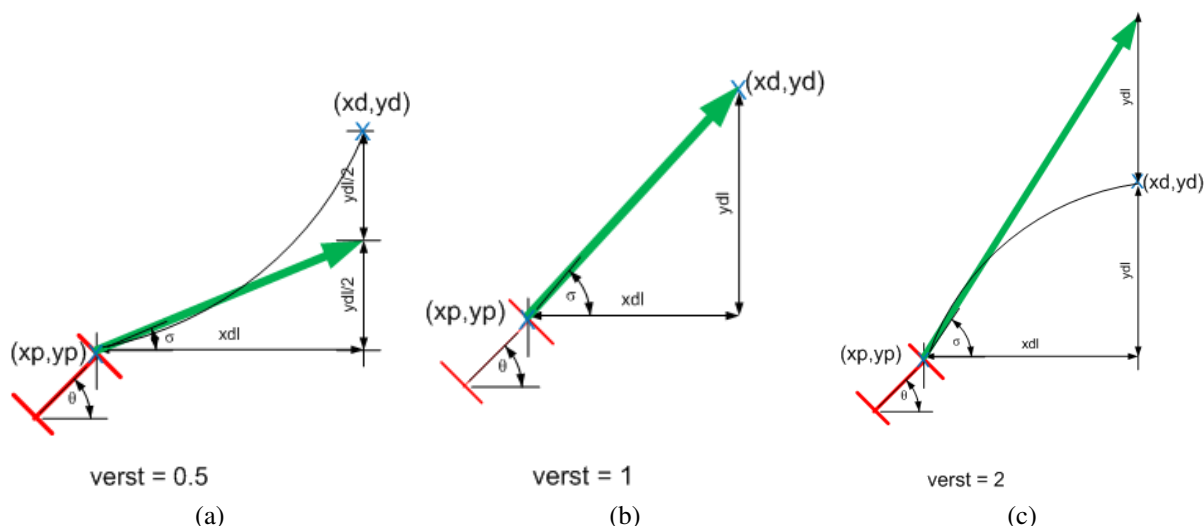


Abb. 18: Virtuelle Deichsel - Verstärkung. Der Zielwinkel σ wird proportional zu der Entfernung verstärkt, Schwarze Kurve = abzufahrende Bahn, Grüner Pfeil = Winkel zum Ziel während einem Rechenschritt

Ein großer Verstärkungsfaktor (vgl. Abb. 18c) bewirkt, dass zum Ziel nahezu horizontal gefahren wird. Dagegen bewirkt ein geringer Verstärkungsfaktor eine vertikale Fahrt zum Ziel. Mit abnehmender Entfernung wirkt sich der Verstärkungsfaktor immer geringer auf den Zielwinkel aus, das Fahrzeug wird immer direkter zum Ziel gelenkt. Deswegen kann mit der Virtuellen Deichsel eine S-Kurve gefahren werden.

Die Winkelberechnung zum Ziel σ kann wie bei der Vorwärtsfahrt nicht verwendet werden. Da der Wertebereich von $\text{atan}()$ nur zwischen -90 bis $+90$ Grad liegt (vgl. Abb. 19).

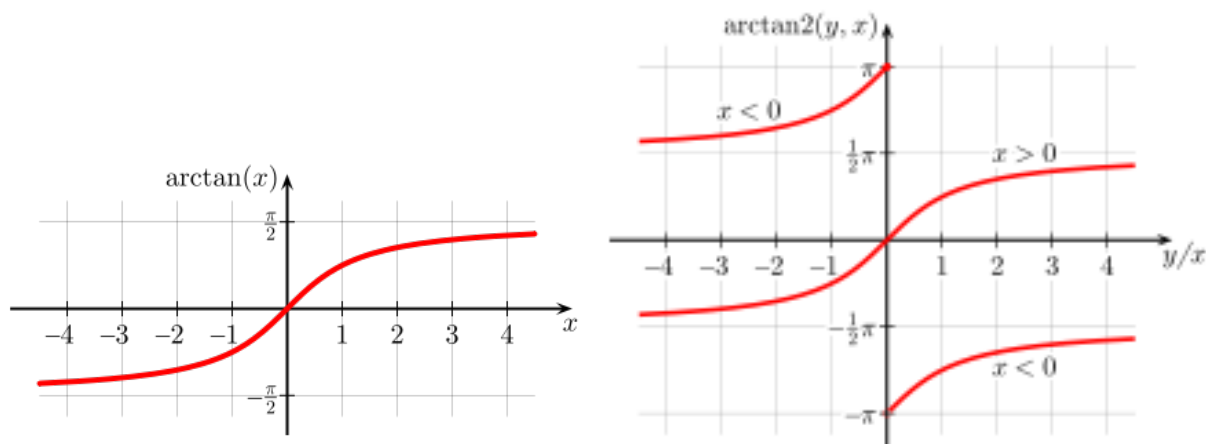
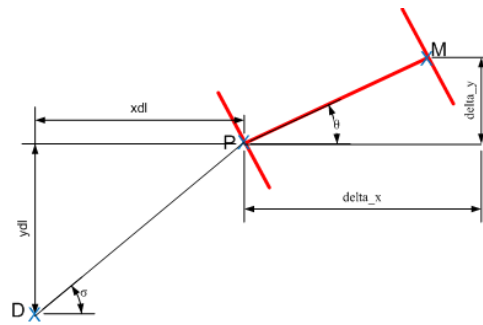


Abb. 19: Wertebereich von $\text{atan}[1]$ ($\pm \pi/2$) und atan2 [8] ($\pm \pi$)

Das Ziel liegt bei Rückwärtsfahrten hinter dem Fahrzeugheck (siehe Abb. 20). Somit kann $\text{atan}()$ so nicht verwendet werden. Der Wertebereich muss erweitert werden auf Winkel die hinter dem Fahrzeug liegen.



verst = 0.5

Abb. 20: Berechnung des Zielwinkels zu einem Ziel D hinter dem Fahrzeugheck. Hinterrad P ist die Bezugsordinate.

Die Verwendung von $\text{atan2}()$ erweitert den Wertebereich von 180 auf 360 Grad. Im folgenden werden beide Varianten näher beschrieben.

1. über $\text{atan2}()$
2. über $\text{atan}() + \pi$, zur Berechnung eine Verschiebung des Ziels um 180 Grad

Variante 1): Winkelberechnung über $\text{atan2}()$

Mit $\text{atan2}()$ wird der Wertebereich verdoppelt. Der Winkel zum Ziel kann berechnet werden. Das Fahrzeug muss beim Rückwärtsfahren noch in die entgegengesetzte Richtung lenken, da die Geschwindigkeit einen negativen Wert hat (vgl. Gl. 17).

$$\alpha(t) = \begin{cases} (\text{atan2}(\left(\frac{\text{verst} \cdot y_d(t)}{x_d(t)}\right)) - \theta(t)), & \text{wenn } v_m < 0 \\ -(\text{atan2}(\left(\frac{\text{verst} \cdot y_d(t)}{x_d(t)}\right)) - \theta(t)), & \text{wenn } v_m > 0 \end{cases} \quad (19)$$

Bei Vorwärtsfahrten und einem Ziel das vor sich vor dem Heck des Fahrzeug befindet, kann auch $\text{atan}()$ verwendet werden. Der Vorteil von $\text{atan2}()$ ist, dass sobald das Ziel in X- oder Y-Richtung überfahren wird, ändert sich der Winkel zum Ziel. Der Nachteil ist: der Lenkwinkel springt ohne Verzögerung auf den maximalen oder minimalen Lenkwinkel, sobald das Ziel überfahren wird (siehe Abb. 21).

Sobald die Hinterachse das Ziel überfahren hat, ändert sich ohne Verzögerung der Lenkwinkel (siehe Abb. 21). Die Richtung des Ausschlags hängt von dem Überfahren der X- und Y-Richtung ab. Für das Einparkmanöver ist es nicht notwendig, das Ziel zu umfahren. Außerdem ist es wünschenswert am Ziel gerade zum stehen zu kommen. Ein leichtes überfahren des Ziels sollte nur eine geringe Änderung auf den Achswinkel haben.

Variante 2): Winkelberechnung über $\text{atan}() + \pi$

Mit $\text{atan}() + \pi$ wird das Ziel um 180 Grad verschoben, so dass das Ziel vor dem Fahrzeug liegt. Nach der Berechnung wird der Lenkwinkel α negiert, da das Fahrzeug rückwärts fährt.

Aus dem Simulationsergebnis Abb. 22 ist zu erkennen, dass nach dem Überfahren des Ziels mit der Hinterachse, das Fahrzeug nicht sofort umlenkt. Die Fahrtrichtung bleibt danach weiter stetig, weil das Ziel nur in einem Sichtbereich von +/- 90 Grad liegt.

Somit ist ein leichtes Überfahren des Ziels mit $\text{atan}()$ toleranter gegenüber dem Verschieben

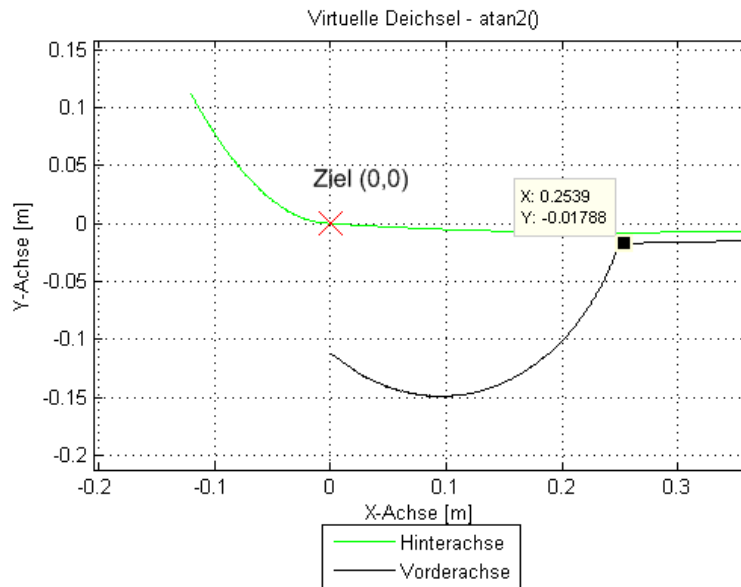


Abb. 21: Start in ausreichender Entfernung (10,10) zum Ziel. Beim überfahren des Ziels (0,0) mit dem Hinterrad bewirkt mit $\text{atan2}()$ ein sofortiges umlenken zurück zum Ziel.

$$\alpha(t) = \begin{cases} \left(\text{atan}\left(\frac{\text{verst} \cdot y_{dl}(t)}{x_{dl}(t)}\right) + \pi - (\theta(t) + \pi) \right), & \text{wenn } v_m < 0 \\ -\left(\text{atan}\left(\frac{\text{verst} \cdot y_{dl}(t)}{x_{dl}(t)}\right) - \theta(t) \right), & \text{wenn } v_m > 0 \end{cases} \quad (20)$$

$$\alpha(t) = \left(\text{atan}\left(\frac{\text{verst} \cdot y_{dl}(t)}{x_{dl}(t)}\right) - \theta(t) \right), \text{ wenn } v_m < 0$$

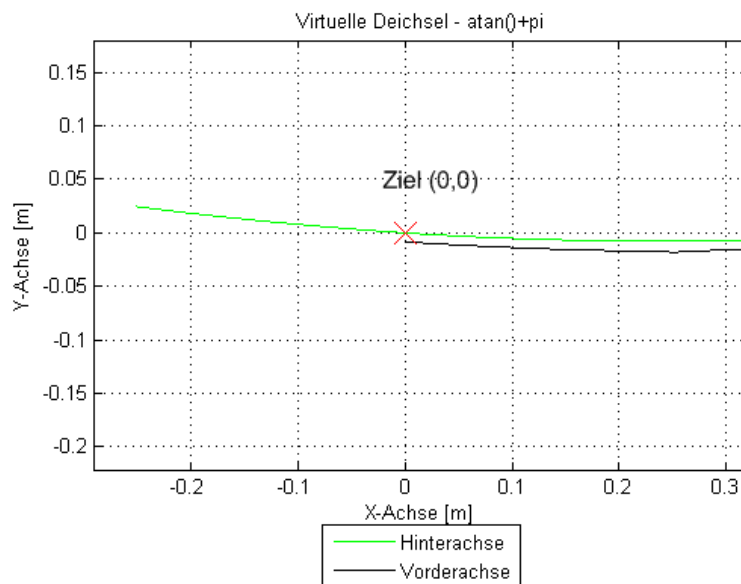


Abb. 22: Start in ausreichender Entfernung (10,10) zum Ziel. Beim überfahren des Ziels (0,0) mit dem Hinterrad fährt das Fahrzeug geradeaus weiter.

des Achswinkels.

Konsequenz

Atan2() bietet beim Einparken keine Vorteile gegenüber atan() + π und den wichtigen Nachteil, dass ein leichtes Überfahren des Ziels ein ohne Verzögerung Ausschlagen des Lenkwinkels zur Folge hat.

	Wertebereich [rad]	Wertebereich [Grad]	nutzbarer Wertebereich [Grad] für Rückwärtsfahrt
atan()	$[-\frac{\pi}{2}, \frac{\pi}{2}]$	[-90, 90]	nur -90 und 90
atan() + π	$[-\pi, -\frac{\pi}{2}]$ und $[\frac{\pi}{2}, \pi]$	[90, 180] und [-90,-180]	[-90, -180] und [90, 180]
atan2()	$[-\pi, \pi]$	[-180, 180]	[-90, -180 und [90, 180]]

Tabelle 3: Wertebereiche zur Berechnung des Lenkwinkels über atan und atan2

Aus der Tabelle 3 wird deutlich, dass atan() + π den notwendigen Wertebereich beim Rückwärtsfahren komplett ausnutzt und völlig ausreichend ist. Darüber hinaus noch die bessere Eigenschaft der stabileren Lenkung beim Einparkmanöver besitzt.

Eine Normierung des Lenkwinkels ist aufgrund der Beschränkung des Lenkwinkels vorzunehmen :

$$\alpha(t) = \begin{cases} \minWinkel, & \text{wenn } \alpha(t) < \minWinkel, \\ \maxWinkel, & \text{wenn } \alpha(t) > \maxWinkel, \\ \alpha(t), & \text{wenn } \minWinkel \leq \alpha(t) \leq \maxWinkel \end{cases} \quad (21)$$

Verhalten der Virtuellen Deichsel an deren Grenzen

Die Grenzen der Virtuellen Deichsel wird über einen sehr großen und einen sehr kleinen Verstärkungsfaktor simuliert. Die X/Y-Entfernungen zum Ziel sind sehr groß, damit das Verhalten sichtbar gemacht werden kann.

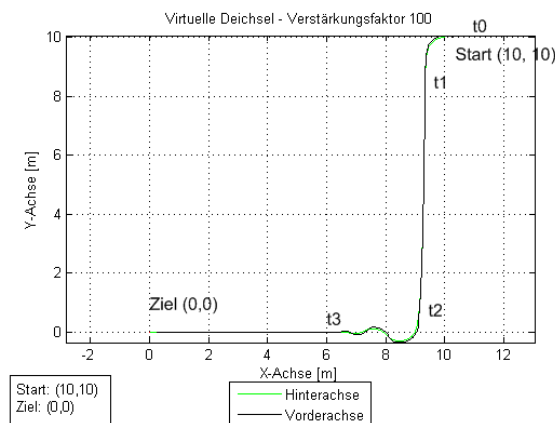


Abb. 23: Regelung auf einen Achswinkel von 0 Grad. Verstärkungsfaktor 100, Startkonfiguration $(x,y,\theta)=(10 \text{ m}, 10 \text{ m}, 0 \text{ Grad})$ und Zielkonfiguration $(0 \text{ m}, 0 \text{ m}, 0 \text{ Grad})$, mit negativer Geschwindigkeit von -0.1 m/s

Zu erkennen ist in Abb. 24, dass ein sehr kleiner Verstärkungsfaktor von 0.01 eine vertikale Regelung auf das Ziel bewirkt, der 90 Grad besitzt. Ein sehr großer Verstärkungsfaktor verursacht eine horizontale Regelung auf den Zielwinkel 0 Grad (siehe Abb. 23).

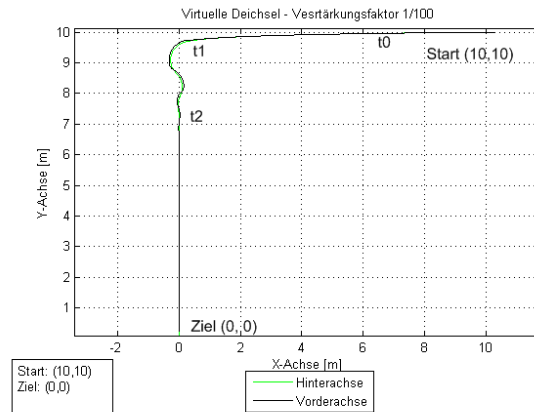


Abb. 24: Regelung auf einen Achswinkel von 90 Grad. Verstärkungsfaktor 1/100, Startkonfiguration $(x,y,\theta)=(10\text{ m},10\text{ m},0\text{ Grad})$ und Zielkonfiguration $(0\text{ m},0\text{ m},0\text{ Grad})$, negative Geschwindigkeit von -0.1 m/s

Mathematische Erklärung Die Berechnung des Lenkwinkels wird über die Differenz vom Ziel- zum Achswinkel berechnet (vgl. Gl. 17). Der Grenzwert der Zielwinkelberechnung lässt das Verhalten sichtbar werden.

Das Verhalten der **Lenkwinkelregelung mit großem Verstärkungsfaktor** ist wie folgt zu erklären (vgl. Abb. 23):

$$\begin{aligned} \lim_{verst \rightarrow +\infty} [\text{atan}(verst \cdot ydl(t)/xdl(t)) - \theta(t)] &= \text{atan}(\infty) - \theta(t) \\ &= \frac{\pi}{2} - \theta(t) \end{aligned}$$

Zum Zeitpunkt t_0 der Ausgangslage der Simulation, war der Achswinkel 0 Grad und der Lenkwinkel wurde folglich auf 90 Grad eingestellt. Erst als der Achswinkel zum Zeitpunkt t_1 90 Grad erreicht hat, wurde der Lenkwinkel auf 0 Grad gesetzt und die Fahrzeuglenkung auf 0 Grad gestellt. Erst bei Erreichen der Y-Position des Ziels zum Zeitpunkt t_2 , geht ydl gegen 0 und damit der $\text{atan}()$ -Ausdruck bei t_3 gegen 0.

$$\begin{aligned} \alpha(t_0) &= \frac{\pi}{2} - 0 = \frac{\pi}{2} \\ \alpha(t_1) &= \frac{\pi}{2} - \frac{\pi}{2} = 0 \\ \alpha(t_2) &= 0 - \frac{\pi}{2} = -\frac{\pi}{2} \\ \alpha(t_3) &= 0 - 0 = 0 \end{aligned}$$

Ein sehr **kleiner Verstärkungsfaktor** hat folgendes Verhalten (siehe Abb. 24):

$$\lim_{verst \rightarrow 0} \text{atan}(verst \cdot ydl(t)/xdl(t)) - \theta(t) = \text{atan}(0) - \theta(t) = -\theta(t)$$

Zum Zeitpunkt t_0 der Ausgangslage der Simulation, war der Achswinkel 0 Grad und der Lenkwinkel wurde folglich auf 0 Grad eingestellt. Erst als die Zielposition in X-Richtung erreicht wird, geht der Ausdruck $ydl(t) \cdot verst/xdl(t)$ bei einem kleineren Wert von xdl gegenüber $verst$, gegen ∞ und damit der $\text{atan}()$ -Wert gegen $\pi/2$. Zum Zeitpunkt t_2 hat der Achswinkel einen Wert von $\frac{\pi}{2}$ und das Fahrzeug fährt geradeaus weiter.

$$\begin{aligned}\alpha(t_0) &= 0 - \theta(t) = 0 - 0 = 0 \\ \alpha(t_1) &= 0 - \theta(t) = \frac{\pi}{2} - 0 = \frac{\pi}{2} \\ \alpha(t_2) &= 0 - \frac{\pi}{2} - \frac{\pi}{2} = 0\end{aligned}$$

Unangenehm sind bei sehr großen und sehr kleinen Verstärkungsfaktoren, dass sie Überschwingungen an den Eckpunkten erzeugen (vgl. Abb. 23 und Abb. 24). Sie entstehen beim Übergang von dem Zeitpunkt t_1 auf t_2 . Die Überschwingungen haben zur Konsequenz, dass längere Wege gefahren werden müssen.

Eigenschaften der Regelung der Virtuellen Deichsel:

- + Regelung auf die Zielkonfiguration
- + Einfachheit in der Parametrisierung
- - die Regelung verfolgt nicht die vorab geplante Bahn, sondern die Zielkonfiguration. Damit ist eine kollisionsfreie Bahnplanung schwierig
- - sie ist eine Regelung, die nur den Lenkwinkels berücksichtigt. Eine Zusammenführung von Lenkwinkel- und Geschwindigkeitsregelung ist unter Umständen sehr aufwendig

4.3.2 Bahnplanung

Eine Bahn kann vorab offline durchgeführt werden. Sie über die Virtuelle Deichsel zu planen, kann nur über Simulationen durchgeführt werden. Denn sie ist eine nichtlineare Regelung, die alleine über die Parameter beeinflussbar ist. Die integrierte Regelung regelt auf eine Zielkonfiguration x, y, θ . Ein vorab geplanter Weg muss deshalb immer einen Toleranzabstand zu den Hindernissen haben.

Ein kurzer Weg zum Ziel, das von Hindernissen blockiert wird, ist ein Weg nahe an den Hindernissen vorbei. Das ist alleine über das Bahnplanungsverfahren der Virtuellen Deichsel nur in mehreren Schritten realisierbar und im Vergleich zur Kreistechnik nur mit einem nahezu doppelt so langen Weg verbunden. Aus diesem Grund werden sie nicht für den ersten und n-ten Einparkschritt verwendet (vgl. Kapitel 5.3 und 5.4).

Die Parameter die die Regelung und damit die Bahnplanung beeinflussen sind:

1. Zielkoordinate x_{Ziel}, y_{Ziel}
2. Verstärkungsfaktor $verst$
3. Winkel des Koordinatensystems

Die Zielkoordinate 1. ist ein Parameter, der mit bedacht gewählt werden muss. Da nicht jede Koordinate erreicht werden kann und evtl. nicht mit dem gewünschten Achswinkel. Der Verstärkungsfaktor 2. bewirkt eine Regelung auf 0 (vgl. Abb. Abb. 23) oder 90 Grad (vgl. Abb. Abb. 24) zum Winkel des Koordinatensystems. Über den Parameter 3. wird das Koordinatensystem gedreht, es kann so auf jeden Achswinkel θ am Ziel geregelt werden, wenn das Ziel ausreichend entfernt liegt.

Die Simulation der Virtuellen Deichsel bei Vorwärts- und Rückwärtsfahrt ergab (siehe Anhang C) C zusätzliche Simulationsergebnisse), ergab eine Symmetrie zur Hinterradkonfiguration (x_p, y_p, θ). Die Symmetrie gilt für relative Entfernungen von der Hinterradposition mit dem Achswinkel (x_p, y_p, θ) zu allen relativen Positionen in allen 4 Quadranten (z. B.: (x_p, y_p, θ) = (10,10, 0), ziel1 = (9,9, -10 Grad), ziel2 = (9,11, -10 Grad), ziel3 = (11,11, 10 Grad), ziel4 = (11,9, 10 Grad)). Somit deckt eine Simulation diese 4 Fälle ab, in dem das Fahrzeug zum Ziel gerichtet ist (vgl. Abb. 25). Es muss lediglich unterschieden werden, ob das Fahrzeug zum Ziel gerichtet oder entgegengerichtet ist (25). Um diese Unterscheidung in einer Achse einzubringen, wurde der Achswinkel θ mit einem Vorzeichen erweitert, der nur eine Aussage über die Richtung zum Ziel liefert. Diese neue Achse wird $\Delta \theta$ bezeichnet. Wenn das Fahrzeug zum Ziel gerichtet ist, wird es auf der Achse $\Delta \theta$ als positiv dargestellt und eine entgegengerichtete Konfiguration als negativ dargestellt.

Die Verfahren zur Parameterbestimmung sind Suchverfahren, die in einem Intervall bzw. Raum Verstärkungsfaktoren suchen. Das ist notwendig, weil während der Fahrt die relative Konfiguration vom Hinterrad zum Ziel sich ändert.

Je nach Verwendungszweck werden hier drei verschiedene Verfahren vorgestellt, die beim Einparkassistenten Verwendung finden.

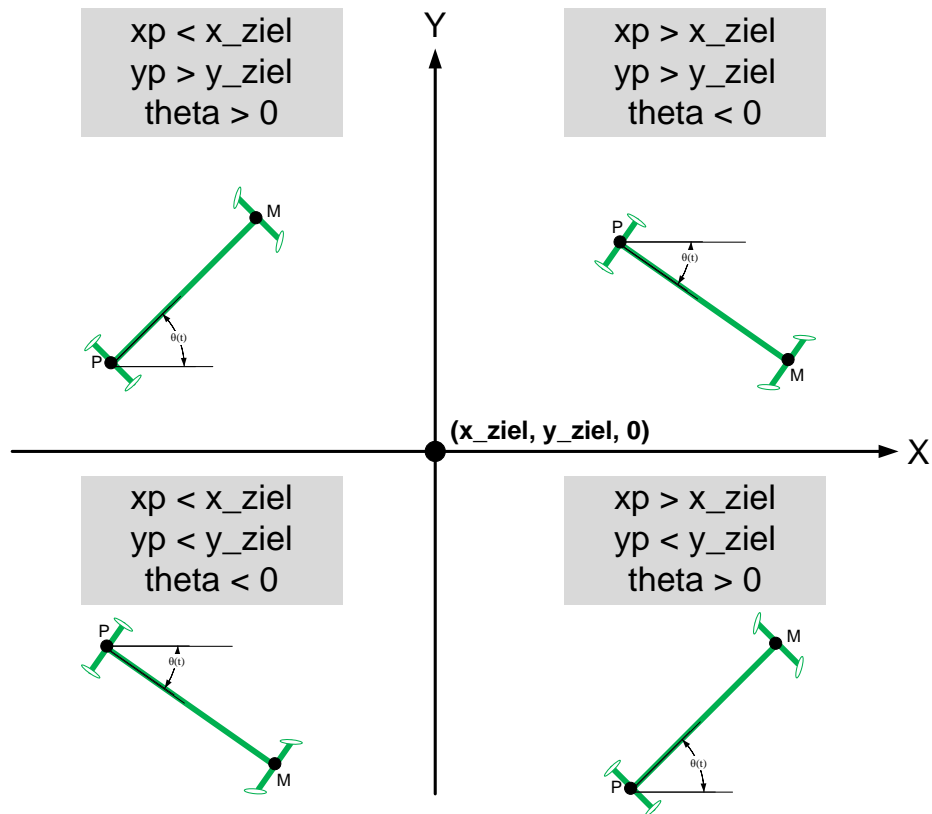


Abb. 25: Fahrzeugkonfigurationen mit denen die Fahrzeugkonfiguration (x_p, y_p, θ) zur Zielkonfiguration entgegengerichtet ist. Das Ziel ist in der Mitte $(0,0,0)$, es werden hier 4 Fälle gezeigt, in denen das Fahrzeug quer zum Ziel steht.

Die Richtung wird im folgendem als *direction* bezeichnet, positiv bedeutet eine Konfiguration zum Ziel geneigt und negativ eine Konfiguration wie in Abbildung 25 quer zum Ziel (vgl. Gl. 22).

$$\text{direction} = \begin{cases} -1, & \text{wenn } \begin{aligned} &(xp < x_{ziel} \wedge yp > y_{ziel} \wedge \theta \geq 0) \\ &\vee (xp < x_{ziel} \wedge yp < y_{ziel} \wedge \theta < 0) \\ &\vee (xp \geq x_{ziel} \wedge yp > y_{ziel} \wedge \theta < 0) \\ &\vee (xp \geq x_{ziel} \wedge yp < y_{ziel} \wedge \theta \geq 0) \end{aligned} \\ 1, & \text{wenn } \begin{aligned} &\neg[(xp < x_{ziel} \wedge yp > y_{ziel} \wedge \theta \geq 0) \\ &\vee (xp < x_{ziel} \wedge yp < y_{ziel} \wedge \theta < 0) \\ &\vee (xp \geq x_{ziel} \wedge yp > y_{ziel} \wedge \theta < 0) \\ &\vee (xp \geq x_{ziel} \wedge yp < y_{ziel} \wedge \theta \geq 0)] \end{aligned} \end{cases} \quad (22)$$

Suchverfahren VD_1): Bahnplanung zu einem Ziel, bei dem nur die Einhaltung des Zielachswinkels von Bedeutung ist.

Dieses Verfahren dient nur dazu, das Fahrzeug auf diesen Achswinkel hin auszurichten. Bekannt ist während der Fahrt die Startposition (x,y) und die Zielkonfiguration (x,y,θ) . Der Achswinkel am Ziel (θ) soll 0 Grad sein. Dazu wird ein Verstärkungsfaktor gesucht, der eine minimale Abweichung des Achswinkels am Ziel bewirkt.

Bei der Simulation ist nur der Achswinkel unbekannt. Damit während der Fahrt ein Verstärkungsfaktor gewählt werden kann, werden hier Intervalle von Achswinkeln verwendet. Jedes Intervall wird in ein Grad Schritten abgetastet und simuliert. Anschließend wird der Mittelwert

über die Abweichung der Abtastung gebildet. Der Betragsmäßig geringste Mittelwert in einem Intervall, ist der gesuchte Verstärkungsfaktor für dieses Intervall. Während der Fahrt muss das Fahrzeugsystem nur das Intervall kennen, in dem der momentane Achswinkel liegt und über eine Lookup-Tabelle den Verstärkungsfaktor wählen.

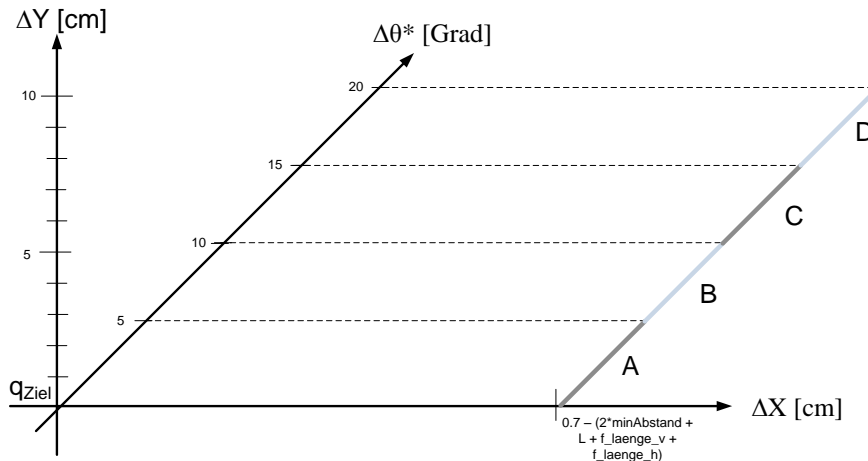


Abb. 26: Suchverfahren VD_1), Suchräume A - D, nur der Lenkwinkel verändert sich in der Simulation, Zielkonfiguration (0,0,0)

Die Suchräume des Achswinkels werden in jeweils 5 Grad Intervalle eingeteilt, die zwischen 0 bis 20 Grad liegen. Die Abtastung erfolgt in ein Grad Schritten (vgl. Abb. 26) Das Verfahren 1) findet Anwendung in der Einparkphase „Fahrzeug ausrichten“. Das Fahrzeug muss entweder bei Vorwärts- oder Rückwärtsfahrt den Achswinkel ausrichten. Aufgrund der Symmetrieeigenschaft der Virtuellen Deichsel deckt die Simulation das ab.

Suchverfahren VD_2): Bahnplanung zu einem Ziel mit einer vorgegebenen Y-Koordinate und Achswinkel am Ziel.

Das Fahrzeug soll eine vorgegebene Y-Koordinate in einem bestimmten Achswinkel erreichen. Die X-Entfernung ist nicht von Bedeutung und kann variabel sein.

Dieses Verfahren dient dazu, das Fahrzeug entlang einer Spur zu führen. An der Spur soll das Fahrzeug in einem Achswinkel von 0 Grad entlang fahren. Dazu wird ein Verstärkungsfaktor gesucht, der eine minimale Abweichung des Achswinkels und Y-Abweichung am Ziel bewirkt. Damit während der Fahrt ein Verstärkungsfaktor gewählt werden kann, werden hier Intervalle von Y- und Achswinkeldifferenzen zum Ziel gebildet. Zur Aufwandsminimierung wird hier nur zu zwei konstanten X-Entfernungen (50 und 100 cm) gesucht. Jedes Intervall wird in ein Grad oder 1 cm Schritten abgetastet und simuliert (siehe Abb. 27). Anschließend wird der Mittelwert über die Abweichung der Abtastung gebildet. Der Betragsmäßig geringste Mittelwert in einem Intervall, ist der gesuchte Verstärkungsfaktor für dieses Intervall.

Suchverfahren VD_3): Bahnplanung zu einem Ziel mit einer vorgegebenen Konfiguration (x,y,θ) am Ziel.

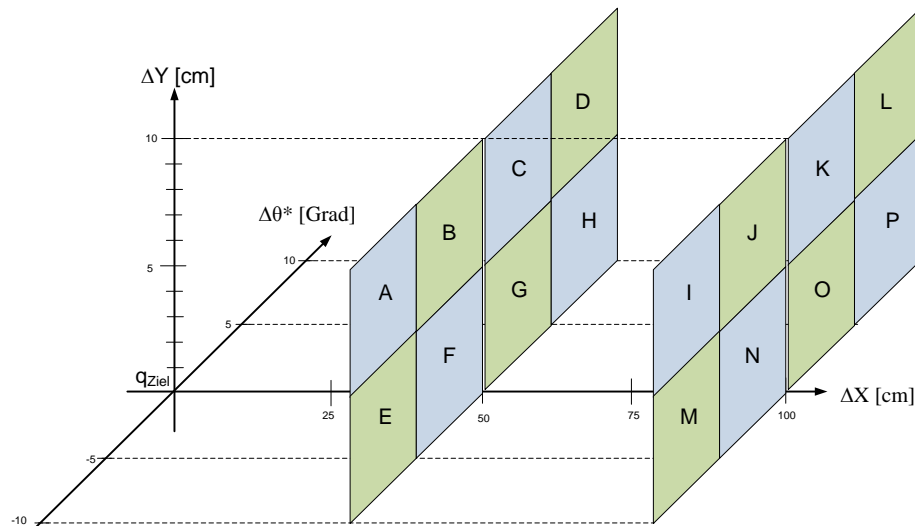


Abb. 27: Suchverfahren VD_2), Suchräume A - P, der Lenkwinkel und Y-Entfernung zum Ziel werden in der Simulation modifiziert, Zielkonfiguration (0,0,0)

Bei diesem Verfahren ist es wichtig, das Fahrzeug auf eine bestimmte Zielkonfiguration zu überführen. Bekannt ist nur der Zielachswinkel von 0 Grad. Gesucht ist der Verstärkungsfaktor der Überführung mit einer minimalen Abweichung erzielt.

Damit während der Fahrt ein Verstärkungsfaktor gewählt werden kann, werden hier Räume von X-, Y- und Achswinkeldifferenzen zum Ziel gebildet. Jedes Intervall wird in ein Grad oder 1 cm Schritten abgetastet und simuliert (siehe Abb. 28). Anschließend wird der Mittelwert über die Abweichung der Abtastung gebildet. Der betragsmäßig geringste Mittelwert in einem Intervall, ist der gesuchte Verstärkungsfaktor für dieses Intervall.

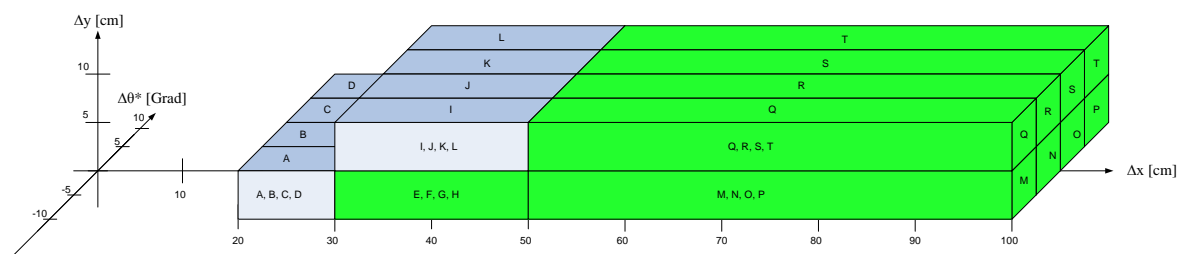


Abb. 28: Suchverfahren VD_3), Suchräume A - T, in der Simulation werden Lenkwinkel, X- und Y-Entfernung verändert, Zielkonfiguration (0,0,0)

Ein Suchraum wird durch ein dreidimensionalen Kasten repräsentiert (vgl. Abb. 28). Das Verfahren kann nur angewendet werden, wenn sich das Fahrzeug in einem Suchraum befindet. Eine größere X-Entfernungsdifferenz zum Ziel wird hier toleriert. Wenn sich das Fahrzeug nicht in einem der Suchräume befindet oder ein Suchraum zu große Simulationsabweichung besitzt, dann gibt es keinen Verstärkungsfaktor. Das Fahrzeug zurücksetzen und es in einer größeren Entfernung noch mal versuchen.

Kennwerte der Bahnplanung über die Virtuelle Deichsel:

- + geringer Aufwand zur Ermittlung der Bahnplanungsparameter mit den Verfahren VD_1, VD_2 und VD_3
- - nur im kollisionsfreien Raum sicher anwendbar, sonst muss ein hoher Sicherheitsabstand Kollisionsfreiheit gewährleisten

- - Simulation nur mit konstanter Geschwindigkeit, Geschwindigkeitsänderungen während der Fahrt verursachen neue Bahnen

5 Mathematischer Bahnplanungsentwurf der Einparkphasen

Zur Bahnplanung wird Das komplette Einparkmanöver wurde hier in 5 Einparkphasen eingeteilt (siehe Abb. 2), da sie unterschiedliche Anforderungen an die Bahnplanung haben. Die einzelnen Einparkphasen werden hier nacheinander in den Unterabschnitten erläutert.

Die Einparkphasen sind:

1. **Spurführung:** Der Fahrspur in einem Achswinkel von 0 Grad folgen.
2. **Positionierung:** Zum Einparken eine exakte Position erreichen, von der aus eingeparkt wird.
3. **Erster Einparkschritt:** Das erste Einparkmanöver in die Parklücke hinein.
4. **Weitere N-Einparkschritte:** Durch Vor- und Zurücksetzen in der Parklücke eine ausreichende Tiefe erreichen.
5. **Das Fahrzeug ausrichten:** Die Einparktiefe ist erreicht, nur der Achswinkel liegt nicht im Bereich von 0 ± 5 Grad.

Das Fahrzeug startet vor einer Startlinie und die Phase 1. Spurführung wird aktiv. In der Phase 1. verfolgt das Fahrzeug eine Virtuelle Spur. Über die Sensoren wird der rechte Fahrbahnrand nach geeignet großen Parklücken abgesucht. Wird eine Parklücke gefunden, so wird das Fahrzeug zunächst angehalten und Phase 3. geplant, indem der kürzeste Pfad aus der Parklücke berechnet wird. Zu der Startkonfiguration von Phase 3. wird das Fahrzeug über die Phase 2. dorthin positioniert. Die Positionierung wird wiederholt, falls die Abweichung zur Zielkonfiguration zu groß ist. Bei Erfolg wird der erste Einparkschritt ausgeführt. Wenn bereits nach Phase 3. eine ausreichende Tiefe der Parklücke erreicht ist und das Fahrzeug gerade steht, dann ist das Einparkmanöver beendet. Bei nicht ausreichender Tiefe wird in die Phase 4. übergegangen, bis die erforderliche Tiefe erreicht ist. Am Ende wird das Fahrzeug in Phase 5. noch ausgerichtet, falls der Achswinkel von 0 ± 5 Grad nicht eingehalten wird.

Die Einparkphasen Spurführung und erster Einparkschritt müssen miteinander verbunden werden. Dazu wird die Phase Positionierung verwendet. Ihre Dauer kann verkürzt werden, wenn die Y-Koordinate der Phase Spurführung mit der Y-Kooedinate des ersten Einparkschritts übereinstimmt. Es muss nur Vorwärts oder Rückwärts gefahren werden, um zur Startkonfiguration des ersten Einparkschritts zu gelangen.

Die Y-Startkoordinate der Phase Spurführung kann bei bekannten Maßen der Parklücke vorab berechnet werden. Die Startkoordinate liegt vor der Startlinie, die Y-Koordinate ist frei wählbar. Jedoch darf das Fahrzeug nur auf der rechten Fahrspur entlang fahren.

```

1 [Start_positionieren B Ziel] = phase_ersterEinparkschritt(
    hindernis_rechts, fahrspurmitte, finalC);
2 Start.x = 0;
3 Start.y = min(Start_positionieren.y, fahrspurmitte.y + 0.05); % 0.05 m

```

Die Auswahl der Y-Koordinate hängt davon ab, bei welcher Y-Koordinate die Startposition des späteren ersten Einparkschrittes sein wird. Sie ist von der Breite der Parklücke abhängig, diese Umgebungsinformationen der Parklücke sind vorab bekannt und kann deshalb berechnet werden. Die maximale Y-Koordinate liegt auf der Fahrspurmitte der rechten Fahrspur. In der Höhe ist noch ein Mindestabstand von 4.8 cm zur Straßenmitte vorhanden. Da die Fahrzeugbreite 20,2 cm und die Breite der Fahrspur 40 cm beträgt.

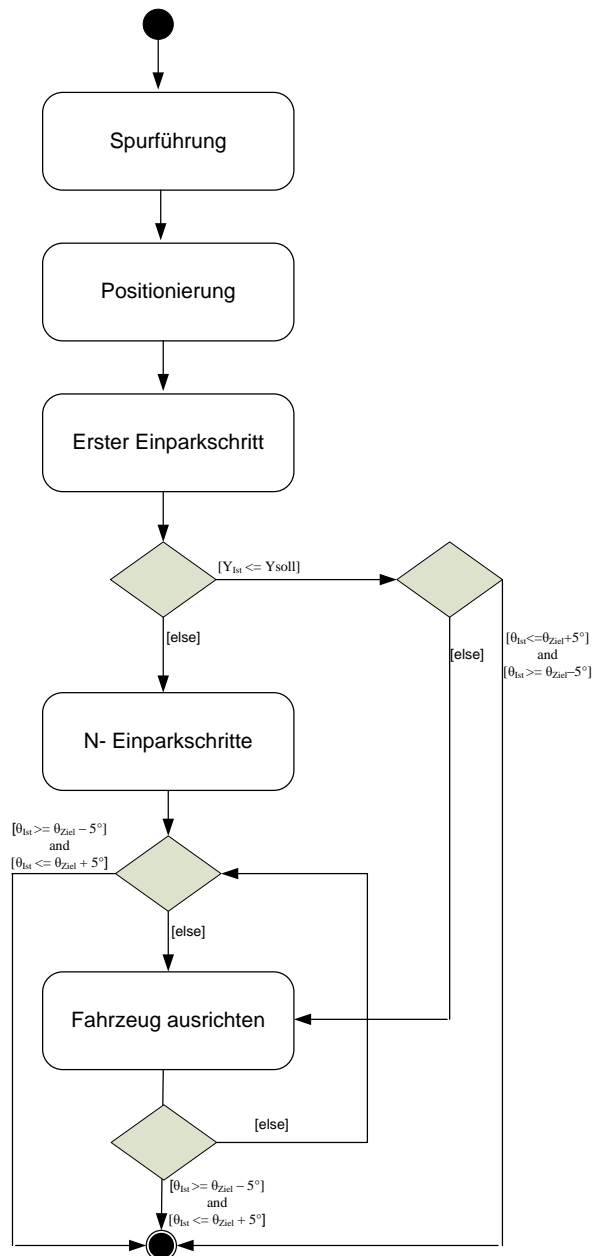


Abb. 29: UML-Diagramm der Strategieeinheit, die Steuerung der Einparkphasen vornimmt

Die Strategieeinheit wählt die Einparkphasen aus (siehe Abb. 29).

5.1 Spurführung

Das Ziel der Spurführung ist es, das Fahrzeug während der Parklückensuche entlang der Fahrspur zu führen. Das Konzept der Spurführung beruht auf der Lenkwinkelregelung der Virtuellen Deichsel. Genutzt wird das Bahnplanungsverfahren VD_2 (siehe Kapitel 4.3 und Abb. 27).

Zur Nutzung dieses Bahnplanungsverfahrens wurden Suchräume aufgestellt (vgl. Tabelle 4)

Δ Konfigurationsraum	Δx [cm]	Δy [cm]	$\Delta \theta^*$ [Grad]
A	50	(5,10]	(-10,-5]
B	50	(5,10]	(-5,0)
C	50	(5,10]	(0,5)
D	50	(5,10]	[5,10]
E	50	[0,5]	(-10,-5]
F	50	[0,5]	(-5,0)
G	50	[0,5]	(0,5)
H	50	[0,5]	[5,10]
I	100	(5,10]	(-10,-5]
J	100	(5,10]	(-5,0)
K	100	(5,10]	(0,5)
L	100	(5,10]	[5,10]
M	100	[0,5]	(-10,-5]
N	100	[0,5]	(-5,0)
O	100	[0,5]	(0,5)
P	100	[0,5]	[5,10]

Tabelle 4: Suchräume in der Phase Spurführung, mit dem Verfahren VD_2, abgetastet in 1 cm und 1 Grad Schritten

Simulationsergebnis		Kennwerte des Verstärkungsfaktors						
Delta Konfigurationsraum	Resultierender Verstärkungsfaktor	\emptyset Abweichung in Y-Richtung [yp - y_ziel] [m]	\emptyset Abweichung des Achswinkels [theta_ist - theta_ziel] [Grad]	Anzahl der Abweichungen in Y-Richtung ≥ 0.05 m	Anzahl der Abweichungen des Achswinkels > 5 Grad	maximale Abweichung in Y-Richtung [m]	maximale Abweichung des Achswinkels [Grad]	Anzahl an Simulationsiterationen
A	2	0.01081	17.72783	0	25	0.01473	30.90273	25
B	3	0.02611	9.71275	0	16	0.03256	18.81369	20
C	3	0.02556	4.24664	0	8	0.03385	10.65681	20
D	3	0.02426	2.62087	0	2	0.03380	6.33497	25
E	4	0.01347	2.40738	0	5	0.02536	11.23357	30
F	3	0.00777	1.06918	0	0	0.01652	3.20773	24
G	2	0.00437	1.90864	0	0	0.00894	4.56409	24
H	1	0.00605	3.79899	0	10	0.01293	8.81748	30
I	5	0.01060	3.47288	0	6	0.01392	14.33133	25
J	5	0.00877	1.43716	0	0	0.01322	2.95171	20
K	4	0.00607	1.01642	0	0	0.00802	2.59935	20
L	4	0.00550	1.24795	0	0	0.00760	3.22131	25
M	5	0.00395	0.92413	0	0	0.00733	1.95219	30
N	4	0.00222	0.79966	0	0	0.00437	1.88416	24
O	4	0.00158	1.36507	0	0	0.00363	2.39161	24
P	2	0.00139	1.48594	0	0	0.00368	3.69388	30

Abb. 30: Auswertung zur Ermittlung geeigneter Verstärkungsfaktors in der Phase Spurführung, Grün gekennzeichnet sind die Suchräume mit geringster Abweichung

Während der Fahrt muss die X-Entfernung ausgewählt werden. Aus den Simulationsergebnissen (vgl. Abb. 30) geht hervor, dass bei einer Entfernung von 100 cm (Suchräume I bis P) die Abweichung vom Achswinkel und in Y-Richtung insgesamt geringer ist. Lediglich die Suchräume F und G haben eine maximale Abweichung von 5 Grad des Achswinkels und werden deshalb verwendet.

Die Einteilung in einen der Suchräume erfolgt nur über die Achswinkel- und Y-Abweichung. Hier werden die Suchräume F und G den Suchräumen N und O vorgezogen. Es können nicht beide verwendet werden, weil sie in den gleichen Y- und Achswinkelintervalle liegen.

$$\begin{pmatrix} x_{Ziel} \\ y_{Ziel} \end{pmatrix} = \begin{pmatrix} \begin{cases} x_p + 50, & \text{wenn } q \in \text{Suchraum}_F \cup \text{Suchraum}_G \\ x_p + 100, & \text{wenn } q \notin \text{Suchraum}_F \cup \text{Suchraum}_G \end{cases} \\ y_{Spur} \end{pmatrix} \quad (23)$$

Der Verstärkungsfaktor hängt von dem Suchraum ab, in dem sich das Fahrzeug mit einer Konfiguration q während der Fahrt befindet. Falls die Fahrzeugkonfiguration sich nicht in einem der Suchräume befindet, dann muss dennoch ein Ziel und ein Verstärkungsfaktor ausgewählt werden. Deshalb wird ein Standard-Verstärkungsfaktor von 1 und eine X-Entfernung zum Ziel von 100 cm verwendet.

$$\text{verst} = \begin{cases} 1, & \text{wenn } q \notin \text{Suchraum}_P \cup \text{Suchraum}_G \cup \text{Suchraum}_F \cup \text{Suchraum}_K \\ & \cup \text{Suchraum}_L \cup \text{Suchraum}_I \cup \text{Suchraum}_J \cup \text{Suchraum}_M \\ 2, & \text{wenn } q \in \text{Suchraum}_P \cup \text{Suchraum}_G \\ 3, & \text{wenn } q \in \text{Suchraum}_F \\ 4, & \text{wenn } q \in \text{Suchraum}_K \cup \text{Suchraum}_L \\ 5, & \text{wenn } q \in \text{Suchraum}_I \cup \text{Suchraum}_J \cup \text{Suchraum}_M \end{cases} \quad (24)$$

Die Simulation der Einparkphase Spurführung ergab folgendes (siehe Abb. 31):

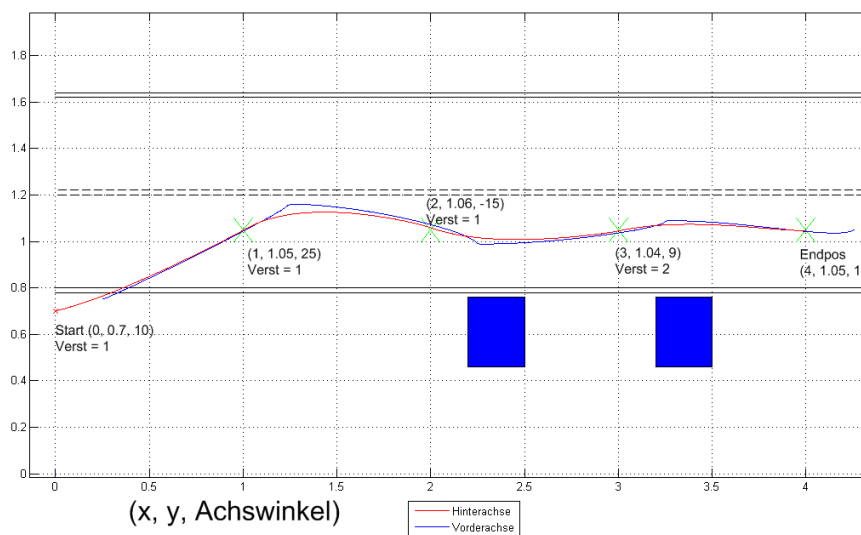


Abb. 31: Simulationsergebnis der Einparkphase Spurführung, mit Angabe der Positionen (x,y,θ) zwischen Start (x,y,θ) und Endposition (x,y,θ)

Bei einer Startkonfiguration mit großem Abstand zur Fahrspurmitte ergibt nach 4 Metern eine Parallelfahrt zum Fahrbahnrand.

5.2 Positionierung

Zur Positionierung soll das Ziel in einer Konfiguration mit einer geringen Achswinkelabweichung von ± 5 Grad erreichen. Eine Abweichung in X- und Y-Richtung von 5 cm wird toleriert. Um diese Vorgaben zu erreichen, wird geprüft ob das Ziel mit einem Verstärkungsfaktor

zu erreichen ist. Für diese Einparkphase wird das Verfahren VD_3 verwendet ((siehe Kapitel 4.3 und Abb. 28)) . Die Konfigurationen C die das Fahrzeug haben kann werden in mehrere Suchräume eingeteilt.

Δ Konfigurationsraum	$\Delta x[cm]$	$\Delta y[cm]$	$\Delta\theta^*[Grad]$
A	[20,30)	(0,5]	(-10,-5]
B	[20,30)	(0,5]	(-5,0)
C	[20,30)	(0,5]	(0,5)
D	[20,30)	(0,5]	[5,10)
E	[30,50)	(0,5]	(-10,-5]
F	[30,50)	(0,5]	(-5,0)
G	[30,50)	(0,5]	(0,5)
H	[30,50)	(0,5]	[5,10)
I	[30,50)	(5,10]	(-10,-5]
J	[30,50)	(5,10]	(-5,0)
K	[30,50)	(5,10]	(0,5)
L	[30,50)	(5,10]	[5,10)
M	[50,100)	(0,5]	(-10,-5]
N	[50,100)	(0,5]	(-5,0)
O	[50,100)	(0,5]	(0,5)
P	[50,100)	(0,5]	[5,10)
Q	[50,100)	(5,10]	(-10,-5]
R	[50,100)	(5,10]	(-5,0)
S	[50,100)	(5,10]	(0,5)
T	[50,100)	(5,10]	[5,10)

Tabelle 5: Suchräume in der Phase Positionierung, mit dem Verfahren VD_3, abgetastet in 1 cm und 1 Grad Schritten

Die Suchräume werden in X- und Y-Richtung in 1 cm Schritten und der Achswinkel in 1 Grad Schritten abgetastet und simuliert.

Befindet sich das Fahrzeug innerhalb der Y- und Achswinkelintervalle der Suchräume Q bis P, dann wird die Fahrzeugkonfiguration q den Suchräume Q bis P zugeordnet. Denn alle Simulationsergebnisse ergaben, dass bei zunehmender X-Entfernung zum Ziel, die Abweichungen geringer werden.

Simulationsergebnis		Kennwerte des Verstärkungsfaktors						
Konfigurationsraum	Resultierender Verstärkungsfaktor	Ø Abweichung in Y-Richtung [yp - y_ziel] [m]	Ø Abweichung des Achswinkels [theta_ist - theta_ziel] [Grad]	Anzahl der Abweichungen in Y-Richtung > 0,05 m	Anzahl der Abweichungen des Achswinkels > 5 Grad	maximale Abweichung in Y-Richtung [m]	maximale Abweichung Achswinkels [Grad]	Anzahl an Simulationsiterationen
A	1	0.02989	8.80521	7	211	0.05608	14.43588	225
B	1	0.01950	9.82710	0	164	0.03900	14.88869	180
C	1	0.00971	9.19442	0	141	0.02646	15.34532	180
D	1	0.00611	7.36873	0	134	0.01789	15.95202	225
E	4	0.01178	10.08694	0	332	0.03754	23.68400	475
F	4	0.01142	5.26685	0	129	0.02344	22.02378	380
G	3	0.00853	3.39405	0	76	0.01677	14.94998	380
H	1	0.00522	4.03690	0	148	0.01356	12.99511	475
I	1	0.03892	20.38772	85	475	0.08754	25.60336	475
J	2	0.01378	20.22694	6	380	0.06064	31.10540	380
K	2	0.01099	15.71582	0	374	0.03251	30.67436	380
L	2	0.01381	11.28985	0	402	0.02012	31.18199	475
M	2	0.00624	3.04592	0	271	0.01083	12.77615	1225
N	2	0.00470	1.85745	0	33	0.00920	8.21776	980
O	2	0.00308	2.34924	0	0	0.00894	4.31500	980
P	1	0.00380	2.78949	0	175	0.01125	7.35619	1225
Q	2	0.01357	5.48756	0	478	0.02019	30.90273	1225
R	2	0.01209	3.94127	0	243	0.01870	17.39796	980
S	2	0.01029	3.50072	0	182	0.01856	11.48044	980
T	2	0.00869	4.22075	0	563	0.01974	8.36314	1225

Abb. 32: Auswertung der Ermittlung des geeignetsten Verstärkungsfaktors

Das Ergebnis ist (vgl. Abb. 32), dass die Suchräume G, H und M bis T eine durchschnittliche Abweichung des Achswinkels unter 5 Grad haben. Eine maximale Abweichung über 5 Grad ist in den Räumen enthalten, wird allerdings zunächst nicht berücksichtigt. Denn nach der Ausführung der Einparkphase Positionierung, wird bei einer Abweichung des Achswinkels von mehr als 5 Grad die Positionierung wiederholt.

$$\text{verst} = \begin{cases} 1, & \text{wenn } q \notin \text{Suchraum}_M \cup \text{Suchraum}_N \cup \text{Suchraum}_O \cup \text{Suchraum}_Q \\ & \cup \text{Suchraum}_R \cup \text{Suchraum}_S \cup \text{Suchraum}_T \cup \text{Suchraum}_G \\ 2, & \text{wenn } q \in \text{Suchraum}_M \cup \text{Suchraum}_N \cup \text{Suchraum}_O \cup \text{Suchraum}_Q \\ & \cup \text{Suchraum}_R \cup \text{Suchraum}_S \cup \text{Suchraum}_T \\ 3, & \text{wenn } q \in \text{Suchraum}_G \end{cases} \quad (25)$$

Die Zielposition ist die Startposition des ersten Einparkeschrtes.

$$\begin{pmatrix} x_{Ziel} \\ y_{Ziel} \end{pmatrix} = \begin{cases} x_{Ziel}, & \text{wenn } q \in \text{Suchraum}_M \cup \text{Suchraum}_N \cup \text{Suchraum}_O \\ & \cup \text{Suchraum}_Q \cup \text{Suchraum}_R \cup \text{Suchraum}_S \\ & \cup \text{Suchraum}_T \cup \text{Suchraum}_G \\ xp + 100cm, & \text{wenn } (q \notin \text{Suchraum}_M \cup \text{Suchraum}_N \cup \text{Suchraum}_O \\ & \cup \text{Suchraum}_Q \cup \text{Suchraum}_R \cup \text{Suchraum}_S \\ & \cup \text{Suchraum}_T \cup \text{Suchraum}_G) \\ & \wedge xp > x_{Start_1\text{Einparkschritt}} \\ xp - 100cm, & \text{wenn } (q \notin \text{Suchraum}_M \cup \text{Suchraum}_N \cup \text{Suchraum}_O \\ & \cup \text{Suchraum}_Q \cup \text{Suchraum}_R \cup \text{Suchraum}_S \\ & \cup \text{Suchraum}_T \cup \text{Suchraum}_G) \\ & \wedge xp < x_{Start_1\text{Einparkschritt}} \end{cases} \quad (26)$$

$y_{Start_positionieren}$

Und wenn sich die Fahrzeugkonfiguration q nicht innerhalb der Suchräume befindet, so wird das Fahrzeug in die entgegengesetzte Richtung fahren, damit beim nächsten Anlauf eine Positionierung erfolgreicher verlaufen kann. Dazu muss das Fahrzeug eine neue Zielposition und einen neuen Verstärkungsfaktor wählen. Das Verfahren VD_2 und deren Simulationsergebnisse werden verwendet. Nur die neue X-Position liegt in der entgegengesetzten Richtung zum Ziel.

Die Simulation der Einparkphase Positionierung ergab folgendes Ergebnis (siehe Abb. 33):

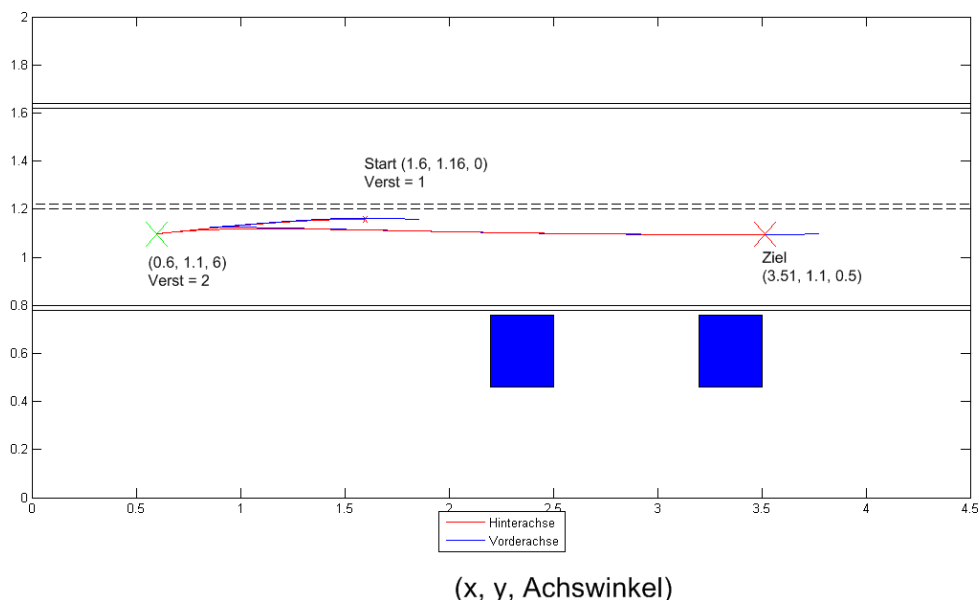


Abb. 33: Simulationsergebnis der Einparkphase Positionierung, mit Angabe der Positionen (x,y,θ) zwischen Start (x,y,θ) und Endposition (x,y,θ) und dem Verstärkungsfaktor zu Beginn einer Bahn

In einem Richtungswechsel wird die Zielkonfiguration erreicht.

5.3 Erster Einparkschritt

Der erste Einparkschritt wird realisiert, indem zu einer Zielposition innerhalb der Parklücke mit einem Achswinkel von 0 Grad gefahren wird. Zur Konstruktion der Kreisbahn Ω_1 aus der Parklücke heraus, gibt es zwei Szenarien:

1. Die Parklücke ist ausreichend breit, der Kreis Ω_1 hat einen Berührungspunkt mit der Zielposition in der Parklücke $final_C$.
2. Die Parklücke ist nicht ausreichend lang, der Kreis Ω_1 hat im äußeren Kollisionsradius r_{KA} einen Berührungspunkt mit dem rechten Hindernis (x_{hR}, y_{hR}) und einen Berührungspunkt in einer Zielkonfiguration $Ziel$ in einem Geraden Achswinkel.

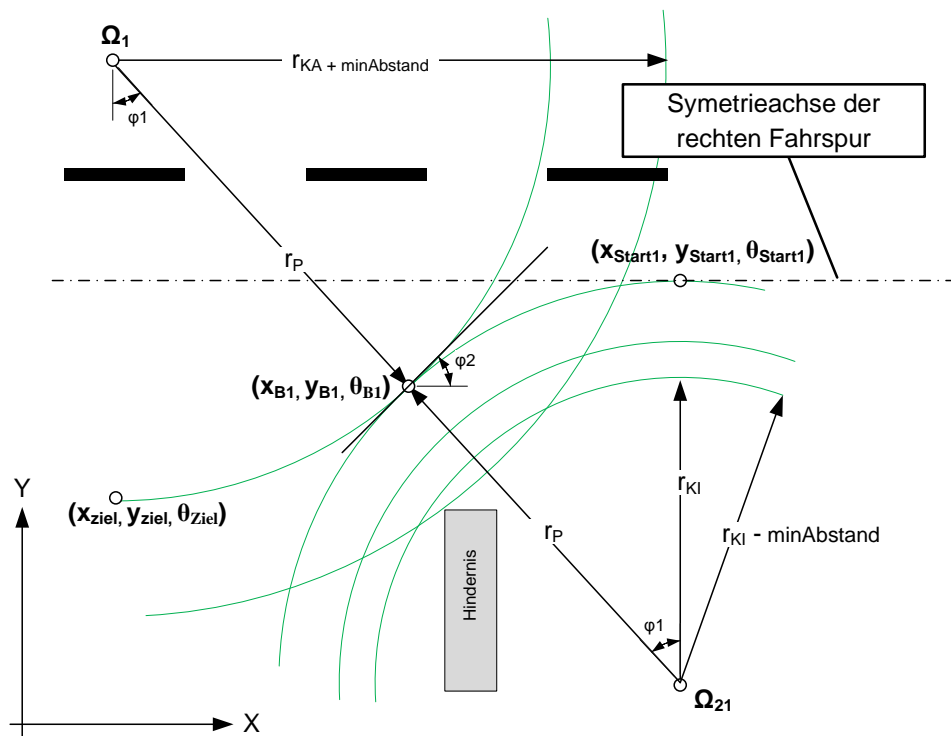


Abb. 34: Szenario 1: Kreisbahn mit Berührungspunkt mit der Fahrspurmitte und keine Kollision des äußeren Kollisionsradius mit dem Hindernis

Die finale Zielkonfiguration $final_C$ wird vorab berechnet, sie gibt Auskunft an die Entscheidungseinheit, ob noch weitere Einparkschritte durchgeführt werden müssen.

$$final_C = \begin{pmatrix} x_{final_C} \\ y_{final_C} \end{pmatrix} = \begin{pmatrix} y_{hL} + abst_hindernis_zu_linie - f_breite/2 - toleranz \\ x_{hL} + f_laenge_h + minAbstand; \end{pmatrix} \quad (27)$$

Die finale Zielkonfiguration berechnet sich zum Abstand des linken Hindernis (x_{hL}, y_{hL}) . Die Toleranz ist ein Erfahrungswert, in der Arbeit hat die Toleranz einen Wert von 5 cm.

$$r^2 = (x - x_\Omega)^2 + (y - y_\Omega)^2 \quad (28)$$

$$y = y_\Omega + r \cdot \sin(\varphi) \quad (29)$$

$$x = x_\Omega + r \cdot \cos(\varphi) \quad (30)$$

Der kürzeste Weg, der von einem Hindernis blockiert wird, hat einen minimalen Abstand zum Hindernis. In die Koordinatengleichung eingesetzt (siehe Abb. 34): $x_\Omega = x_{final_C}$, $r = r_{KA} +$

minAbstand, für x und y die Koordinate des rechten Hindernisses (x_{hR}, y_{hR}) $x = x_{hR}$ und $y = y_{hR}$ ergibt folgende Mittelpunktkoordinate des Mittelpunktes Ω_1 :

$$\Omega_1 = \begin{pmatrix} x_{\Omega_1} \\ y_{\Omega_1} \end{pmatrix} = \begin{pmatrix} x_{finalC} \\ \begin{cases} y_{finalC} + r_P, & \text{wenn } \sqrt{(x_{hR} - x_{\Omega_1})^2 + ((y_{finalC} + r_P) - y_{hR})^2} \geq (r_{KA} + \text{minAbstand}) \\ y_{hR} + \sqrt{(r_{KA} + \text{minAbstand})^2 - (x_{hR} - x_{finalC})^2}, & \text{wenn } \sqrt{(x_{hR} - x_{\Omega_1})^2 + ((y_{ziel} + r_P) - y_{hR})^2} < (r_{KA} + \text{minAbstand}) \end{cases} \end{pmatrix} \quad (31)$$

Das Fahrzeug kann in einem Einparkschritt die finale Zielposition erreichen, wenn Bedingung 1 erfüllt wird. Der Kreismittelpunkt liegt in einem Abstand von r_P über der Zielkonfiguration. Im zweiten Fall liegt der Kreismittelpunkt Ω_1 (vgl. Gl. 31) in einem minimalen Abstand zum rechten Hindernis. Damit ist eine maximale Einparktiefe gewährleistet.

Der zweite Kreis Ω_2 zur Fahrspur hat mehr Spielraum, es gibt eine optimale Kreisbahn Ω_{21} , die die Fahrspur in einem Achswinkel von 0° berührt und eine Kreisbahn Ω_{22} mit kurzem Abstand zum Hindernis. Der optimale Kreis kann eine Kollision verursachen, wenn dessen Berührungspunkt vor dem Berührungspunkt der kurzen Kreisbahnen liegt. Dazu werden beide Berührungspunkte berechnet und falls der Berührungspunkt von Ω_{21} vor dem von Ω_{22} liegt, wird die optimale Kreisbahn Ω_{21} benutzt, sonst die kurze und sicher kollisionsfreie Kreisbahn Ω_{22} .

Szenario 1: Ausreichend große Parklücke. Die zweite Kreisbahn Ω_{21} (vgl. Gl. 32) kann nur konstruiert werden, wenn sie kollisionsfrei ist. Dazu wird im ersten Schritt die optimale Kreisbahn Ω_{21} berechnet und im zweiten Schritt die minimale Kreisbahn Ω_{22} . Wenn die optimale Kreisbahn weiter vom Hindernis entfernt liegt, dann wird die optimale Kreisbahn genommen. Die zweite Kreisbahn hat einen Berührungspunkt mit der Kreisbahn Ω_1 und einen Berührungspunkt mit der rechten Fahrspurmitte in einem Winkel von 0 Grad.

$$\Omega_{21} = \begin{pmatrix} x_{\Omega_{21}} \\ y_{\Omega_{21}} \end{pmatrix} = \begin{pmatrix} x_{\Omega_1} + \sqrt{(2 \cdot r_P)^2 - (y_{\Omega_1} - (y_{spurmitte} - r_P))^2} \\ y_{spurmitte} - r_P \end{pmatrix} \quad (32)$$

Der Berührungspunkt liegt auf der Hälfte der Strecke zwischen der Start- und Zielkonfiguration, die einen Achswinkel von 0° besitzen. Die Winkel φ (vgl. Gl. 33), die das Fahrzeug zum Berührungspunkt fahren muss, sind somit gleich groß.

$$\varphi_1 = \arctan \left(\frac{x_{\Omega_{21}} - x_{\Omega_1}}{y_{\Omega_1} - y_{\Omega_{21}}} \right) \quad (33)$$

Der Berührungspunkt berechnet sich über die Parameterform des Kreises (vgl. Gl. 30):

$$B_1 = \begin{pmatrix} x_{B_1} \\ y_{B_1} \\ \theta_{B_1} \end{pmatrix} = \begin{pmatrix} x_{\Omega_1} + r_p \cdot \sin(\varphi_1) \\ y_{\Omega_1} - r_p \cdot \cos(\varphi_1) \\ \varphi_1 \end{pmatrix} \quad (34)$$

Und die Startkonfiguration $start_1$ (vgl. Gl. 35) die das Fahrzeug in der Positionierungsphase erreichen muss und die Konfiguration, ab der der erste Einparkschritt startet.

$$Start_1 = \begin{pmatrix} x_{Start_1} \\ y_{Start_1} \\ \theta_{Start_1} \end{pmatrix} = \begin{pmatrix} x_{\Omega_{21}} \\ y_{\Omega_{21}} + r_p \\ 0 \end{pmatrix} \quad (35)$$

Die Simulation der Einparkphase erster Einparkschritt ergab für Szenario 1 folgendes Ergebnis (siehe Abb. 35):

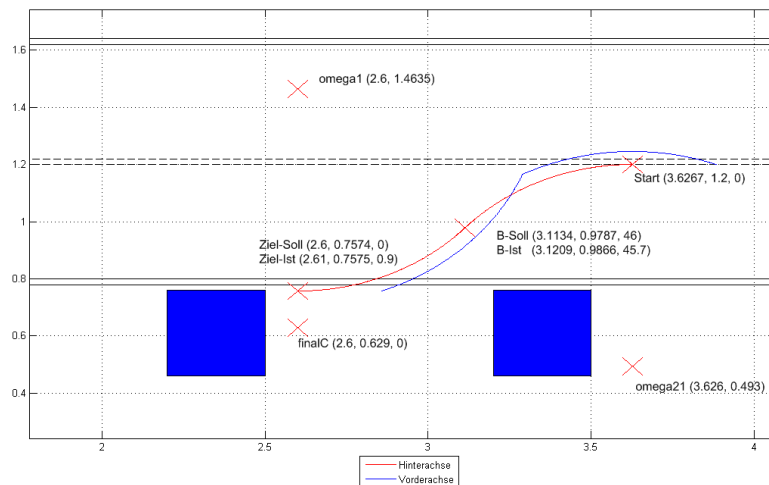


Abb. 35: Simulationsergebnis der Einparkphase erster Einparkschritt, mit Angabe der Berührungskonfiguration (x,y,θ) zwischen Start (x,y,θ) und Ziel (x,y,θ) und den Mittelpunkten der Kreisbahnen ω_1 und ω_2

Die Zielposition kann in Y-Richtung nicht erreicht werden (vgl. Abb. 35). Deshalb wird das Ziel aus der Parklücke verschoben. Die Achswinkelabweichung am Ziel beträgt 0,9 Grad.

Szenario 2: In die Parklücke kann nicht in einem Einparkschritt eingeparkt werden.

Der Kreis Ω_{22} (siehe Abb. 36) mit dem minimalem Abstand zum Hindernis wird mit einem Berührungspunkt, des Kreises aus der Parklücke, mit definierten Mindestabstand konstruiert:

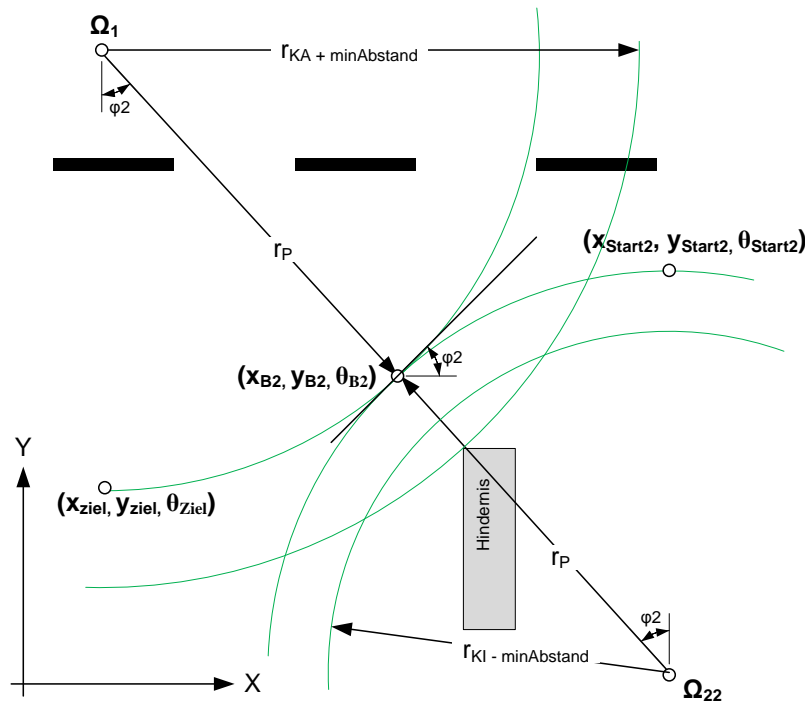


Abb. 36: sicher kollisionsfreie Kreisbahn zur Fahrspur mit minimalem Abstand zum Hindernis

Der erste Kreis Ω_1 (siehe Gl. 31) ist sicher kollisionsfrei, wenn die Kreisbahn in Höhe des Hindernisses beginnt. Der zweite Kreis Ω_{22} ist auch kollisionsfrei, weil die Differenz von dem äußeren Kollisionsradius zum Hinterradradius größer ist, als die Differenz von dem inneren Kollisionsradius zum Hinterradradius. Die Kreisbahn Ω_{22} endet somit in Höhe des minimalen Abstandes vom Kreis Ω_1 zum Hindernis.

Der Winkel φ_2 wird über dem neuen Kreismittelpunkt Ω_{22} berechnet:

$$\varphi_2 = \arctan\left(\frac{x_{hR} - x_{\Omega_1}}{y_{\Omega_1} - y_{hR}}\right) \quad (36)$$

φ_2 ist der Winkel vom Kreismittelpunkt Ω_1 zum Hindernis (x_{hR}, y_{hR}) .

Der Kreismittelpunkt Ω_{22} liegt in einer Entfernung von 2 mal Wenderadius zu dem Kreis Ω_1 .

$$\Omega_{22} = \begin{pmatrix} x_{\Omega_{22}} \\ y_{\Omega_{22}} \end{pmatrix} = \begin{pmatrix} x_{\Omega_1} + \sin(\varphi_2) \cdot 2 \cdot r_P \\ y_{\Omega_1} - \cos(\varphi_2) \cdot 2 \cdot r_P \end{pmatrix} \quad (37)$$

Und die neue Berührungskoordinate liegt im gleichen Winkel φ_2 :

Die Startkonfiguration $start_2$ mit der das Fahrzeug diese Phase erster Einparkschritt beginnt:

$$B_2 = \begin{pmatrix} x_{B_2} \\ y_{B_2} \\ \theta_{B_2} \end{pmatrix} = \begin{pmatrix} x_{\Omega_1} + r_p \cdot \sin(\varphi_2) \\ y_{\Omega_1} - r_p \cdot \cos(\varphi_2) \\ \varphi_2 \end{pmatrix} \quad (38)$$

$$Start_2 = \begin{pmatrix} x_{Start_2} \\ y_{Start_2} \\ \theta_{Start_2} \end{pmatrix} = \begin{pmatrix} x_{\Omega_{22}} \\ y_{\Omega_{22}} + r_p \\ 0 \end{pmatrix} \quad (39)$$

Die Kreisbahn Ω_{21} kann nur verwendet werden, wenn sie vor dem Berührungspunkt der minimalen Kreisbahn Ω_{22} endet. Bzw. wenn der Berührungspunkt der Kreisbahn B_1 weiter außerhalb der Parklücke liegt:

$$\begin{pmatrix} Start \\ B \\ \varphi \end{pmatrix} = \begin{cases} \begin{pmatrix} Start_1 \\ B_1 \\ \varphi_1 \end{pmatrix}, & \text{wenn } y_{B_1} \geq y_{B_2} \\ \begin{pmatrix} Start_2 \\ B_2 \\ \varphi_2 \end{pmatrix}, & \text{wenn } y_{B_1} < y_{B_2} \end{cases} \quad (40)$$

Die Simulation der Einparkphase erster Einparkschritt ergab für Szenario 2 folgendes Ergebnis (siehe Abb. 37):

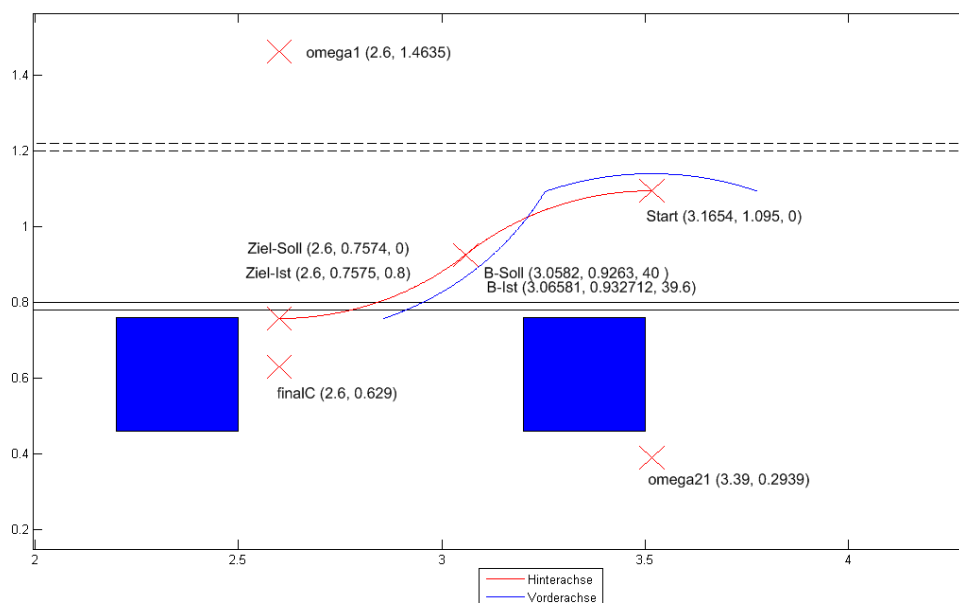


Abb. 37: Simulationsergebnis der Einparkphase erster Einparkschritt, mit Angabe des Berührungskonfiguration (x,y,θ) zwischen Start (x,y,θ) und Ziel (x,y,θ) und den Mittelpunkten der Kreisbahnen ω_1 und ω_2

Die Zielposition kann erneut nicht in Y-Richtung erreicht werden. Deshalb wird das Ziel aus der Parklücke verschoben. Die Achswinkelabweichung am Ziel beträgt 0,6 Grad.

Die Zielkonfiguration *Ziel* die das Fahrzeug in dem Einparkschritt erreichen wird ist:

$$\text{Ziel} = \begin{pmatrix} x_{\text{Ziel}} \\ y_{\text{Ziel}} \\ \theta_{\text{Ziel}} \end{pmatrix} = \begin{pmatrix} x_{\text{finalC}} \\ y_{\Omega_1} - rp \\ 0 \end{pmatrix} \quad (41)$$

Da der Achswinkel an der Startposition und an der Zielposition 0 Grad beträgt, wird der Weg über die Bogenlänge des Winkels ϕ_1 berechnet (siehe Abb. 36 und 34 und Gl. 42).

$$\begin{pmatrix} s_{\Omega_1} \\ s_{\Omega_2} \end{pmatrix} = \begin{pmatrix} rp \cdot \phi_1 \\ rp \cdot \phi_1 \end{pmatrix} \quad (42)$$

5.4 N-Einparksschritte

In der Einparkphase „N-Einparksschritte“ wird das Fahrzeug mit maximalem Lenkwinkel vor- und zurücksetzen, um so eine maximale Tiefe pro Einparkschritt zu erzielen. Im Idealfall startet das Fahrzeug aus einer Startkonfiguration mit einem Achswinkel parallel zur Parklücke und wird die Zielkonfiguration auch parallel erreichen. Die Bahn besteht aus zwei entgegengerichteten Kreisbahnen. Es gibt jedoch Ausnahmesituation in der nur eine Kreisbahn fahrbar ist, um eine maximale Tiefe und geraden Achswinkel zu erreichen.

Zur Bestimmung der Einparksschrittrichtung (0 = Rückwärts, von Rechts nach Links und 1 = Vorwärts, von Links nach Rechts) wird die Lage des Fahrzeugs in der Parklücke ermittelt. Wenn der Fahrzeugmittelpunkt größer oder gleich dem Parklückenmittelpunkt ist (Richtung = 0), dann wird das Fahrzeug von Rechts nach Links rückwärts fahren. Ansonsten (Richtung = 1) wird der Einparkschritt von Links nach Rechts berechnet.

$$Richtung = \begin{cases} 0, & \text{wenn } xp + L/2 \geq (x_{hR} - (x_{hR} - x_{hL})/2) \\ 1, & \text{wenn } xp + L/2 < (x_{hR} - (x_{hR} - x_{hL})/2) \end{cases} \quad (43)$$

Je Einparkrichtung gibt es je drei verschiedene Arten von Bahnen: Linkskurve, Rechtskurve und Links/Rechtskurve. Insgesamt sind es 6 unterschiedliche Szenarien, die differenziert betrachtet werden müssen.

- **Szenario 1)** Vorwärtsfahrt, Weg zum Ziel besteht aus 2 Kreisbahnen
- **Szenario 2)** Vorwärtsfahrt, Weg zum Ziel besteht aus einer Links-Kurve
- **Szenario 3)** Vorwärtsfahrt, Weg zum Ziel besteht aus einer Rechts-Kurve
- **Szenario 4)** Rückwärtsfahrt, Weg zum Ziel besteht aus 2 Kreisbahnen
- **Szenario 5)** Rückwärtsfahrt, Weg zum Ziel besteht aus einer Rechts-Kurve
- **Szenario 6)** Rückwärtsfahrt, Weg zum Ziel besteht aus einer Links-Kurve

Die Startkoordinate ist immer die aktuelle Position des Hinterrades x_p und y_p .

$$\begin{pmatrix} x_{start} \\ y_{start} \end{pmatrix} = \begin{pmatrix} x_p \\ y_p \end{pmatrix} \quad (44)$$

Der erste Kreis von der Startkonfiguration wird je nach dem Vorzeichen des Achswinkels unterschiedlich berechnet, sie wird über die Dreiecke in den Abbildungen vom Szenario 1) und 4) konstruiert.

$$\begin{pmatrix} x_{\Omega_1} \\ y_{\Omega_1} \end{pmatrix} = \begin{pmatrix} x_{start} + \sin(\theta) \cdot rp \\ y_{start} - \cos(-\theta) \cdot rp \end{pmatrix} \quad (45)$$

Die Herleitung vom Kreis Ω_1 kann in Abbildung von Szenario 1) und 3) nachgesehen werden.

Zur Simulation wird der Weg zum Berührungspunkt abgefahren. Der Winkel in [Rad] ist definiert als: $winkel = Weg / Radius$.

Szenario 1) und 4) treten nur ein, wenn die anderen Fälle ausgeschlossen werden können. Die Herleitung der Fallunterscheidung für Szenario 1) ist in der Szenario 2) und 3) erklärt und für Szenario 4) in Szenario 5) und 6). Eine detaillierte Beschreibung der Szenarios wird in folgenden Unterabschnitten beschrieben.

$$\text{Szenario} = \left\{ \begin{array}{l}
1, \text{ wenn } \textit{richtung} == 1 \\
\quad \wedge (x_{\Omega_1} \geq x_{hR} - \textit{minAbstand} - L - \textit{f_laenge_v}) \\
\quad \wedge (x_{\Omega_1} + \sin(-\theta) \cdot 2 \cdot \textit{rp} \leq x_{hR} - \textit{minAbstand} - L - \textit{f_laenge_v}) \\
2, \text{ wenn } \textit{richtung} == 1 \\
\quad \wedge (x_{\Omega_1} + \sin(-\theta) \cdot 2 \cdot \textit{rp} > x_{hR} - \textit{minAbstand} - L - \textit{f_laenge_v}) \\
3, \text{ wenn } \textit{richtung} == 1 \\
\quad \wedge (x_{\Omega_1} > x_{hR} - \textit{minAbstand} - L - \textit{f_laenge_v}) \\
4, \text{ wenn } \textit{richtung} == 0 \\
\quad \wedge (x_{\Omega_1} - \sin(\theta) \cdot 2 \cdot \textit{rp} \geq x_{hL} + \textit{minAbstand} + \textit{f_laenge_h}) \\
\quad \wedge (x_{\Omega_1} \geq x_{hL} + \textit{minAbstand} + \textit{f_laenge_h}) \\
5, \text{ wenn } \textit{richtung} == 0 \\
\quad \wedge (x_{\Omega_1} - \sin(\theta) \cdot 2 \cdot \textit{rp} < x_{hL} + \textit{minAbstand} + \textit{f_laenge_h}) \\
6, \text{ wenn } \textit{richtung} == 0 \\
\quad \wedge (x_{\Omega_1} < x_{hL} + \textit{minAbstand} + \textit{f_laenge_h})
\end{array} \right. \quad (46)$$

$$s1 = \textit{rp} \cdot \varphi_1 \quad (47)$$

$$s2 = \textit{rp} \cdot \varphi_2 \quad (48)$$

Szenario 1: Einparkschritt Vorwärts

Im ersten Szenario besteht der Weg zum Zwischenziel aus zwei Kreisbahnen. Einer Links und einer Rechtskurve, die vorwärts gefahren wird.

Der Kreiskoordinate x_{Ω_2} liegt über der Zielkonfiguration, da der Achswinkel dort 0 Grad beträgt. Die Y-Koordinate wird über den Satz des Pythagoras berechnet.

Der Hilfswinkel β ist gleichzeitig der abzufahrende Winkel vom zweiten Kreis, er berechnet sich über das abgebildete Dreieck:

Zur Berechnung des Berührungspunktes b gibt es mehrere Wege, wie z.B. Satz des Pythagoras, hier über den Hilfswinkel:

Der abzufahrende Winkel φ_1 wird über den Hilfswinkel β und den negativen Achswinkel θ berechnet. $\varphi_1 = \pi - (\pi - \beta) - (-\theta)$ und aufgelöst wie folgt:

Die Simulation der Einparkphase N-Einparkschritte ergab für Szenario 1 folgendes Ergebnis (siehe Abb. 39):

Das Fahrzeug wird in diesem Szenario 1 grade gezogen und die Y-Tiefe wird erhöht.

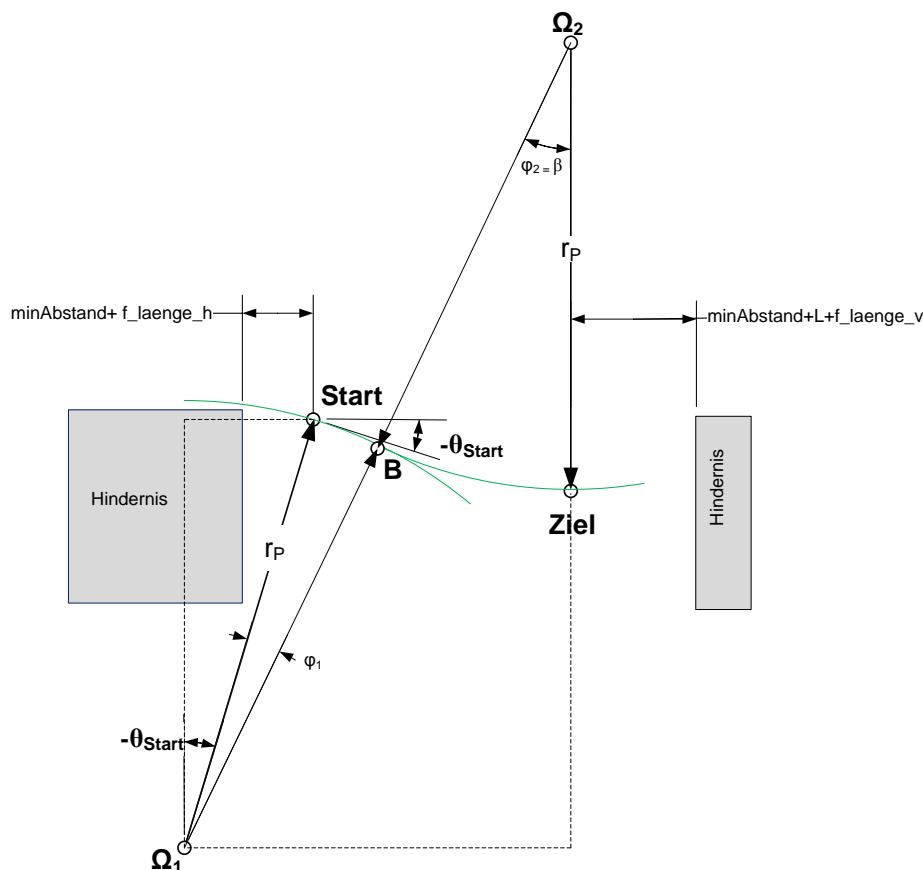


Abb. 38: Einparkschritt vorwärts, bestehend aus 2 Kreisbahnen

$$\begin{pmatrix} x_{\Omega_2} \\ y_{\Omega_2} \end{pmatrix} = \begin{pmatrix} x_{hR} - minAbstand - L - f_{laenge_v} \\ y_{\Omega_1} + \sqrt{(2 \cdot r_P)^2 - (x_{\Omega_2} - x_{\Omega_1})^2} \end{pmatrix} \quad (49)$$

$$\begin{pmatrix} x_{Ziel} \\ y_{Ziel} \\ \theta_{Ziel} \end{pmatrix} = \begin{pmatrix} x_{\Omega_2} \\ y_{\Omega_2} - r_P \\ 0 \end{pmatrix} \quad (50)$$

$$\beta = \arctan((x_{\Omega_2} - x_{\Omega_1}) / (y_{\Omega_2} - y_{\Omega_1})) \quad (51)$$

$$\begin{pmatrix} x_B \\ y_B \\ \theta_B \end{pmatrix} = \begin{pmatrix} x_{\Omega_1} + r_P \cdot \sin(\beta) \\ y_{\Omega_1} + r_P \cdot \cos(\beta) \\ -\beta \end{pmatrix} \quad (52)$$

Szenario 2: Einparkschritt Vorwärts

Im Einparkschritt Szenario 2) hat das Fahrzeug einen großen negativen Achswinkel und kann die Zielkonfiguration nicht in einem parallelen Achswinkel erreichen. Der Weg besteht somit

$$\begin{pmatrix} \varphi_1 \\ \varphi_2 \end{pmatrix} = \begin{pmatrix} \beta + \theta \\ \beta \end{pmatrix} \quad (53)$$

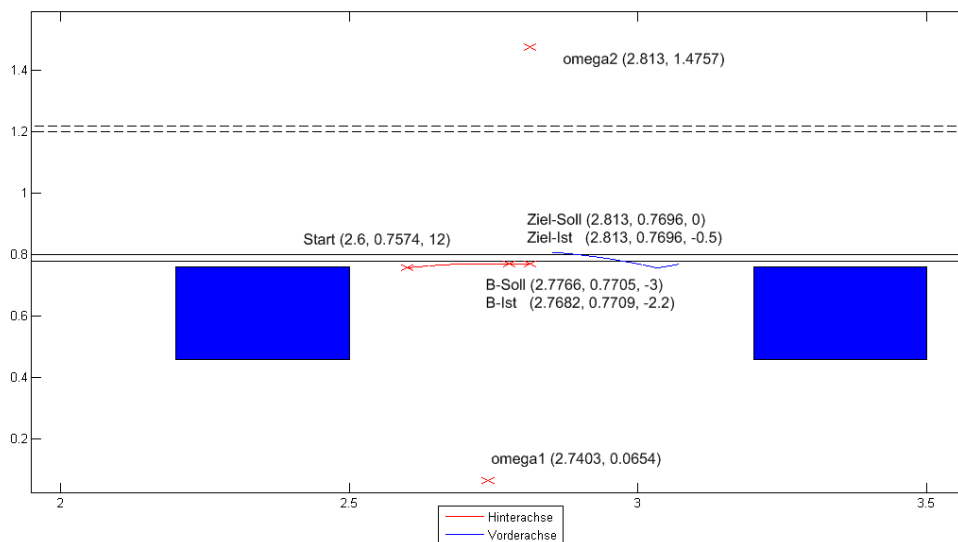


Abb. 39: Simulationsergebnis der Einparkphase N Einparkschritte, mit Angabe der Startkonfiguration (x,y,θ) und des Soll-Ziel, des Ist-Ziels (x,y,θ) , der Berührungskonfiguration und der Mittelpunkte der Kreisbahnen

nur aus einer Linkskurve, die vorwärts gefahren wird. Szenario 2) tritt unter folgender Bedingung ein:

$$\text{richtung} == 1 \wedge (x_{\Omega_1} + \sin(-\theta) \cdot 2 \cdot rp > x_{hr} - \text{minAbstand} - L - f_laenge_v) \quad (54)$$

Die Bedingung ist erfüllt, wenn der zweite Kreismittelpunkt Ω_2 in X-Richtung hinter dem Ziel liegt. Das bedeutet dass die Zielkonfiguration auch einen negativen Achswinkel besitzt und somit ist nur eine Kreisbahn notwendig.

Der zweite Kreis Ω_2 wird über das dargestellte Dreieck über den Kathetensatz berechnet.

Der Hilfswinkel β wird aus dem Dreieck von Ω_2 und Ziel konstruiert.

Die Y-Koordinate des Ziels x_{Ziel} wird dann nur noch über den Hilfswinkel β berechnet.

In der Abbildung bestehen die Winkel aus Der abzufahrende Winkel φ_2 wird wie folgt berechnet:

Die Simulation der Einparkphase N-Einparkschritte ergab für Szenario 2 folgendes Ergebnis (siehe Abb. 41):

Das Fahrzeug steht schief in der Parklücke. Das Ziel dieses Szenarios der Einparkphase N-Einparkschritte ist, dass der Achswinkel des Fahrzeugs auf 0 Grad gezogen wird.

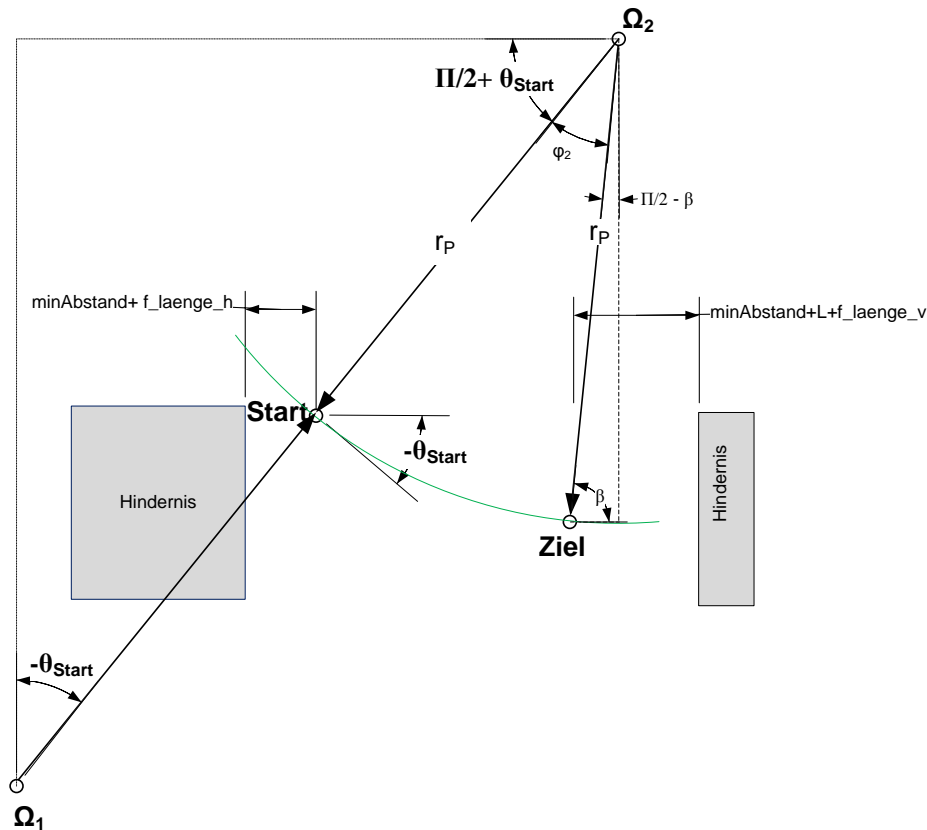


Abb. 40: Einparkschritt vorwärts, bestehend aus 2 Kreisbahnen

$$\begin{pmatrix} x_{\Omega_2} \\ y_{\Omega_2} \end{pmatrix} = \begin{pmatrix} x_{\Omega_1} + 2 \cdot r_p \cdot \sin(-\theta) \\ y_{\Omega_1} + 2 \cdot r_p \cdot \cos(-\theta) \end{pmatrix} \quad (55)$$

$$\beta = \arccos\left(\frac{x_{\Omega_2} - (x_{hR} - \text{minAbstand} - f_{\text{laenge_v}} - L)}{r_p}\right) \quad (56)$$

$$\begin{pmatrix} x_{\text{Ziel}} \\ y_{\text{Ziel}} \\ \theta_{\text{Ziel}} \end{pmatrix} = \begin{pmatrix} x_{hR} - \text{minAbstand} - f_{\text{laenge_v}} - L \\ y_{\Omega_2} - r_p \cdot \sin(\beta) \\ -(\pi/2 - \beta) \end{pmatrix} \quad (57)$$

$$\begin{pmatrix} \varphi_1 \\ \varphi_2 \end{pmatrix} = \begin{pmatrix} 0 \\ \pi/2 - (\pi/2 - \beta) - (\pi/2 + \theta) = \beta - \theta - \pi/2 \end{pmatrix} \quad (58)$$

Szenario 3: Einparkschritt Vorwärts

Im Einparkschritt Szenario 3) hat das Fahrzeug einen großen positiven Achswinkel und kann die Zielkonfiguration nicht in parallelen Achswinkel erreichen. Der Weg besteht somit nur aus einer Rechtskurve. Szenario 3) tritt unter folgender Bedingung ein:

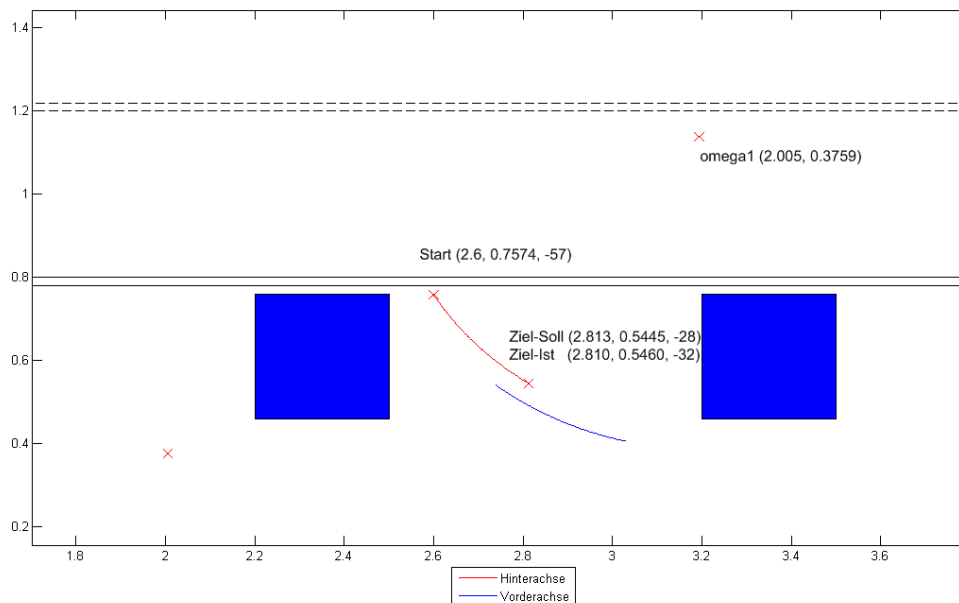


Abb. 41: Simulationsergebnis der Einparkphase N Einparkschritte, mit Angabe der Startkonfiguration (x,y,θ) und des Soll-Ziel, des Ist-Ziels (x,y,θ)

$$richtung == 1 \wedge (x_{\Omega_1} > x_{hR} - minAbstand - L - f_{laenge_v}) \tag{59}$$

Die Bedingung ist erfüllt, wenn der Kreismittelpunkt Ω_1 in X-Richtung hinter dem Ziel liegt. Das bedeutet dass die Zielkonfiguration auch einen positiven Achswinkel besitzen muss und somit ist nur eine Kreisbahn notwendig.

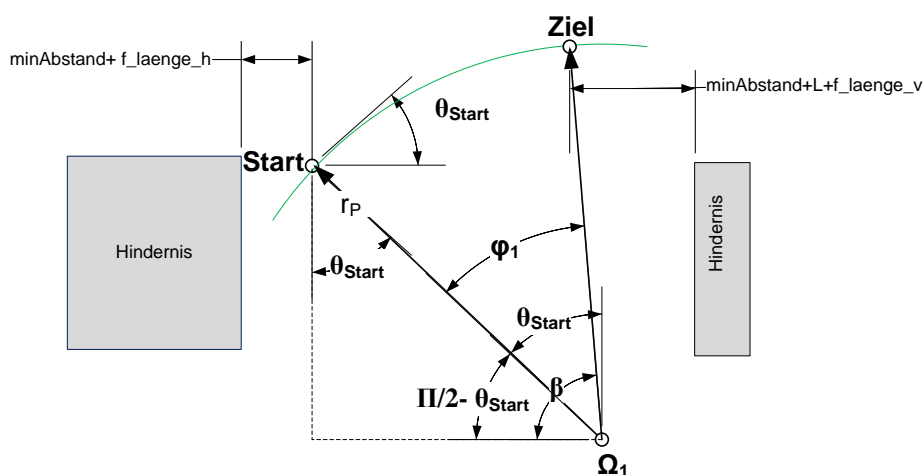


Abb. 42: Einparkschritt vorwärts, bestehend aus 2 Kreisbahnen

Der Hilfswinkel β wird aus dem Dreieck von Ω_1 und Ziel konstruiert.

Die Y-Koordinate des Ziels x_{Ziel} wird dann nur noch über den Hilfswinkel β berechnet.

$$\beta = \arccos\left(\frac{x_{\Omega_1} - (x_{hR} - \text{minAbstand} - f_laenge_v - L)}{rp}\right) \quad (60)$$

$$\begin{pmatrix} x_{Ziel} \\ y_{Ziel} \\ \theta_{Ziel} \end{pmatrix} = \begin{pmatrix} x_{hR} - \text{minAbstand} - f_laenge_v - L \\ y_{\Omega_1} + rp \cdot \sin(\beta) \\ \pi/2 - \beta \end{pmatrix} \quad (61)$$

Die Herleitung des Winkels φ_1 ist wie folgt: $\varphi_1 = \pi/2 - (\pi/2 - \theta) - (\pi/2 - \beta)$

$$\begin{pmatrix} \varphi_1 \\ \varphi_2 \end{pmatrix} = \begin{pmatrix} \beta + \theta - \pi/2 \\ 0 \end{pmatrix} \quad (62)$$

Die Simulation der Einparkphase N-Einparksschritte ergab für Szenario 3 folgendes Ergebnis (siehe Abb. 43):

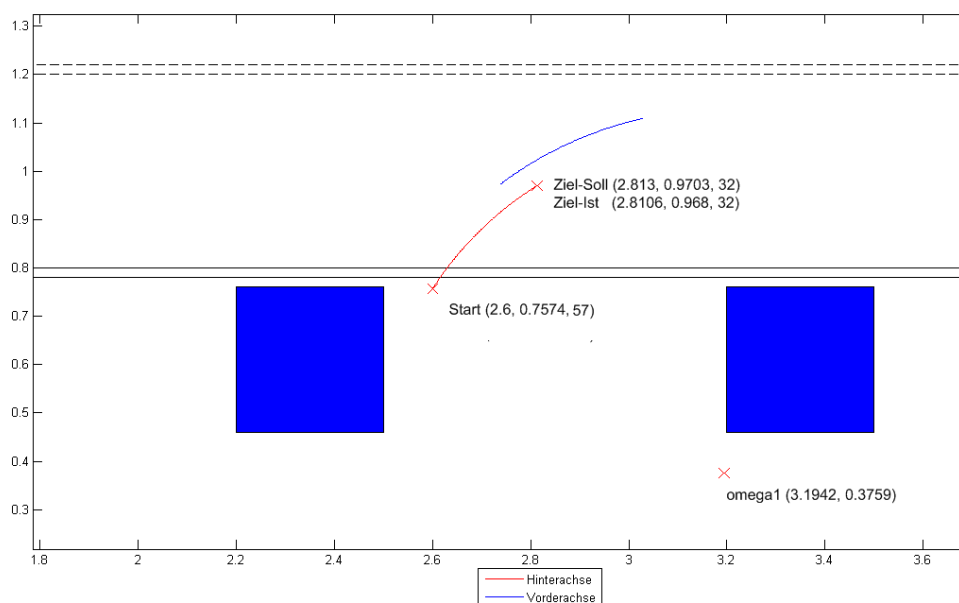


Abb. 43: Simulationsergebnis der Einparkphase N Einparksschritte, mit Angabe der Startkonfiguration (x,y,θ) und des Soll-Ziel, des Ist-Ziels (x,y,θ) , sowie der Angabe der Mittelpunkte der beiden Kreissegmente

Mit einem Achswinkel von 57 Grad beginnt das Fahrzeug dieses Einparkphase. Es wird hier das Ausrichten des Achswinkels am Ziel erreicht, damit in folgenden Einparksschritten die Szenarien 1 und 4 verwendet werden können.

Szenario 4: Einparkschritt Rückwärts

Im Szenario 4) besteht der Weg zum Zwischenziel aus einer Rechts- und einer Linkskurve. Das Fahrzeug muss dafür rückwärts fahren.

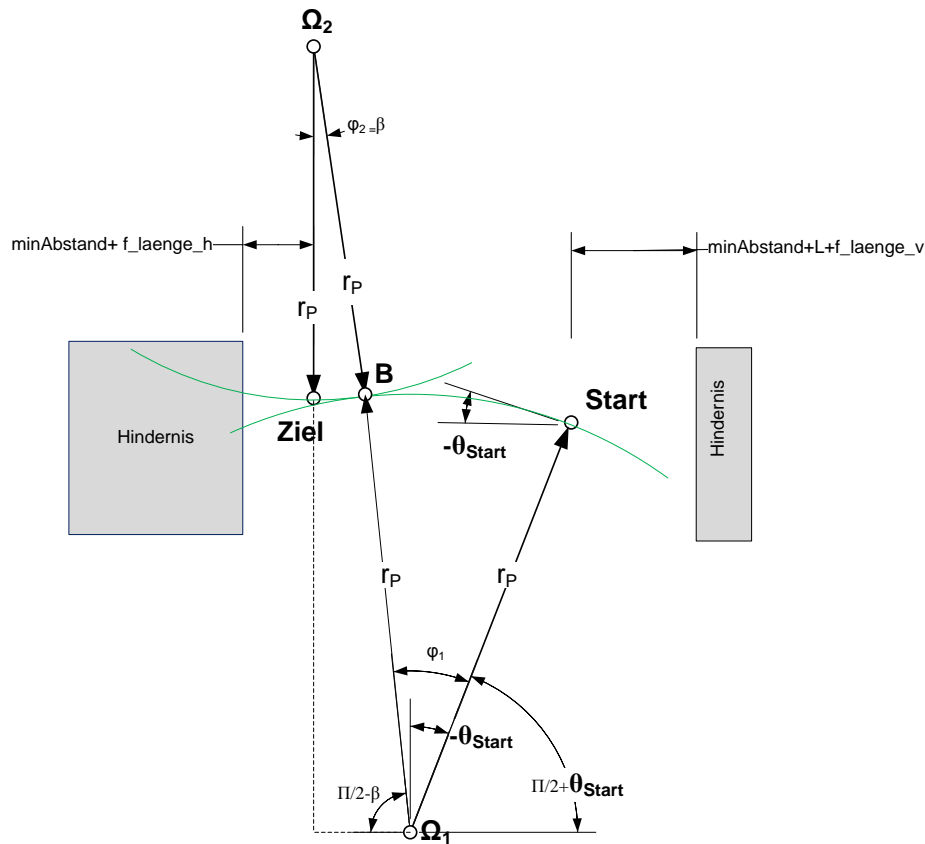


Abb. 44: Einparkschritt Rückwärts, mit 2 Kreisbahnen

Die Y-Koordinate des Kreises y_{Ω_2} wird über den Satz des Pythagoras hergeleitet:

$$\begin{pmatrix} x_{\Omega_2} \\ y_{\Omega_2} \end{pmatrix} = \begin{pmatrix} x_{hL} + \text{minAbstand} + f_{\text{laenge}_h} \\ y_{\Omega_1} + \sqrt{(2 \cdot r_P)^2 - (x_{\Omega_2} - x_{\Omega_1})^2} \end{pmatrix} \quad (63)$$

Die Zielkoordinaten sind in einem geradem Achswinkel zu erreichen:

$$\begin{pmatrix} x_{Ziel} \\ y_{Ziel} \end{pmatrix} = \begin{pmatrix} x_{\Omega_2} \\ y_{\Omega_2} - r_P \end{pmatrix} \quad (64)$$

Und der Hilfswinkel β wie folgt:

$$\beta = \arctan((x_{\Omega_1} - x_{\Omega_2}) / (y_{\Omega_2} - y_{\Omega_1})) \quad (65)$$

Der Berührungspunkt B wird über den Hilfswinkel errechnet:

$$\begin{pmatrix} x_B \\ y_B \\ \theta_B \end{pmatrix} = \begin{pmatrix} x_{\Omega_2} + r_P \cdot \sin(\beta) \\ y_{\Omega_2} - r_P \cdot \cos(\beta) \\ \beta \end{pmatrix} \quad (66)$$

Der abzufahrende Winkel φ_1 wird über Hilfswinkel konstruiert, wie in der Abbildung dargestellt.

$$\begin{pmatrix} \varphi_1 \\ \varphi_2 \end{pmatrix} = \begin{pmatrix} \pi - (\pi/2 - \beta) - (\pi/2 + \theta) = \beta - \theta \\ \beta \end{pmatrix} \quad (67)$$

Die Simulation der Einparkphase N-Einparksschritte ergab für Szenario 4 folgendes Ergebnis (siehe Abb. 45):

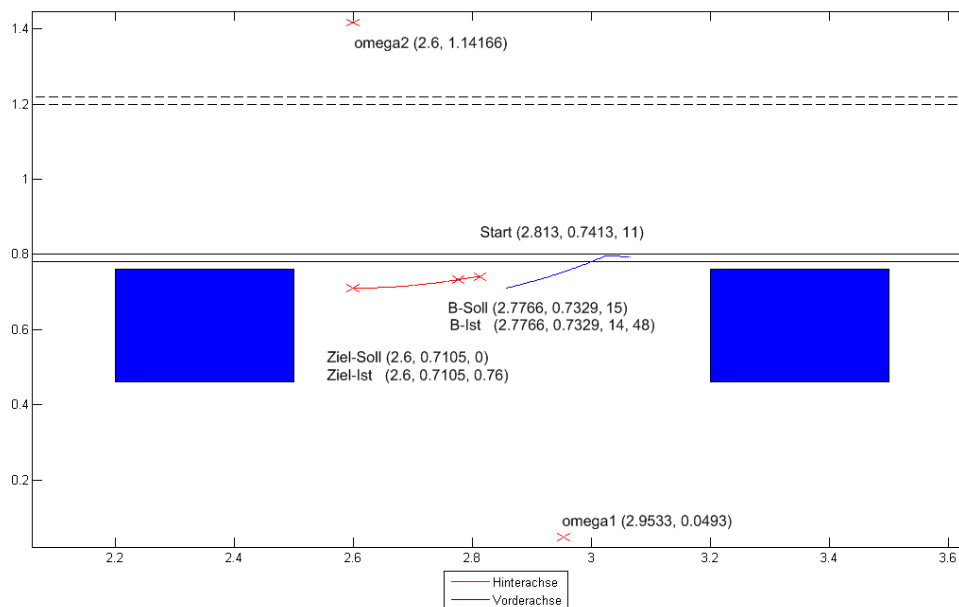


Abb. 45: Simulationsergebnis der Einparkphase N Einparksschritte, mit Angabe der Startkonfiguration (x,y,θ) und des Soll-Ziel, des Ist-Ziels (x,y,θ) und des Berührungspunktes, sowie der Angabe der Mittelpunkte der beiden Kreissegmente

Eine geringe Abweichung des Achswinkels am Ziel, bewirkt beim nächsten Einparkschritt eine größere Tiefe zu erreichen.

Szenario 5: Einparkschritt Rückwärts

Im Einparkschritt Szenario 5) hat das Fahrzeug einen großen positiven Achswinkel und kann die Zielkonfiguration nicht in einem Geraden Achswinkel erreichen. Der Weg besteht somit nur aus einer Linkskurve. Szenario 5) tritt unter folgender Bedingung ein:

$$\text{richtung} == 0 \wedge (x_{\Omega_1} - \sin(\theta) \cdot 2 \cdot rp < x_{hL} + \text{minAbstand} + f_{\text{laenge_h}}) \quad (68)$$

Die Bedingung ist erfüllt, wenn der zweite Kreismittelpunkt Ω_2 in X-Richtung hinter dem Ziel liegt. Das bedeutet dass die Zielkonfiguration auch einen positiven Achswinkel besitzt und somit ist nur eine Kreisbahn notwendig.

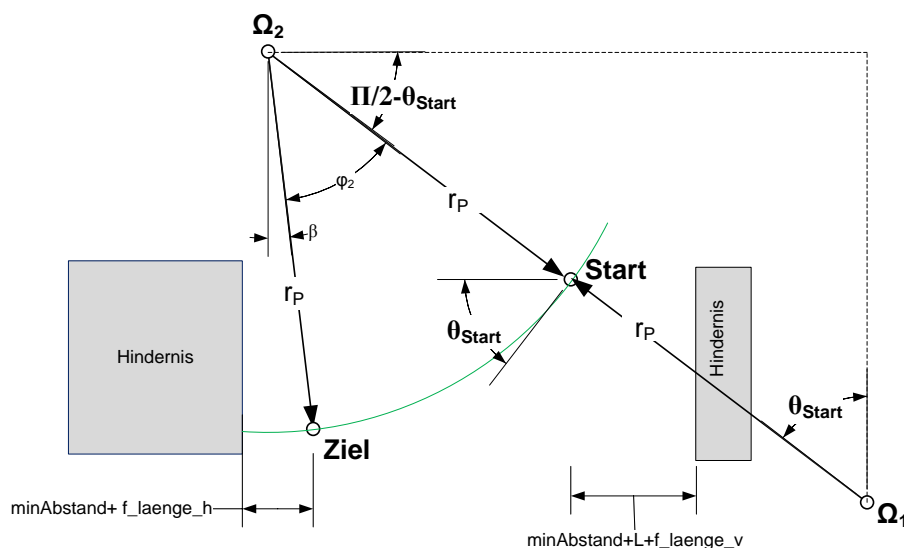


Abb. 46: Einparkschritt Rückwärts, bestehend aus einer Linkskurve

Der zweite Kreis Ω_2 wird über das dargestellte Dreieck über den Kathetensatz berechnet.

$$\begin{pmatrix} x_{\Omega_2} \\ y_{\Omega_2} \end{pmatrix} = \begin{pmatrix} x_{\Omega_1} - 2 \cdot rp \cdot \sin(\theta) \\ y_{\Omega_1} + 2 \cdot rp \cdot \cos(\theta) \end{pmatrix} \quad (69)$$

Der Hilfswinkel β wird aus dem Dreieck von Ω_2 und Ziel konstruiert.

$$\beta = \arcsin \left(\frac{(x_{hL} + \text{minAbstand} + f_{\text{laenge_h}}) - x_{\Omega_2}}{rp} \right) \quad (70)$$

Die Y-Koordinate des Ziels x_{Ziel} wird dann nur noch über den Hilfswinkel β berechnet.

$$\begin{pmatrix} x_{Ziel} \\ y_{Ziel} \\ \theta_{Ziel} \end{pmatrix} = \begin{pmatrix} x_{hL} + \minAbstand + f_laenge_h \\ y_{\Omega_2} - rp \cdot \cos(\beta) \\ \beta \end{pmatrix} \quad (71)$$

In der Abbildung bestehen die Winkel aus Der abzufahrende Winkel φ_2 wird wie folgt berechnet: $\varphi_2 = \pi/2 - \beta - (\pi/2 - \theta)$ und aufgelöst wie folgt:

$$\begin{pmatrix} \varphi_1 \\ \varphi_2 \end{pmatrix} = \begin{pmatrix} 0 \\ \theta - \beta \end{pmatrix} \quad (72)$$

Die Simulation der Einparkphase N-Einparksschritte ergab für Szenario 5 folgendes Ergebnis (siehe Abb. 47):

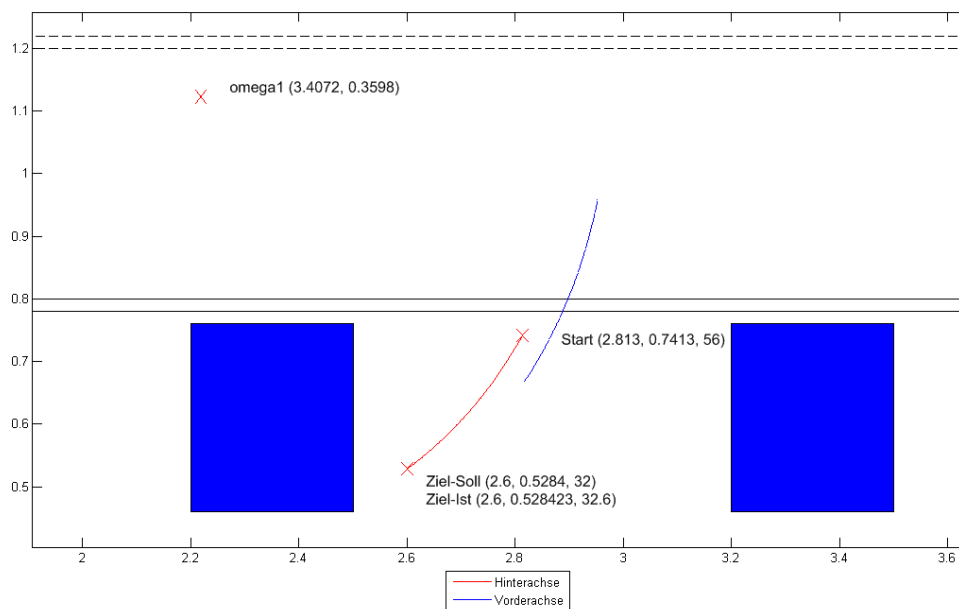


Abb. 47: Simulationsergebnis der Einparkphase N Einparksschritte, mit Angabe der Startkonfiguration (x,y,θ) und des Soll-Ziel und des Ist-Ziels (x,y,θ) , sowie der Angabe des Mittelpunktes des Kreissegments

Das Fahrzeug startet in der Parklücke in einem Achswinkel von 56 Grad. Das Fahrzeug wird zunächst grade gezogen, um danach die Szenarien 1 und 4 durchführen zu können.

Szenario 6: Einparkschritt Rückwärts

Im Einparkschritt Szenario 6) hat das Fahrzeug einen großen negativen Achswinkel und kann die Zielkonfiguration nicht in einem Geraden Achswinkel erreichen. Der Weg besteht somit nur aus einer Rechtskurve. Szenario 6) tritt unter folgender Bedingung ein:

$$\text{richtung} == 0 \wedge (x_{\Omega_1} < x_{hL} + \text{minAbstand} + f_laenge_h) \quad (73)$$

Die Bedingung ist erfüllt, wenn der zweite Kreismittelpunkt Ω_1 in X-Richtung hinter dem Ziel liegt. Das bedeutet dass die Zielkonfiguration auch einen negativen Achswinkel besitzt und somit ist nur eine Kreisbahn notwendig.

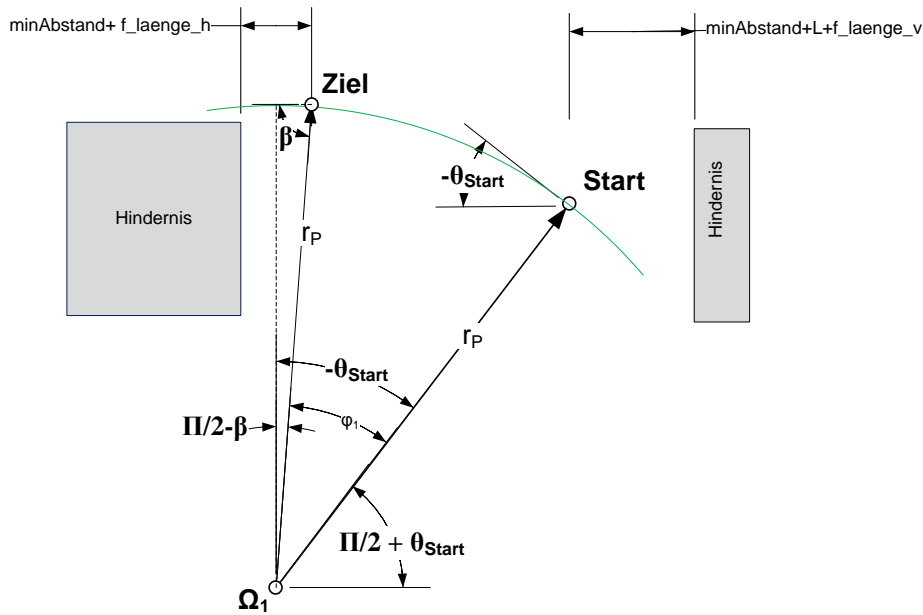


Abb. 48: Einparkschritt Rückwärts, bestehend aus einer Rechtskurve

Der Hilfswinkel β wird aus dem Dreieck von Ω_1 und Ziel konstruiert.

$$\beta = \arccos\left(\frac{(x_{hL} + \text{minAbstand} + f_laenge_h) - x_{\Omega_1}}{r_p}\right) \quad (74)$$

Die Y-Koordinate des Ziels x_{Ziel} wird dann nur noch über den Hilfswinkel β berechnet.

$$\begin{pmatrix} x_{Ziel} \\ y_{Ziel} \\ \theta_{Ziel} \end{pmatrix} = \begin{pmatrix} x_{hL} + \text{minAbstand} + f_laenge_h \\ y_{\Omega_1} + r_p \cdot \sin(\beta) \\ -(\pi/2 - \beta) \end{pmatrix} \quad (75)$$

In der Abbildung bestehen die Winkel aus Der abzufahrende Winkel φ_1 wird wie folgt berechnet: $\varphi_2 = \pi/2 - (\pi/2 - \beta) - (\pi/2 + \theta)$ und aufgelöst wie folgt:

$$\begin{pmatrix} \varphi_1 \\ \varphi_2 \end{pmatrix} = \begin{pmatrix} \beta - \theta - \pi/2 \\ 0 \end{pmatrix} \quad (76)$$

Die Simulation der Einparkphase N-Einparksschritte ergab für Szenario 6 folgendes Ergebnis (siehe Abb. 49):

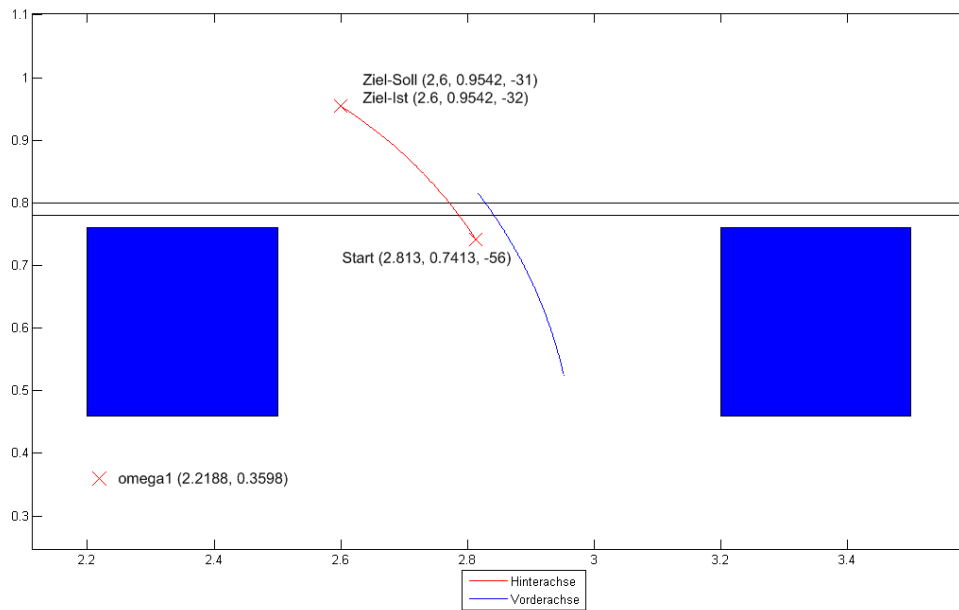


Abb. 49: Simulationsergebnis der Einparkphase N Einparksschritte, mit Angabe der Startkonfiguration (x,y,θ) und des Soll-Ziel und des Ist-Ziels (x,y,θ) , sowie der Angabe des Mittelpunktes des Kreissegments

Das Fahrzeug startet in der Parklücke in einem Achswinkel von -56 Grad. Um eine größere Y-Tiefe in der Parklücke zu erreichen, wird das Fahrzeug zunächst grade gezogen, um danach die Szenarien 1 und 4 durchführen zu können.

5.5 Fahrzeug ausrichten

Diese Phase wird ausgeführt, wenn das Fahrzeug in Y-Richtung weit genug in der Parklücke steht, jedoch noch nicht einen Achswinkel von 0 +/-5 Grad hat. Somit muss eine Bahn gefunden werden, mit der das Fahrzeug ausgerichtet wird. Die Ausgangsposition x_p, y_p des Fahrzeugs ist in der Parklücke die Position Start. Entweder wird das Fahrzeug an die nächste Position Ziel vorwärts oder rückwärts heran fahren. Als Verfahren zur Ermittlung des Verstärkungsfaktors wird VD_1 verwendet (siehe Kapitel Bahnplanung, Abschnitt Virtuelle Deichsel und Abb. 26).

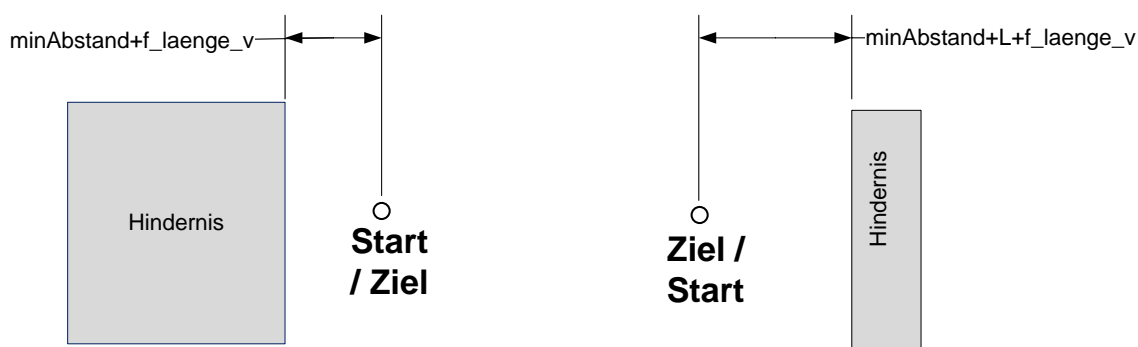


Abb. 50: Ausgangssituation zu begin der Einparkphase

Die Suchräume werden wie folgt eingeteilt:

Δ Konfigurationsraum	$\Delta\theta$ [Grad]
A	[0,5)
B	[5,10)
C	[10,15)
D	[-15,-20)

Tabelle 6: Suchräume in der Phase Fahrzeug ausrichten, mit dem Verfahren VD_1, abgetastet in 1 Grad Schritten

Simulationsergebnis		Kennwerte des Verstärkungsfaktors						
Delta Konfigurationsraum	Resultierender Verstärkungsfaktor	Ø Abweichung in Y-Richtung yp - y_ziel [m]	Ø Abweichung des Achswinkels theta_ist - theta_ziel [Grad]	Anzahl der Abweichungen in Y-Richtung > 0.05 m	Anzahl der Abweichungen des Achswinkels > 5 Grad	maximale Abweichung in Y-Richtung [m]	maximale Abweichung des Achswinkels [Grad]	Anzahl an Simulationsiterationen
A	12	0.00161	0.77393	0	0	0.00346	2.13987	5
B	1	0.01300	2.30848	0	0	0.01690	2.37750	5
C	1	0.02319	1.53320	0	0	0.02758	2.07802	5
D	1	0.03528	0.91814	0	0	0.04110	2.11026	5

Abb. 51: Auswertung der Ermittlung des geeignetsten Verstärkungsfaktors

Zur Ermittlung des geeignetsten Verstärkungsfaktors, wurden die Suchräume in 1 Grad Schritten abgetastet. Es wird der Verstärkungsfaktor gewählt, der die geringste durchschnittliche Abweichung aufweist.

$$verst = \begin{cases} 1, & \text{wenn } q \notin \text{Suchraum}_A \\ 12, & \text{wenn } q \in \text{Suchraum}_A \end{cases} \quad (77)$$

Wenn die Fahrzeugkonfiguration keinem Suchraum zugeordnet werden kann, dann wird der Verstärkungsfaktor auf 1 gesetzt.

Am Ende der Phase kann das Fahrzeug durch dieses Manöver wieder aus der Y-Parklückentiefe heraus kommen. Die Entscheidungseinheit wird darauf reagieren und ggf. Phase 4. „N Einpark-schritte“ wiederholen.

Die Simulation der Einparkphase Fahrzeug ausrichten ergab folgendes Ergebnis (siehe Abb. 52):

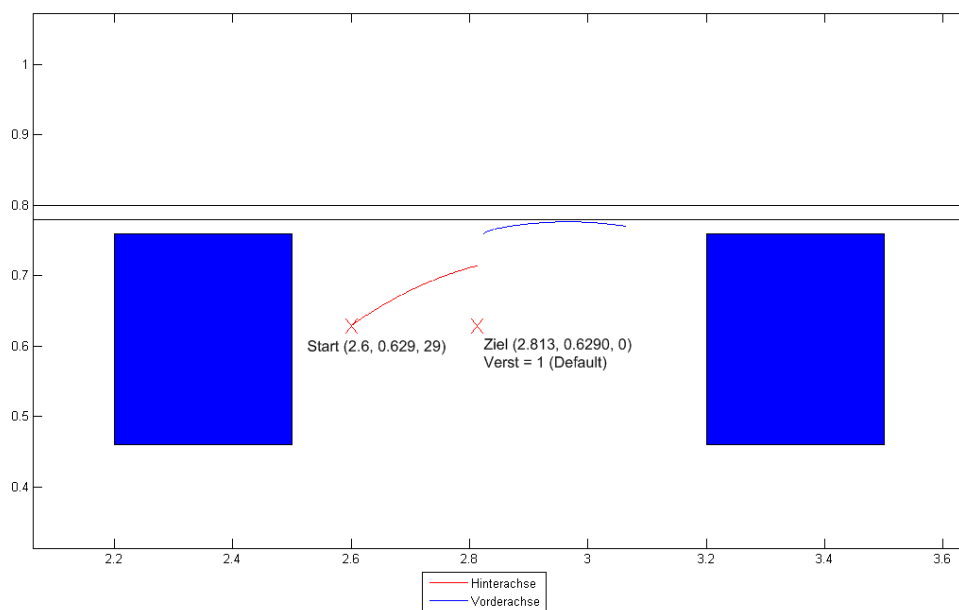


Abb. 52: Simulationsergebnis der Einparkphase Fahrzeug ausrichten, mit Angabe des Verstärkungsfaktors, der Start- und Zielposition

Für die Konfiguration des Fahrzeugs existiert kein Suchraum, deshalb wird der Standard-Wert für den Verstärkungsfaktor 1 gewählt.

5.6 Simulationsergebnis des kompletten Einparkmanövers

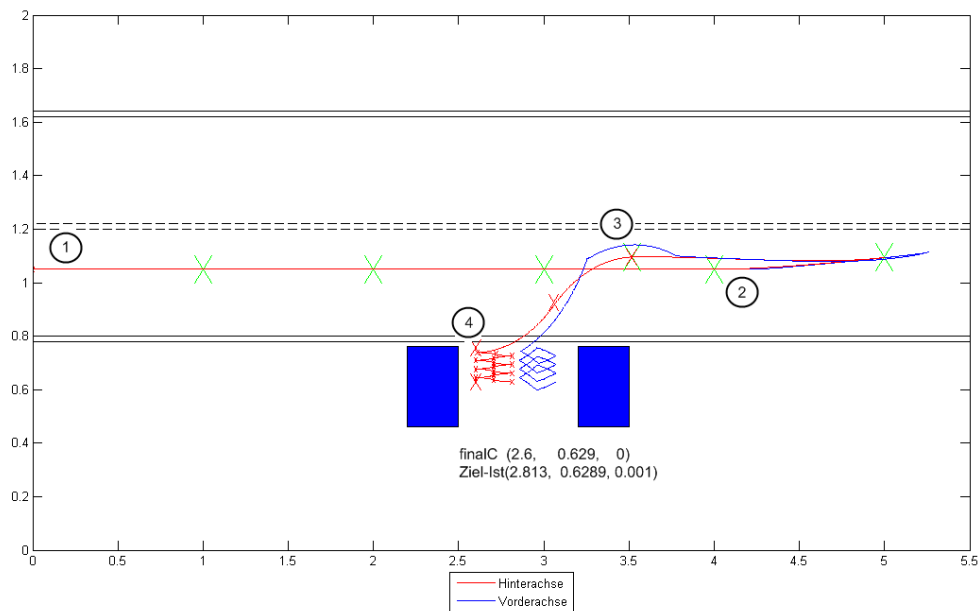


Abb. 53: Das komplette Einparkmanöver von der Startlinie aus zum Ziel innerhalb der Parklücke. Die Zielposition $finalC(x,y,theta)$ wurde in 4 Phasen erreicht. 1. Spurführung, 2. Positionierung, 3. Erster Einparkschritt, 4. N-te Einparkschritte

Das Simulationsergebnis (siehe Abb. 53) des Einparkmanövers von der Fahrspurmitte der rechten Fahrbahn zur finalen Einparkposition $finalC$, ergab bei konstanter Geschwindigkeit von 0,1 m/s folgende Kennwerte:

- Einparkphasen: 1. Spurführung (5 mal), 2. Positionierung (2 mal), 3. erster Einparkschritt (1 mal), 4. N-te Einparkschritte (7 mal)
- Anhaltepositionen: 18
- gefahrener Weg: 8,9147 m
- Simulationszeit: 96,04 s
- Achswinkelabweichung am Ziel: 0,001 Grad
- Y-Abweichung am Ziel: 0,0001 m

6 Weitere Entwicklungsschritte des Fahrzeuges

Der Einparkassistent wird ein System eingebunden, in der drei Assistenzsysteme implementiert werden.

- Einparkassistent
- Assistent zum autonomen Fahren von Rundstrecken ohne Hindernisse
- Assistent zum autonomen Fahren von Rundstrecken mit Hindernissen

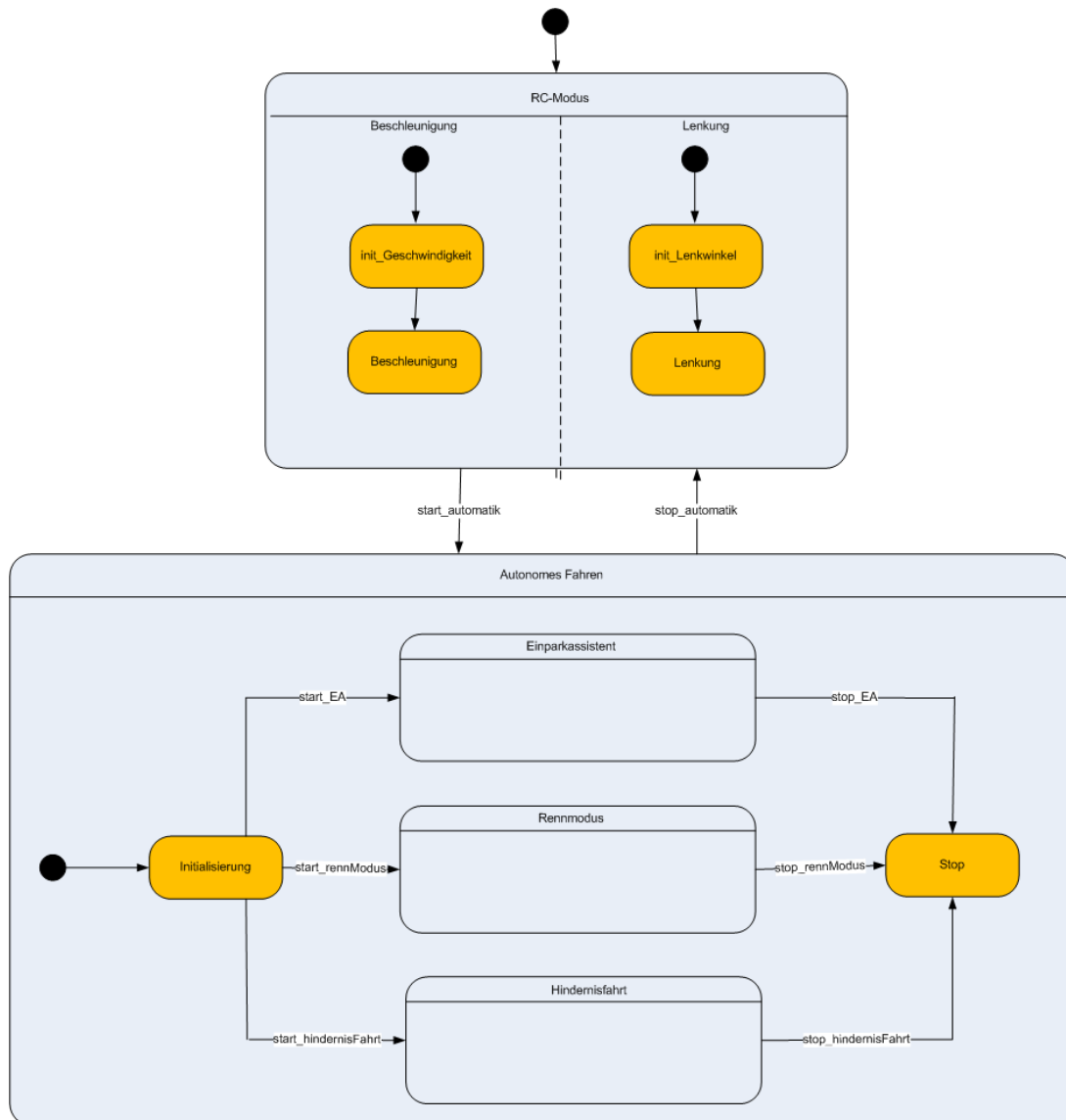


Abb. 54: UML Hierarchisches Zustandsdiagramm. Hauptautomaten des Fahrzeugsystems sind RC-Modus und autonomes Fahren

Die beiden Hauptzustände in der obersten Hierarchieebene sind (vgl. Abb. 54):

- RC-Modus: manuelle Steuerung des Fahrzeuges über eine Funkverbindung
- Autonomes Fahren: Es besteht aus drei weiteren Subzuständen: Einparkassistent, Hindernisfahrt und Rennmodus. Das sind die 3 Disziplinen die beim Carolo Cup Verwendung finden

Der Subautomat Einparkassistent (vgl. Abb. 54) besteht aus mehreren Bahnplanungsverfahren, die sequentiell ausgeführt werden (siehe Kapitel 5).

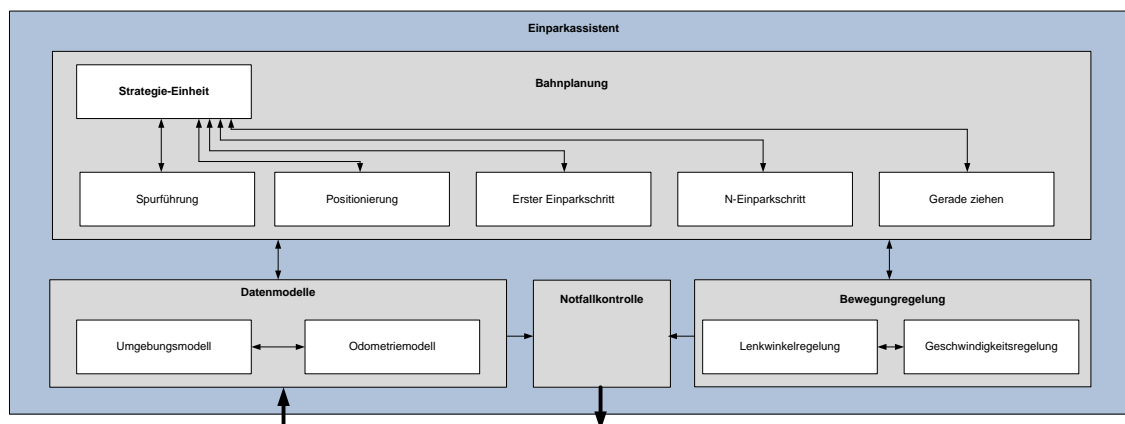


Abb. 55: Kompositionsdiagramm des Einparkassistenten

Die Strategieeinheit (siehe Kapitel 5, Abb. 29) trifft die Auswahl des Bahnplanungsverfahrens, das je nach Einparkphase und Fahrsituation verwendet wird. Die Bahnplanungsverfahren des „ersten Einparkschritts“ und „N-Einparkschritte“ berechnen Wege und Zielpositionen. Diese müssen an eine Lenkwinkelregelung und Geschwindigkeitsregelung weiter geleitet werden. Die Einparkphasen der Virtuellen Deichsel „Spurführung“, „Positionierung“ und „Fahrzeug ausrichten“ berechnen Zielpositionen und den Verstärkungsfaktor der Lenkwinkelregelung. Eine Geschwindigkeitsregelung muss das Fahrzeug auch bei den Verfahren „Positionierung“ und „Fahrzeug ausrichten“ eine Regelung auf eine Zielposition beinhalten.

Zur Vereinfachung des Einparkassistenten wird vorgeschlagen, eine Komponente „Datenmodelle“ zu erstellen. Sie kommuniziert mit den Komponenten, die Umgebungs- und Odometriedaten abholen, auswerten und ggf. korrigieren. Sie bereiten die Daten vor und leiten sie an die Komponente Bahnplanung weiter.

Eine Notfallkontrolle muss im Notfall die Kontrolle über die Aktorik entweder an die manuelle Steuerung übergeben oder das Fahrzeug autonom eine Fahrentscheidung treffen.

Chassis

Mit einem geringeren Kollisionsradius des Fahrzeuges können die Abstände zu den Hindernissen verkleinert werden. In einem Einparkschritt kann so eine größere Tiefe erzielt werden.

Maßnahmen:

- kleinere Spurweite L
- größeren maximalen Lenkwinkel α
- eine Abrundung der Eckpunkte des Fahrzeuges verkleinert den äußeren Kollisionsradius (siehe Kollisionsradius Abb. 16)

Zusätzlich zur Einparkphase Spurführung muss die Parklücke gesucht werden (siehe Abb. 56).

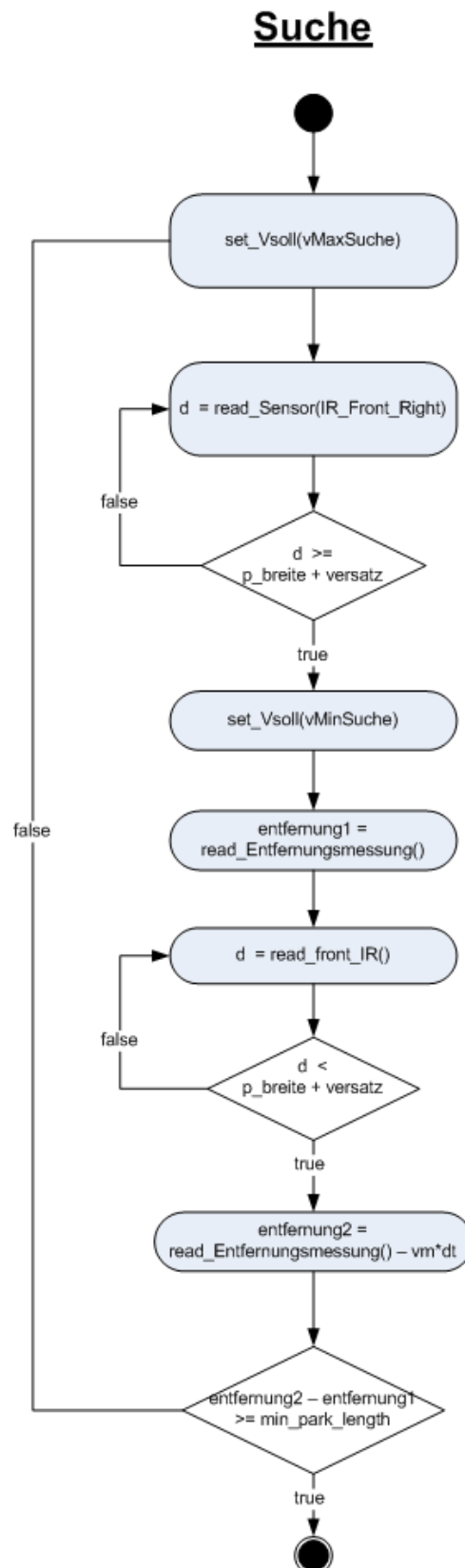


Abb. 56: UML-Aktivitätsdiagramm Parklückensuche

Dazu müssen noch die Anforderungen des Carolo Cup Regelwerks umgesetzt werden, wie die manuelle Steuerung (siehe Abb. 54) und die LED-Blinkersteuerung.

Virtuelle Deichsel

Die Anzahl der Suchräume sollte insgesamt vergrößert werden. Zur Abtastung der Suchräume verbessern kleinere Schritte die Suche nach Parametern, dass z. B. die Abtastung des Achswinkelintervall nicht in ein Grad-Schritten , sondern in 0,1 Grad Schritten erfolgt. Die große Anzahl von Konfigurationsräumen und deren Zuordnung zu einem Verstärkungsfaktor müsste dann automatisch erfolgen, weil der Aufwand der Implementierung sonst zu groß wäre. Das heißt es wird eine Konvertierungsfunktion gebraucht, die eine Fahrzeugkonfiguration einem Suchraum zuordnet und deren Parameter Zielposition und Verstärkungsfaktor liefert.

Die Geschwindigkeit innerhalb der Suchräume beträgt immer 0.1 m/s. Wenn die Suchräume um die Dimension Geschwindigkeit erweitert würden, dann könnten mehrere Geschwindigkeiten bei der Virtuellen Deichsel verwendet werden.

Zur Spurführung Rundkursen kann die Virtuelle Deichsel verwendet werden. In einem Abstand von 50 oder 100 cm kann der Achswinkel zu einer Kurve ermittelt werden. Bei Drehung des Koordinatensystems auf diesen Achswinkel kann eine Regelung erfolgen. Mit dem Bahnplanungsverfahren VD_2 wird das Fahrzeug auf einen Zielachswinkel von 0 Grad geregelt. Es müssen somit Stützstellen aus der Fahrspur genommen werden, die Abschnittsweise als Zielkoordinate der Virtuellen Deichsel dienen.

Weg-Bogenlängen Technik

Eine Erweiterung der Kreistechnik hin zu einer vollwertigen Weg-Bogenlängen Technik. Es umfasst folgende Arbeiten:

- CC-Bahnsegmente zwischen den minimalen Kreisen, die aus Wendeklothoiden konstruiert werden
- Zeitoptimierte Bahnen, die aus Bahnsegmenten mit variablen Wenderadien bestehen
- Bewegungsregelung der Weg-Bogenlängen Technik

Der Vorteil der Weg-Bogenlängen Technik ist die Freiheit eine Bahn zu planen, die nicht auf Geometrischen Methoden, sondern auf einfachen Lenkmanövern basiert. Mit ihnen können kürzeste Wege erstellt werden.

Erster Einparkschritt

Als erster Einparkschritt wurde ein Verfahren gewählt, mit dem Zwischenziele in einem Achswinkel von 0 Grad erreicht werden. Eine Bahnplanungsverfahren sollte entwickelt werden, das im ersten Schritt direkt auf das Ziel zufährt und danach die N-Einparkschritte durchführt.

Odometrie

Zur Geschwindigkeitserfassung bietet sich die Hinterradgeschwindigkeit an, da die Hinterachse starr ist und so einfacher zu ermitteln ist. Dies kann über ein Inkrementalgeber realisiert werden. Die Odometrie sollte dann die Gleichungen des Kinematischen Einspurfahrzeugmodells für heckangetriebene Fahrzeuge verwenden, da die Gleichungen aus weniger Termen besteht. Die Hinterradposition ist ausreichend, somit wären weniger Gleichungen zu implementieren.

Kollisionserkennung

In der Parklücke ist der Platz begrenzt. Die Sensoren haben einen toten Bereich in dem sie keine Abstandswerte ermitteln. Das Fahrzeug muss deshalb aus Sicherheitsgründen anhalten. Innerhalb dieses toten Bereichs könnte das Fahrzeug trotzdem weiterfahren, wenn der Mindestabstand eingehalten wird. Die Hindernisumrandungen könnten als Funktionen abgespeichert werden, die eine Kollisionserkennung nutzt. Der Mindestabstand wäre so nicht mehr über die Sensoren eingeschränkt.

Zur Hinderniserkennung sind beim Einparkmanöver nur wenige Kollisionspunkte und -flächen zu berücksichtigen. Das sind die Fahrzeugaußenflächen, die mit den Eckpunkten des Hindernis kollidieren könnten (siehe Abb. 57).

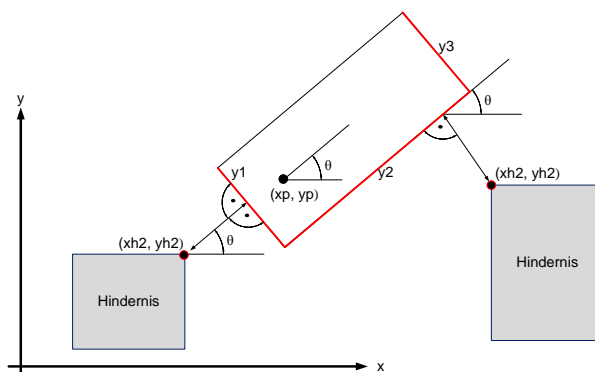


Abb. 57: Szenario 1: Kollision des Fahrzeugs mit den Hinderniseckpunkten

Und es sind die Eckpunkte des Fahrzeugs, die mit den Innenflächen der Hindernisse zusammen treffen könnten (siehe Abb. 58).

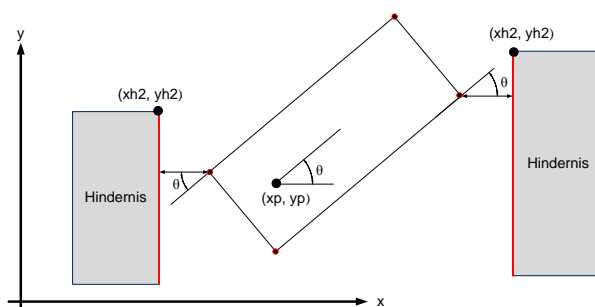


Abb. 58: Szenario 2: Kollision des Fahrzeugs mit den Hindernisflächen

Die Flächen können als Gerade und die Eckpunkte als x-y-Positionen abgespeichert werden.

7 Zusammenfassung

Es ist ein Einparkassistent für ein autonomes Fahrzeug entwickelt worden. Der Schwerpunkt liegt in der Bahnplanung des Einparkmanövers von einer Startposition bis hin zu einem Ziel innerhalb der Parklücke. Es wurden fünf Einparkphasen identifiziert, für die jeweils eigene Bahnplanungsverfahren und Matlab-Modelle entwickelt wurden. Realisiert wurden die fünf Einparkphasen durch zwei Fahrtechniken.

Eine ist die Kreistechnik, mit der Kreisbahnen zu einem Ziel geplant und gefahren werden. Die Bahnsegmente bestehen aus zwei Kreisbahnen, die aufgrund des maximalen Lenkwinkels eine maximale Krümmung und minimale Krümmung besitzen. Die Verbindung erfolgt über Anhaltepositionen an den Berührungspunkten. Es werden hiermit kürzeste Wege erzeugt, die in einem definierten Abstand zu den Hindernissen führen. Realisiert wurde es, indem Pfade zu Zwischenziele erzeugt wurden, die einen Achswinkel von 0 Grad besitzen.

Die Fahrtechnik Virtuelle Deichsel ist eine Lenkwinkelregelung. Über die Wahl der Regelungsparametern wird Einfluss auf das Fahrverhalten genommen. Ausgehend von einer unbekanntem Position des Fahrzeugs zu einem Ziel, werden die geeignetsten Parameter gesucht. Hierfür wurden Intervalle von X-, Y- und Achswinkel Differenzen zum Ziel gebildet, in denen die Parameter ausgewählt wurden, bei denen die durchschnittliche Simulationsabweichung am Ziel am geringsten ist.

Die zwei Fahrtechniken werden in fünf Einparkphasen verwendet. Die erste Einparkphase ist die „Spurführung“, die das Fahrzeug entlang der Fahrspurmitte führt und in der die Suche einer Parklücke erfolgt. Das Bahnplanungsverfahren VD_2 realisiert eine geregelte Fahrt entlang der Fahrspurmitte und führt das Fahrzeug parallel zum Fahrbahnrand. Ist eine Parklücke mit ausreichender Breite gefunden, wird in der Einparkphase „Positionierung“ das Fahrzeug zu einer geeigneten Ausgangsposition für das erste Einparkmanöver geführt. Das Verfahren VD_3 positioniert das Fahrzeug, mit einer Achswinkeldifferenz von +/- 5 Grad, dort hin. Der „erste Einparkschritt“ wird das Fahrzeug in eine maximale Tiefe innerhalb der Parklücke führen. Die Realisation erfolgte über die Kreistechnik, aufgrund der Ausnutzung des maximalen Lenkwinkels. Weitere „N-Einparkschritte“ sind für das Erreichen weiterer Einparktiefe erforderlich. Verwendet wurde die Kreistechnik, wegen der maximalen Einparktiefe in einem Einparkschritt. Eine Regelung ist aufgrund der kurzen Distanz zwischen vorderer und hinterer Parklückengrenzungen nicht notwendig. Beim Erreichen des Ziels wird das „Fahrzeug ausgerichtet“, um eine maximale Abweichung des Achswinkels von 0 +/- 5 Grad zu gewährleisten. Realisiert wurde es mit dem Verfahren VD_1.

Die fünf entwickelten Bahnplanungsverfahren der Einparkphasen decken alle zu erwartenden Situationen während des Einparkvorgangs ab.

Glossar

Trajektorie	Ein Weg oder Bahn die das Fahrzeug mit einer Geschwindigkeit fahren kann
Bahnsegment	Ein Abschnitt einer Bahn, gekennzeichnet durch gleichbleibende Eigenschaften wie z. B. eine Kurve mit gleichbleibender Krümmung
Konfiguration	Eindeutige und minimale Beschreibung der Lage des Fahrzeugs x_p, y_p, θ
Konfigurationsraum	Menge aller Konfigurationsvarianten innerhalb der Dimensionsgrenzen
Arbeitsraum	Raum/Ebene in dem sich das Fahrzeug bewegen kann
Shortest Path	Kürzester Pfad in einem kollisionsfreien Arbeitsraum
Graph	Verkettung von Knoten (Konfigurationen) über Kanten (Steuerungsgrößen)
System on Chip	Mikrocontrollersystem auf einem Chip integriert
Kinematik	Lehre der Bewegung von Körpern, ohne Berücksichtigung von einwirkenden Kräften
DGS 1. Ordnung	Mehrere Funktionen, die in Form einer ersten Ableitung notiert sind
Einparkschritt	Ein Fahrmanöver zur Parklücke, in Vorwärts- oder Rückwärtsfahrt
UML	Graphische Beschreibungssprache von Softwaresystemen
SysML	Graphische Beschreibungssprache von Hardware- und Softwaresystemen
Weg-Bogenlängen Technik	Graphische Beschreibungssprache von Softwaresystemen
Kreistechnik	Wegkurven entlang von Kreisen planen
CC Technik	Fahrmanöver bei der der Lenkwinkel bei konstanter Geschwindigkeit geändert wird
Virtuelle Deichsel	Bahnplanungsverfahren mit integrierter Lenkwinkelregelung auf die Zielkonfiguration
Odometrie	Lagebestimmung des Fahrzeugs über ein Differentialgleichungssystem
Chassis	Der tragende Rahmen des Fahrzeugs
Einspurfahrzeugmodell	Vereinfachtes kinematisches Modell des Fahrzeugs, bei dem die Räder einer Achse zusammengeschoben werden
Aktorik	Wandeln elektrische Signale in mechanische Energie um
Sensorik	Wandeln physikalische Größen in digitale Größen um
Suchraum	Ein abgetasteter Raum aus Startkonfigurationen in dem ein Bahnplanungsverfahren simuliert und ausgewertet wird

Intellectual Property	IP: Eine Digitale Funktionseinheit, die einmal spezifiziert und mehrfach instanziiert werden kann. Sie kann mit anderen IPs über interne Bussysteme oder Signalleitungen kommunizieren
Linearität	Eine Änderung des Eingangs bewirkt eine proportionale Veränderung des Ausgangs
Numerische Lösung	angenäherte Lösung über Näherungsverfahren
Analytische Lösung	eindeutige Lösung über Umformung
Bogenlänge	Länge eines Kreisbogens
Klothoide	Bahnsegment, bei der der Lenkwinkel umgeschlagen wird und das bei konstanter Geschwindigkeit
Continuous Curvature	Bahnsegment mit den Kennwerten einer kontinuierlichen Krümmungsänderung
Bahnsegment	Ein Abschnitt der Trajektorie

Symbolverzeichnis

- ABS** Antiblockiersystem
- CC** Continuous-Curvature
- DC** Direct Current: Gleichstrom
- DGS** Differentialgleichungssystem
- DSP** Digital Signal Processor
- EDK** Embedded Development Kit
- ESC** Electronic Stability Control
- FPGA** Field Programmable Gate Array
- FSL** Fast System Link
- HW** Hardware
- I/O** Input/Output
- IP** Intellectual Property
- LED** Light Emitting Diode
- ODE** Ordinary differential equation
- OPB** On Chip Peripheral Bus
- PLB** Processor Local Bus
- RRT** Rapidly-exploring Random Tree
- SDK** Software Development Kit
- SFP** Shortest feasible path
- SW** Software
- SysML** Systems Modeling Language
- UML** Unified Modeling Language
- VD_N** Bahnplanungsverfahren Virtuelle Deichsel N
- VHDL** Very High Speed Integrated Circuit Hardware Description Language

Abbildungsverzeichnis

1	Vorgehensweise zur Entwicklung des Einparkassistenten, weiß = realisierte Schritte, rot = zukünftige Entwicklungsschritte	7
2	Einparkphasen des Einparkvorgangs: 1) Spurführung, 2) Positionierung, 3) erster Einparkschritt, 4) N-Einparkschritte, 5) Fahrzeug ausrichten	8
3	Aufbau und Wirkungsweise der Fahrzeugelektronik und -mechanik	9
4	Funktionsweise eines 2-Poligen 3-Phasen DC Brushless-Motors[30]	11
5	IBM CoreConnect Bus-Architektur: [2]	12
6	Struktur eines Ip-Cores : [3]	12
7	Kinematische Einspurfahrzeugmodell mit zusammengeschobenen Vorder- und Hinterräder	15
8	In der linken Abbildung ein CSC-Pfad, bestehend aus einer Rechtskurve, Gerade und einer Rechtskurve. Und Rechts eine CCC-Pfad, aus Rechts-, Links- und Rechtskurve [24, LaValle 2006]	25
9	Vergleich von Kreisbögen mit mit CC-Kurven [10]	27
10	Krümmungsband einer Teilstrecke [19], CC-Bahn zwischen A und B, CC-Turn besteht aus zwei CC-Bahnen und einer Kreisbahn	28
11	Kürzester Pfad RSL zwischen 2 Konfigurationen, CSC und CCC [32]	29
12	Tabelle mit CSR-Kurven, bei unterschiedlichen Winkeln [32]	29
13	Generierte Pfade, die abfahrbar sind[17]	30
14	Erzeugter Pfad entlang den Eckpunkten der Hindernisse [9]	30
15	RRT Pfaderzeugung [28]	32
16	Kollisionsradien des Fahrzeugs, rot = innerer und äußerer Kollisionsradius	33
17	Szenario 2: Konstruktion des ersten Kreises aus der Parklücke heraus, mit der maximalen Tiefe und minimalem Abstand zum Hindernis	34
18	Virtuelle Deichsel - Verstärkung. Der Zielwinkel σ wird proportional zu der Entfernung verstärkt, Schwarze Kurve = abzufahrende Bahn, Grüner Pfeil = Winkel zum Ziel während einem Rechenschritt	37
19	Wertebereich von atan[1] ($\pm\pi/2$) und atan2 [8] ($\pm\pi$)	37
20	Berechnung des Zielwinkels zu einem Ziel D hinter dem Fahrzeugheck. Hinterrad P ist die Bezugskoordinate.	38
21	Start in ausreichender Entfernung (10,10) zum Ziel. Beim überfahren des Ziels (0,0) mit dem Hinterrad bewirkt mit atan2() ein sofortiges umlenken zurück zum Ziel.	39
22	Start in ausreichender Entfernung (10,10) zum Ziel. Beim überfahren des Ziels (0,0) mit dem Hinterrad fährt das Fahrzeug geradeaus weiter.	39
23	Regelung auf einen Achswinkel von 0 Grad. Verstärkungsfaktor 100, Startkonfiguration (x,y,theta)=(10 m,10 m,0 Grad) und Zielkonfiguration (0 m,0 m,0 Grad), mit negativer Geschwindigkeit von -0.1 m/s	40
24	Regelung auf einen Achswinkel von 90 Grad. Verstärkungsfaktor 1/100, Startkonfiguration (x,y,theta)=(10 m,10 m,0 Grad) und Zielkonfiguration (0 m,0 m,0 Grad), negative Geschwindigkeit von -0.1 m/s	41
25	Fahrzeugkonfigurationen mit denen die Fahrzeugkonfiguration (x_p, y_p, θ) zur Zielkonfiguration entgegengerichtet ist. Das Ziel ist in der Mitte (0,0,0), es werden hier 4 Fälle gezeigt, in denen das Fahrzeug quer zum Ziel steht.	44
26	Suchverfahren VD_1), Suchräume A - D, nur der Lenkwinkel verändert sich in der Simulation, Zielkonfiguration (0,0,0)	45
27	Suchverfahren VD_2), Suchräume A - P, der Lenkwinkel und Y-Entfernung zum Ziel werden in der Simulation modifiziert, Zielkonfiguration (0,0,0)	46

28	Suchverfahren VD_3), Suchräume A - T, in der Simulation werden Lenkwinkel, X- und Y-Entfernung verändert, Zielkonfiguration (0,0,0)	46
29	UML-Diagramm der Strategieeinheit, die Steuerung der Einparkphasen vornimmt	49
30	Auswertung zur Ermittlung geeigneter Verstärkungsfaktors in der Phase Spurführung, Grün gekennzeichnet sind die Suchräume mit geringster Abweichung	50
31	Simulationsergebnis der Einparkphase Spurführung, mit Angabe der Positionen (x,y,theta) zwischen Start (x,y,theta) und Endposition (x,y,theta)	51
32	Auswertung der Ermittlung des geeignetsten Verstärkungsfaktors	53
33	Simulationsergebnis der Einparkphase Positionierung, mit Angabe der Positionen (x,y,theta) zwischen Start (x,y,theta) und Endposition (x,y,theta) und dem Verstärkungsfaktor zu Beginn einer Bahn	54
34	Szenario 1: Kreisbahn mit Berührungspunkt mit der Fahrspurmitte und keine Kollision des äußeren Kollisionsradius mit dem Hindernis	55
35	Simulationsergebnis der Einparkphase erster Einparkschritt, mit Angabe der Berührungskonfiguration (x,y,theta) zwischen Start (x,y,theta) und Ziel (x,y,theta) und den Mittelpunkten der Kreisbahnen omega1 und omega2	57
36	sicher kollisionsfreie Kreisbahn zur Fahrspur mit minimalem Abstand zum Hindernis	58
37	Simulationsergebnis der Einparkphase erster Einparkschritt, mit Angabe des Berührungskonfiguration (x,y,theta) zwischen Start (x,y,theta) und Ziel (x,y,theta) und den Mittelpunkten der Kreisbahnen omega1 und omega2	60
38	Einparkschritt vorwärts, bestehend aus 2 Kreisbahnen	63
39	Simulationsergebnis der Einparkphase N Einparkschritte, mit Angabe der Startkonfiguration (x,y,theta) und des Soll-Ziel, des Ist-Ziels(x,y,theta), der Berührungskonfiguration und der Mittelpunkte der Kreisbahnen	64
40	Einparkschritt vorwärts, bestehend aus 2 Kreisbahnen	65
41	Simulationsergebnis der Einparkphase N Einparkschritte, mit Angabe der Startkonfiguration (x,y,theta) und des Soll-Ziel, des Ist-Ziels(x,y,theta)	66
42	Einparkschritt vorwärts, bestehend aus 2 Kreisbahnen	66
43	Simulationsergebnis der Einparkphase N Einparkschritte, mit Angabe der Startkonfiguration (x,y,theta) und des Soll-Ziel, des Ist-Ziels(x,y,theta), sowie der Angabe der Mittelpunkte der beiden Kreissegmente	67
44	Einparkschritt Rückwärts, mit 2 Kreisbahnen	68
45	Simulationsergebnis der Einparkphase N Einparkschritte, mit Angabe der Startkonfiguration (x,y,theta) und des Soll-Ziel, des Ist-Ziels(x,y,theta) und des Berührungspunktes, sowie der Angabe der Mittelpunkte der beiden Kreissegmente	69
46	Einparkschritt Rückwärts, bestehend aus einer Linkskurve	70
47	Simulationsergebnis der Einparkphase N Einparkschritte, mit Angabe der Startkonfiguration (x,y,theta) und des Soll-Ziel und des Ist-Ziels(x,y,theta), sowie der Angabe des Mittelpunktes des Kreissegments	71
48	Einparkschritt Rückwärts, bestehend aus einer Rechtskurve	72
49	Simulationsergebnis der Einparkphase N Einparkschritte, mit Angabe der Startkonfiguration (x,y,theta) und des Soll-Ziel und des Ist-Ziels(x,y,theta), sowie der Angabe des Mittelpunktes des Kreissegments	73
50	Ausgangssituation zu begin der Einparkphase	74
51	Auswertung der Ermittlung des geeignetsten Verstärkungsfaktors	74
52	Simulationsergebnis der Einparkphase Fahrzeug ausrichten, mit Angabe des Verstärkungsfaktors, der Start- und Zielposition	75

53	Das komplette Einparkmanöver von der Startlinie aus zum Ziel innerhalb der Parklücke. Die Zielposition finalC (x,y,theta) wurde in 4 Phasen erreicht. 1. Spurführung, 2. Positionierung, 3. Erster Einparkschritt, 4. N-te Einparkschritte	76
54	UML Hierarchisches Zustandsdiagramm. Hauptautomaten des Fahrzeugsystems sind RC-Modus und autonomes Fahren	77
55	Kompositionsdiagramm des Einparkassistenten	78
56	UML-Aktivitätsdiagramm Parklückensuche	79
57	Szenario 1: Kollision des Fahrzeugs mit den Hinderniseckpunkten	81
58	Szenario 2: Kollision des Fahrzeugs mit den Hindernisfla"chen	81
59	Eine kubische Funktion zur Bahnerzeugung, Problem der Regelung bei Regelabweichung	96
60	Symmetrieeigenschaft der Virtuellen Deichsel bei Vorwärts- und Rückwärtsfahrt, Achswinkel am Start und am Ziel beträgt 0 Grad	97
61	Carolocup Disziplinen und Punktevergabe: ca. 1/3 der zu erreichenden Punkte können über ein gutes Konzept erreicht werden und ca. 2/3 über das Gewinnen der Disziplinen	130
62	Anwendungsfalldiagramm zur Steuerung des Fahrzeugs	132

Tabellenverzeichnis

1	<i>Größen des kinematischen Einspurfahrzeugmodells</i>	16
2	<i>Symbolbeschreibungen und Wertebereich des DGS</i>	18
3	<i>Wertebereiche zur Berechnung des Lenkwinkels über atan und atan2</i>	40
4	Suchräume in der Phase Spurführung, mit dem Verfahren VD_2, abgetastet in 1 cm und 1 Grad Schritten	50
5	Suchräume in der Phase Positionierung, mit dem Verfahren VD_3, abgetastet in 1 cm und 1 Grad Schritten	52
6	Suchräume in der Phase Fahrzeug ausrichten, mit dem Verfahren VD_1, abgetastet in 1 Grad Schritten	74
7	Anforderungen an das Fahrzeug aus dem Regelwerk Carolo-Cup 2010. Ein Verstoß einer der aufgeführten Anforderungen hat den Ausschluss vom Wettbewerb oder einen Punktabzug zur Folge	131
8	Anforderungen an den Einparkassistenten und den Einparkvorgang aus dem Regelwerk Carolo-Cup 2010. Ein Verstoß einer der aufgeführten Anforderungen hat den Ausschluss vom Wettbewerb oder einen Punktabzug zur Folge	132

Literaturverzeichnis

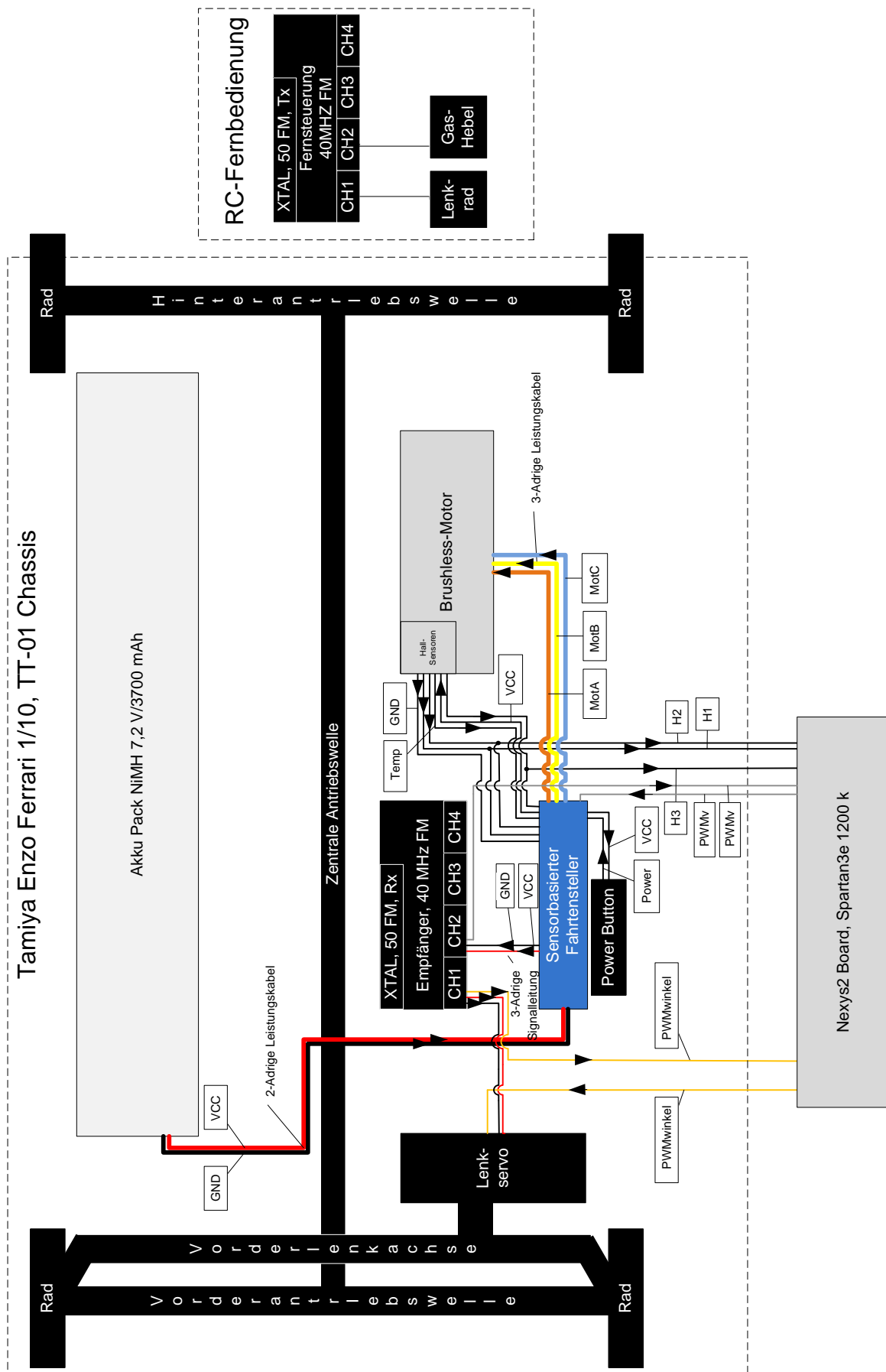
- [1] Academic dictionaries and encyclopedias. <http://de.academic.ru/dic.nsf/dewiki/98330>. abgerufen am 10.03.2010.
- [2] *Manual: 128-Bit Processor Local Bus Architecture Specifications*, ibm, version 4.7 edition.
- [3] *Manual: EDK Concepts, Tools, and Techniques*, xilinx, edk 11 edition.
- [4] Modellbau wiki. <http://www.modellbau-wiki.de/wiki/Differentialgetriebe>. abgerufen am 10.05.2010.
- [5] Rc modellbau lexikon. <http://www.modellbau.org/achs-differential/>. abgerufen am 10.03.2010.
- [6] *User Manual A.I. Brushless Reverse digital, LRP*.
- [7] Wiki rc-networks. <http://wiki.rc-network.de/Brushless-Motor>. abgerufen am 10.05.2010.
- [8] Wikipedia - atan2. <http://upload.wikimedia.org/wikipedia/commons/thumb/a/a8/Arctangent2.svg/220px-Arctangent2.svg.png>. abgerufen am 10.05.2010.
- [9] G. C. A. Bicchi and C. Santilli. *Planning shortest bounded-curvature paths for a class of nonholonomic vehicles among obstacles*, volume 16 of *Journal of Intelligent and Robotic Systems*. Springer, 1996. 387–405 pp.
- [10] J. D. B. Müller. Zweistufige trajektorienplanung für das automatische einparken. *AUTO-REG 2006, VDI-Berichte Nr. 1931*, 2006. abgerufen am 01.03.2010.
- [11] J. D. B. Müller. *Two-step Trajectory Planning for Automatic Parking*. PhD thesis, Technische Fakultät der Universität Erlangen, http://www.rt.e-technik.uni-erlangen.de/FGnls/papers/diss_Mueller_2009.pdf, 2009. abgerufen am 01.03.2010.
- [12] S. G. B. Müller, J. Deutscher. Trajectory generation and feedforward control for parking a car. *International Symposium on Intelligent Control IEEE*, pages 163 – 168, Oktober 2006.
- [13] S. G. B. Müller, J. Deutscher. Continuous curvature trajectory design and feedforward control for parking a car. *Control Systems Technology, IEEE Transactions on*, 15:541 – 553, May 2007.
- [14] L. E. Dubins. On curves of minimal length with a constraint on average curvature and with prescribed initial and terminal positions and tangents. *American Journal of Mathematics*, 79(3):497–516, July 1957.
- [15] B. K. E. Szadeczky-Kardoss. Continuous-curvature paths for mobile robots. Technical report, Dept. of Control Engineering and Information Technology, Budapest University of Technology and Economics, <http://mycite.omikk.bme.hu/doc/54630.pdf>, June 2008. abgerufen am 01.03.2010.
- [16] D. V. e.V. Die besten beifahrer. http://www.bester-beifahrer.de/die_besten_beifahrer.html. abgerufen am 03.03.2010.
- [17] A. O. F. Cuesta, F. Gomez-Bravo. Parking maneuvers of industrial-like electrical vehicles with and without trailer. *Industrial Electronics, IEEE Transactions on*, 51:257 – 269, April 2004.
- [18] S. Farshbaf-Masalehdan. Abstandsregelung für ein autonomes fahrzeug implementiert auf einer fpga basierten soc plattform. Bachelorarbeit.

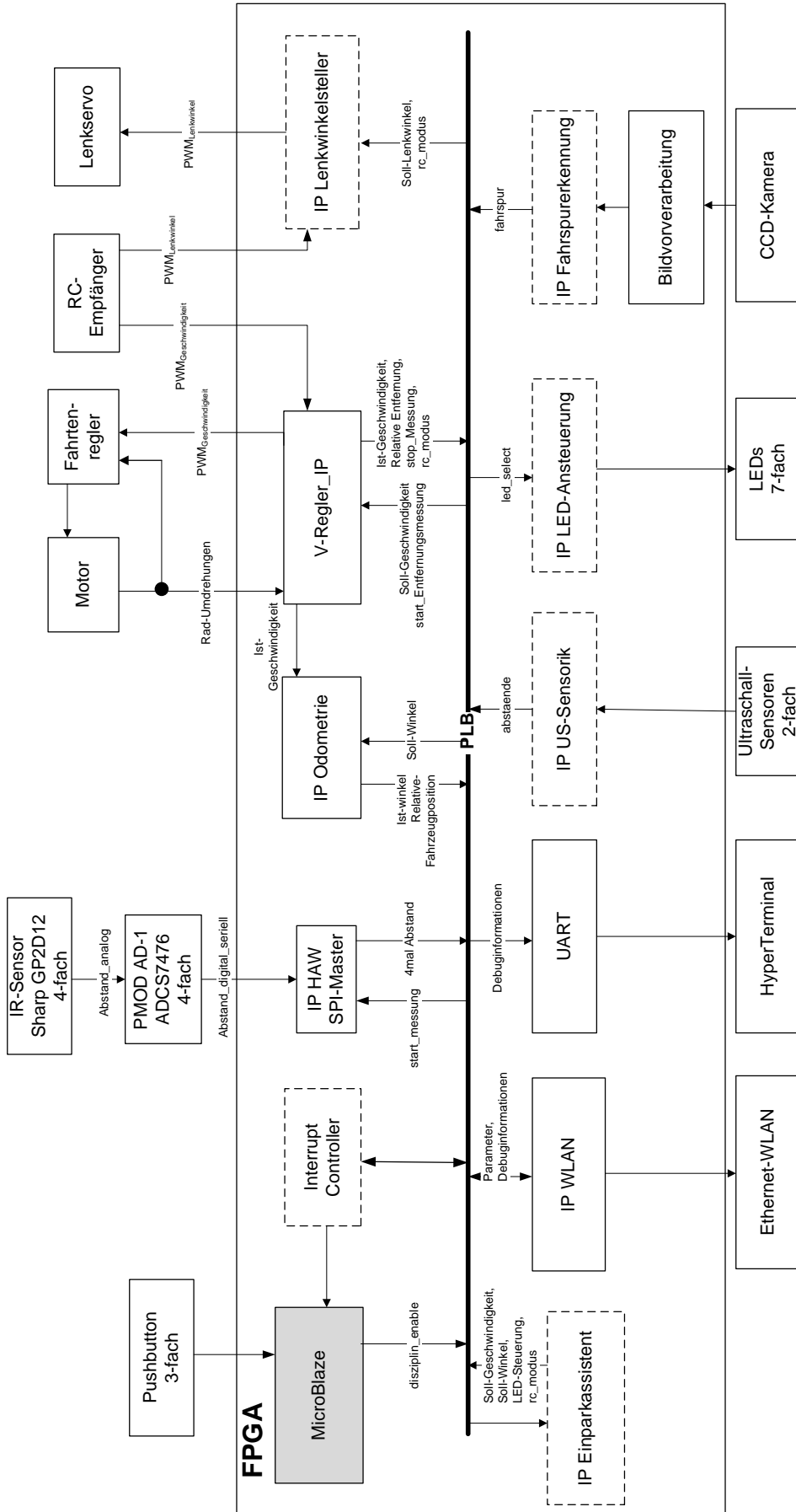
- [19] T. Fraichard and A. Scheuer. From reeds and shepp's to continuous-curvature paths. *IEEE Transaction on Robotics*, 20(6):367–393, Dezember 2004.
- [20] G. W. H. Winner, S. Hakuli. *Handbuch Fahrerassistenzsysteme*. Vieweg, 2009. 471–476 pp.
- [21] HHLA. Containerterminal altenwerder. <http://www.container-terminal-altenwerder.de/>. abgerufen am 10.05.2010.
- [22] J.-P. Laumond. *Robot Motion Planning and Control*. Springer, <http://homepages.laas.fr/jpl/book.html>, lectures notes in control and information edition, 1998. abgerufen am 01.03.2010.
- [23] S. M. LaValle. Rapidly-exploring random trees: A new tool for path planning. Technical report, Department of Computer Science Iowa State University, <http://msl.cs.uiuc.edu/~lavalle/papers/Lav98c.pdf>, 1998. abgerufen am 01.03.2010.
- [24] S. M. LaValle. *Planning Algorithms*. Cambridge University Press, 2006.
- [25] N. Liu. Ein automatischer parkassistent auf basis einer laserscanner-abstandserfassung für ein fahrerloses transportsystem. Masterarbeit.
- [26] D. Mellert and C. Eskikaya. Hsc odometrie. Projektarbeit SS09.
- [27] L. Papula. *Mathematische Formelsammlung*, volume 9. Vieweg, 2006. 139 pp.
- [28] Q. d. Zhu, Y. b. Wu, G. q. Wu, X. Wang . An improved anytime rrts algorithm. In *Artificial Intelligence and Computational Intelligence, International Conference on*, pages 268 – 272, November 2009.
- [29] J. A. Reeds and L. A. Shepp. Optimal paths for a car that goes both forwards and backwards. *Pacific Journal of Mathematics*, 145(2):367–393, 1990.
- [30] Scantec. Brushless gleichstrom motor. <http://www.scantec.de/modules.php?name=News&file=article&sid=346>. abgerufen am 03.03.2010.
- [31] D. Schetler. Automatischer ausweichassistent mit einer laserscanner - basierten abstandsregelung für ein fahrerloses transportsystem. Masterarbeit.
- [32] A. M. Shkel and V. J. Lumelsky. On calculation of optimal paths with constrained curvature: The case of long paths. In *Robotics and Automation, 1996. Proceedings., 1996 IEEE International Conference on*, volume 4, pages 3578 – 3583, April 1996.
- [33] Tamiya. 1/10 r/c enzo ferrari. <http://www.tamiya.com/english/products/58302enzo/index.htm>. abgerufen am 01.03.2010.
- [34] B. Triggs. Motion planning for nonholonomic vehicles: An introduction.
- [35] D. Wilde. Computing clothoid segments for trajectory generation. In *Intelligent Robots and Systems, 2009. IROS 2009. IEEE/RSJ International Conference on*, pages 2440 – 2445, Dezember 2009.

A Ergänzungen zur Plattform

Arbeitsplanung für den Aufbau, Entwurf und die Implementation eines SoC-Einparkassistenten

Kennung	Aufgabenname	Kommentare zur Aufgabe
1	Allgemeine Vorbereitung	
2	Vorüberlegungen Stromversorgung	Benötigte Leistung berechnen
3	Vorüberlegungen EMV	Motorsteller und Motor erzeugen hohe el. Magn. Felder, wie abschirmen / entstören (Materialien, Kondensatoren, Lage)
4	Skizze SoC-IPs	Allgemeine Aufbau des SoC mit Anschlüsse der IP's, das Zusammenwirken grob erfassen
5	Skizze Elektrotechnischen-Komponenten	Allgemeine Verkabelung der wichtigsten Komponenten grob Skizzieren
6	Grob-Entwurf Einparkassistent	
7	Recherche zu den Bahnplanungsalgorithmen	Vergleich der vorhandenen Lösungen
8	Simulation der Bahnplanungsalgorithmen	Simulation ausgewählter Techniken
9	Vorüberlegungen der Phasen vom Startzustand bis zum Einparken	Aktivitätsdiagramm der einzelnen Phasen
10	Auswahl der Fahrtechnik zu jeder Einparkphase	Simulation jeder einzelnen Phase mit Matlab
11	grober Entwurf des Einparkassistenten	Gesamt-Simulation mit Matlab über einen Zustandsautomaten
12	grober Entwurf des SoC-Gesamtsystems	Zeichnung aller IP's (Komponentendiagramm) und Ablaufdiagramm (Sequenzdiagramm) wie Komponenten zusammenwirken
13	Elektronik integrieren	
14	Detailzeichnung der Elektrotechnischen Komponenten	Zeichnung aller el. Komponenten mit Nexys-Board, mit allen Anschlüssen
15	Einkaufsliste erstellen	Sensoren, Elektronik,, alles was benötigt wird kaufen
16	Verkabeln, Löten	zusammenbauen
17	Gesamtechnische Analyse	Funktionieren alle Bauteile korrekt, Testen der Anschlüsse
18	IP Implementation und Testen	
19	IP Lenkwinkelsteller	Analyse des Servos, IP implementieren, Zeitverhalten ermitteln
20	IP Odometrie	IP implementieren, Zeitverhalten ermitteln
21	IP-LED-Ansteuerung	LEDs verkabeln, IP implementieren
22	IP Geschwindigkeitsregler	Analyse des V-Reglers, IP implementieren, Zeitverhalten ermitteln
23	IP SPI (US)	Analyse des US-Sensoren, IP implementieren, Zeitverhalten ermitteln
24	IP SPI (IR)	Analyse des IR-Sensoren, IP implementieren, Zeitverhalten ermitteln
25	IP Spurführung (LenkwinkelRegler)	Analyse der Kamera, Bilder filtern, Regler entwickeln, IP implementieren, Zeitverhalten ermitteln
26	IP-Gesamtanalyse	Funktionieren alle IP's noch korrekt, Verhalten des Gesamtsystems korrekt, Fehlersuche
27	Fein-Entwurf Einparkassistent	
28	Sicherheitsfunktionen integrieren	Sicherheitsabstand und Kollisionserkennung in IP implementieren, Zeitverhalten ermitteln
29	Implementation Einparkassistent	IP implementieren, Zeitverhalten ermitteln
30	HW/SW-Entwurf Einparkassistent	Aktivierung/Deaktivierung des Einparkassistenten über Fernbedienung, ein oder mehrere kleine IP's entwickeln, Wiederverwendbarkeit erhöhen (Abhängigkeiten verringern)
31	H/SW-Implementation Einparkassistent	Instanziieren, testen und korrekte Funktionsweise nachprüfen
32	Optimierung des Einparkassistenten	
33	Continuous Curvatures als Fahrtechnik	Die Reeds and Shepps Technik mit der CC-Technik erweitern und testen
34	Regelung der Fahrmanöver	Eine verbesserte Regelung für die Fahrmanöver entwickeln und testen





B Fahrtechniken

B.1 Polynome

Im folgenden Abschnitt wird eine Technik gezeigt, wie mit Funktionen eine Bahn erzeugt werden kann. Funktionen bzw. Polynome werden meist im Zusammenhang mit Splines verwendet. Splines sind eine verbreitete Methode zur Bahnplanung, sie bestehen Abschnittsweise aus Polynomen n-ten Grades. Splines werden über Stützstellen erzeugt, der Abschnitt zwischen den Stützstellen sind Polynome. Eine kubische Funktion hat folgende Notation:

$$f_{(x)} = a * x^3 + b * x^2 + c * x + d \quad (78)$$

Die unbekannt Parameter a, b, c und d werden über vier Randbedingungen ermittelt.

1. Y-Startkoordinate ist eine Funktion $f(X - \text{Startkoordinate})$
2. Y-Zielkoordinate ist eine Funktion $f(X - \text{Zielkoordinate})$
3. Die Ableitung von $f(X - \text{Startkoordinate})$ ist der Achswinkel an der Startkoordinate
4. Die Ableitung von $f(X - \text{Zielkoordinate})$ ist der Achswinkel an der Zielkoordinate

$$y_{start} = a * x_{start}^3 + b * x_{start}^2 + c * x_{start} + d \quad (79)$$

$$y_{ziel} = a * x_{ziel}^3 + b * x_{ziel}^2 + c * x_{ziel} + d \quad (80)$$

$$f'_{(x_{start})} = \theta_{start} \quad (81)$$

$$f'_{(x_{ziel})} = \theta_{ziel} \quad (82)$$

Wichtig ist die Überprüfung ob die Funktion für das Fahrzeug, unter Berücksichtigung des maximalen Lenkwinkels, befahrbar ist. Wenn nicht muss die Zielkoordinate verändert werden. Der Radius den ein Fahrzeug bei konstantem Lenkwinkel fährt ist $r_p(t) = \frac{L}{\tan(\alpha(t))}$ und die Krümmung k ist $k = \frac{1}{r_p(t)}$. Durch den begrenzten Lenkwinkel ergibt sich ein maximale Krümmung der Kurve, die eingehalten werden muss, für ein Polynom ist die Krümmung wie folgt definiert[27]:

$$\frac{1}{r(t)} = k = \frac{y''}{[1+(y')^2]^{3/2}}$$

Der Wenderadius $r_p(t)$ ergibt sich aus der Umformung:

$$r_p(t) \leq r(t) = \left| \frac{(1+f'(x)^2)^{3/2}}{f''(x)} \right|$$

Der einzustellende Lenkwinkel zu jeder Koordinate ergibt:

$$\alpha(t) = \arctan\left(\frac{L}{r_p(t)}\right)$$

Die Funktion muss damit den folgenden Lenkwinkel einhalten:

$$\alpha_{max} \leq |\alpha(t)| = \left| \arctan\left(\frac{L}{r_p(t)}\right) \right|$$

Etwas aufwendiger ist das zeitlich korrekte setzen des Lenkwinkels und der Geschwindigkeit unter Berücksichtigung der Lenkwinkel- und Geschwindigkeitsbeschleunigung.

Eine Regelung ist beim abfahren von Funktionen notwendig, da über die Berechnung Genauigkeitsfehler entstehen, die Regelung stellt sich im ersten Ansatz als nicht einfach dar.

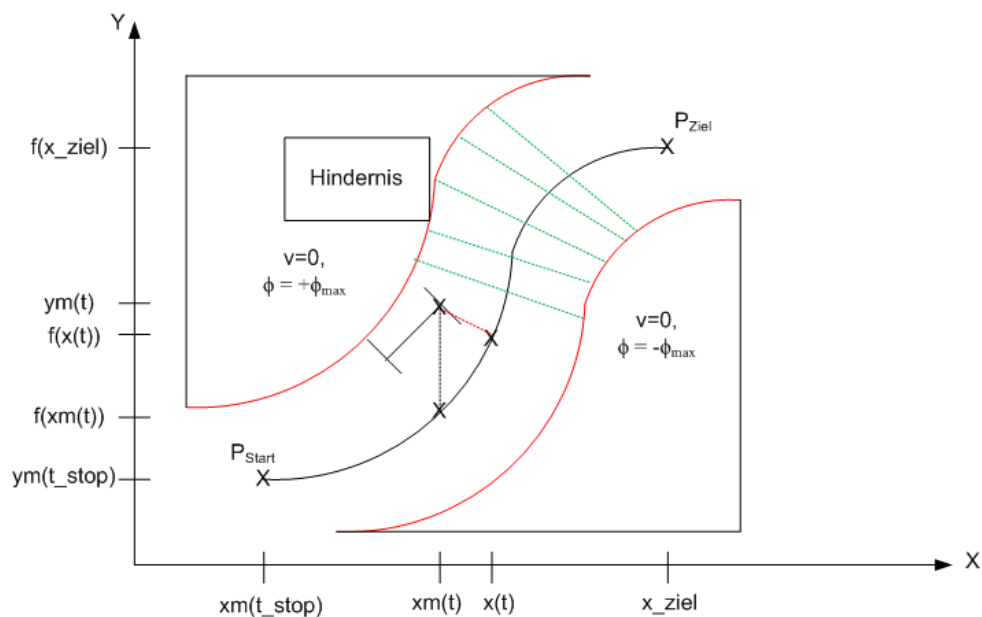


Abb. 59: Eine kubische Funktion zur Bahnerzeugung, Problem der Regelung bei Regelabweichung

Eine Abweichung der Soll-Kurve soll hier im Bezug zum Funktionskoordinate mit dem kürzesten Abstand zum Fahrzeug zur Regelung genutzt werden. Der kürzeste Abstand kann nur über eine Suche realisiert werden, indem zum Istwert der X-Koordinate der Fahrzeugposition der Y-Sollwert berechnet wird. Die Suchrichtung zum kürzesten Abstand kann über die benachbarten X-Istwerte und den daraus berechneten Y-Sollwerte berechnet werden. Über den Satz des Pythagoras wird der Abstand berechnet, wird der Abstand zu steigenden X-Istwerten kleiner, so wird zu steigenden X-Werten weiter gesucht. Eine Verbesserung ist eine Kombination von Funktionen und Virtueller Deichsel mit dem Verstärkungsfaktor 1, entlang der Funktion werden Stützpunkte für Deichselbezugspunkte gesucht, die das Fahrzeug immer von Stützstelle zu Stützstelle abfährt.

Ein wesentlicher Nachteil von Funktionen ist, dass die Krümmung der Kurve nicht durchgehend maximal ist und somit nicht der minimale Raum genutzt wird um einzuparken.

C Zusätzliche Simulationsergebnisse

Das folgende Simulationsergebnis zeigt die Symmetrieeigenschaft der Virtuellen Deichsel, bei gleich großer positiver und negativer Geschwindigkeit und identischen Entfernungen zum Ziel.

Symmetrieeigenschaften der Virtuellen Deichsel bei Vorwärts- und Rückwärtsfahrt**Vorwärtsfahrt**

<u>Deichsel- bezugspunkt</u>	<u>Verstärkungs- Faktor</u>	<u>PStart [xp, yp]</u>	<u>Ziel</u>	<u>xp</u>	<u>yp</u>	<u>Theta [Grad]</u>
[xp,yp]	2,00	[0,0]	[10,10]	10,0000	10,0002	-3,97426
[xp,yp]	4,00	[0,0]	[10,10]	10,0000	10,0000	-0,06338
[xp,yp]	6,00	[0,0]	[10,10]	10,0000	10,0000	-0,00475
[xp,yp]	8,00	[0,0]	[10,10]	10,0000	10,0000	-0,00103
[xp,yp]	10,00	[0,0]	[10,10]	10,0000	10,0000	0,00007
[xp,yp]	12,00	[0,0]	[10,10]	10,0000	10,0000	0,00026
[xp,yp]	14,00	[0,0]	[10,10]	10,0000	10,0000	-0,00022
[xp,yp]	2,00	[0,0]	[2,1]	2,0000	1,0103	-13,14829
[xp,yp]	4,00	[0,0]	[2,1]	2,0000	0,9692	-3,38809
[xp,yp]	6,00	[0,0]	[2,1]	2,0000	0,9474	-28,32848
[xp,yp]	8,00	[0,0]	[2,1]	2,0000	0,9838	-45,52235
[xp,yp]	10,00	[0,0]	[2,1]	2,0000	1,0327	-48,89520
[xp,yp]	12,00	[0,0]	[2,1]	2,0000	1,0714	-48,87907
[xp,yp]	14,00	[0,0]	[2,1]	2,0000	1,1022	-48,87930

Rückwärtsfahrt

<u>Deichsel- bezugspunkt</u>	<u>Verstärkungs- Faktor</u>	<u>PStart [xp, yp]</u>	<u>Ziel</u>	<u>xp</u>	<u>yp</u>	<u>Theta [Grad]</u>
[xp,yp]	2,00	[10,10]	[0,0]	0,0000	-0,0002	-3,97426
[xp,yp]	4,00	[10,10]	[0,0]	0,0000	0,0000	-0,06338
[xp,yp]	6,00	[10,10]	[0,0]	0,0000	0,0000	-0,00475
[xp,yp]	8,00	[10,10]	[0,0]	0,0000	0,0000	-0,00103
[xp,yp]	10,00	[10,10]	[0,0]	0,0000	0,0000	0,00007
[xp,yp]	12,00	[10,10]	[0,0]	0,0000	0,0000	0,00026
[xp,yp]	14,00	[10,10]	[0,0]	0,0000	0,0000	-0,00022
[xp,yp]	2,00	[2,1]	[0,0]	0,0000	-0,0103	-13,14908
[xp,yp]	4,00	[2,1]	[0,0]	0,0000	0,0308	-3,38809
[xp,yp]	6,00	[2,1]	[0,0]	0,0000	0,0526	-28,32848
[xp,yp]	8,00	[2,1]	[0,0]	0,0000	0,0162	-45,52235
[xp,yp]	10,00	[2,1]	[0,0]	0,0000	-0,0327	-48,89520
[xp,yp]	12,00	[2,1]	[0,0]	0,0000	-0,0714	-48,87907
[xp,yp]	14,00	[2,1]	[0,0]	0,0000	-0,1022	-48,87930

Abb. 60: Symmetrieeigenschaft der Virtuellen Deichsel bei Vorwärts- und Rückwärtsfahrt, Achswinkel am Start und am Ziel beträgt 0 Grad

D Matlab Codes

D.1 Einparkphasen

D.1.1 Testbench Einparkassistent

```

1 % Skript-File zum Einparkassistenten
2 clear;
3 global fahrzeug_breite Weg
4 global L max_winkel rp rm x_Ziel y_Start alpha_soll vm t_max
5 global Start hindernis_rechts hindernis_links gui
6 global maxSteps dt verst
7 global abst_hindernis_zu_linie f_breite toleranz f_laenge_h minAbstand
   r_KA f_laenge_v
8 global szenario
9
10 % ***** Konfigurationsparameter *****
11 maxSteps = 100000; % maximale Anzahl von
   Abtastschritten
12 dt = 0.02; % Abtastperiode in s
13 L = 0.257; % Achsabstand SOC-Fahrzeug [m]
14 max_winkel_grad = 20; % Maximaler Lenkwinkel [Grad]
15 max_winkel = max_winkel_grad/180*pi; % Maximaler Lenkwinkel [rad]
16 rp = L / tan(max_winkel); % Wenderadius der Hinterachse
17 rm = L / sin(max_winkel); % Wenderadius der Vorderachse
18 abst_hindernis_zu_linie = 0.02;
19 toleranz = 0.05;
20 minAbstand = 0.05;
21 f_breite = 0.202; % anpassen!!!! [m] (symmetrisch)
22 f_laenge_v = 0.08; % Fahrzeuglaenge nach vorne, gemessen
   ab der Vorderachse
23 f_laenge_h = 0.05; % Fahrzeuglaenge nach hinten, gemessen
   ab der Hinterachse
24 alpha_soll = 0;
25 r_KI = rp - f_breite/2;
26 r_KA = sqrt((L+f_laenge_v)^2 + (rp + f_breite/2)^2);
27 parkluecke_breite = 0.7; %0.5 0.6
28 axisSize = struct('xl',0,'xh',4.5,'yl',0,'yh',2); % Breite und Hoehe
   der darzustellenden Achsen
29
30 fahrspurmitte = struct('y',1);
31 hindernis_links = struct('x',2.5,'y',fahrspurmitte.y-0.24);
32 hindernis_rechts = struct('x',hindernis_links.x+parkluecke_breite,'y',
   fahrspurmitte.y-0.24);
33
34
35 % ***** Datenstrukturen *****
36 finalC = struct('x',[],'y',[]);
37 Start = struct('x',[],'y',[],'theta',[]);
38 Start1 = struct('x',[],'y',[],'theta',[]);
39 Start2 = struct('x',[],'y',[],'theta',[]);
40 Ziel = struct('x',[],'y',[],'theta',[]);
41 B1 = struct('x',[],'y',[],'theta',[]);
42 B2 = struct('x',[],'y',[],'theta',[]);
43 B = struct('x',[],'y',[],'theta',[]);
44 omega_1 = struct('x',[],'y',[]);
45 omega_2 = struct('x',[],'y',[]);
46 omega_21 = struct('x',[],'y',[]);
47 omega_22 = struct('x',[],'y',[]);
48 next_position = struct('x',-1,'y',-1,'theta',-1,'weg',-1);

```

```

49 Weg = struct('k1',[],'k2',[]);
50
51 % ***** GUI *****
52 gui = guidata(GUI); % Singleton GUI
53 axes(gui.axes1);
54 cla(gui.axes1,'reset'); % Plot Inhalt Loeschen
55 set(gui.axes1,'XMinorTick','on');
56 axis([axisSize.xl axisSize.xh axisSize.yl axisSize.yh]); %skaliert
    die Achsen
57 grid on;
58 plot(0,0,'r');hold on; %Hinterachse
59 plot(0,0,'b'); hold on; %Vorderachse
60 legend('Hinterachse','Vorderachse','Location','SouthOutside'); hold on;
61
62 % Strasse plotten
63 plot([axisSize.xl, axisSize.xh], [fahrspurmitte.y+0.62, fahrspurmitte.y
    +0.62],'k-'); hold on;
64 plot([axisSize.xl, axisSize.xh], [fahrspurmitte.y+0.64, fahrspurmitte.y
    +0.64],'k-'); hold on;
65 plot([axisSize.xl, axisSize.xh], [fahrspurmitte.y+0.2, fahrspurmitte.y
    +0.2],'k-'); hold on;
66 plot([axisSize.xl, axisSize.xh], [fahrspurmitte.y+0.22, fahrspurmitte.y
    +0.22],'k-'); hold on;
67 plot([axisSize.xl, axisSize.xh], [fahrspurmitte.y-0.2, fahrspurmitte.y
    -0.2],'k-'); hold on;
68 plot([axisSize.xl, axisSize.xh], [fahrspurmitte.y-0.22, fahrspurmitte.y
    -0.22],'k-'); hold on;
69
70 % Hindernisse plotten
71 kreuz_breite_halbe = 0.01;
72 fill([hindernis_links.x hindernis_links.x-(0.3) hindernis_links.x-(0.3)
    hindernis_links.x],[hindernis_links.y hindernis_links.y
    hindernis_links.y-0.3 hindernis_links.y-0.3],'b'); hold on;
73 fill([hindernis_rechts.x hindernis_rechts.x+(0.3) hindernis_rechts.x
    +(0.3) hindernis_rechts.x],[hindernis_rechts.y hindernis_rechts.y
    hindernis_rechts.y-0.3 hindernis_rechts.y-0.3],'b'); hold on;
74
75 % ***** GUI *****
76
77
78 % GUI-Felder auslesen und in struktur speichern, Format: (X,Y,Winkel)
79 % TODO
80 %Start = struct('x',str2double(get(gui.edit13,'String')),'y',str2double(
    get(gui.edit14,'String')),'theta',str2double(get(gui.edit15,'String')
    ));
81 %linke_Hindernis = struct('x',str2double(get(gui.edit1,'String')),'y',
    str2double(get(gui.edit8,'String')),'Winkel',str2double(get(gui.edit9
    ,'String')));
82 %rechte_Hindernis =
83 %struct('x',str2double(get(gui.edit10,'String')),'y',str2double(get(gui.
    edit11,'String')),'Winkel',str2double(get(gui.edit12,'String'))
84
85 axis([axisSize.xl axisSize.xh axisSize.yl axisSize.yh]);%skaliert die
    Achsen
86
87 t_max = 0;
88 t_new = 0;
89 fhzg_state_new =0;
90 eingeparkt = 0;

```

```

91
92 finalC.y = hindernis_links.y + abst_hindernis_zu_linie - f_breite/2 -
    toleranz; % Endposition in der Parklücke berechnen
93 finalC.x = hindernis_links.x + f_laenge_h + minAbstand;
94 % Berechnung der Startposition für den ersten Einparkschritt
95 [Start_positionieren B Ziel] = phase_ersterEinparkschritt(
    hindernis_rechts , fahrspurmitte , finalC);
96
97 Start.x = 0;
98 Start.y = min(Start_positionieren.y, fahrspurmitte.y+0.05);
99 fahrspurmitte.y = Start.y; % neue virtuelle Fahrspurmitte für
    die Spurführung ist die Y-Startkoordinate
100 Start.theta = 0*pi/180;
101
102 %%%%%%%%%%%%%%%%%%%%%%%%%%%%%%%%%%%%%%%%%%%%%%%%%%%%%%%%%%%%%%%%%%%%%%%%%% AUSWAHL VON EINZELNEN SIMULATIONEN DER
    EINPARKPHASEN
103 %%%%%%%%%%%%%%%%%%%%%%%%%%%%%%%%%%%%%%%%%%%%%%%%%%%%%%%%%%%%%%%%%%%%%%%%%% HIER AUSWÄHLEN
    %%%%%%%%%%%%%%%%%%%%%%%%%%%%%%%%%%%%%%%%%%%%%%%%%%%%%%%%%%%%%%%%%%%%%%%%%%
104 first_call = 0; % falls einzelne Einparkphasen getestet
    werden sollen
105 sim_phase = 4; % zur Simulation einzelner Einparkphasen (
    ohne vorherige Phasen zu simulieren / plotten)
106 nterSchritt_szenario = 1; % nur bei sim_phase 3 setzbar
107 ersterSchrittSzenario = 1;
108 switch sim_phase
109     case 0, %Spurführung
110         Start.x = 0;
111         Start.y = 0.7;
112         Start.theta = 0.2;
113         phase = 0;
114     case 1, %Positionierung
115         phase = 1;
116         Start.x = 1.6000;
117         Start.y = 1.1574;
118         Start.theta = 0.0;
119         fhzg_init = [ Start.theta; Start.x + cos( Start.theta)*L; Start.y +
            sin( Start.theta) * L; Start.x; Start.y; -0.3491;0];
120
121         tspan = [0: dt: maxSteps*dt];
122     case 2, %Erster Einparkschritt
123
124         if(ersterSchrittSzenario==1) %Szenario 2
125             % finalC.y = finalC.y + 0.2;
126             % hindernis_rechts.x = hindernis_rechts.x + 0.1;
127             fahrspurmitte.y = fahrspurmitte.y +0.2;
128             [Start B Ziel] = phase_ersterEinparkschritt(hindernis_rechts ,
                fahrspurmitte , finalC);
129             phase = 2;
130             fhzg_init = [0; Start.x+L; Start.y; Start.x; Start.y;0;0];
131             tspan = [0: dt: maxSteps*dt];
132         else
133             [Start B Ziel] = phase_ersterEinparkschritt(hindernis_rechts
                , fahrspurmitte , finalC);
134
135             phase = 2;
136             fhzg_init = [0; Start.x+L; Start.y; Start.x; Start.y;0;0];
137             tspan = [0: dt: maxSteps*dt];
138         end
139     case 3, %NterEinparkschritt

```

```

140     phase = 3;
141     first_call = 1;
142     tspan = [0:dt:maxSteps*dt];
143     switch nterSchritt_szenario
144         case 1,          % szenario 1 ==> Vorwärts , 2 Kurven
145             Start.x = 2.6000;
146             Start.y = 0.7574;
147             Start.theta = 0.2;
148             fhzg_init = [ Start.theta; Start.x + cos(Start.theta)*L;
149                          Start.y + sin(Start.theta) * L; Start.x; Start.y;0;0];
149         case 2,          % szenario 2 ==> Vorwärts , 1 Linkskurve
150             Start.x = 2.6000;
151             Start.y = 0.7574;
152             Start.theta = -1;
153             fhzg_init = [ Start.theta; Start.x + cos(Start.theta)*L;
154                          Start.y + sin(Start.theta) * L; Start.x; Start.y
155                          ;-0.3491;0];
154
155         case 3,
156             Start.x = 2.6000;
157             Start.y = 0.7574;
158             Start.theta = 1;
159             fhzg_init = [ Start.theta; Start.x + cos(Start.theta)*L;
160                          Start.y + sin(Start.theta) * L; Start.x; Start.y
161                          ;-0.3491;0];
160         case 4,          % szenario 4 ==> Rückwärts , 2 Kurven
161             Start.x = 2.8130;
162             Start.y = 0.7413;
163             Start.theta = 0.2;
164             fhzg_init = [ Start.theta; Start.x + cos(Start.theta)*L;
165                          Start.y + sin(Start.theta) * L; Start.x; Start.y
166                          ;-0.3491;0];
165         case 5,          % szenario 5 ==> Rückwärts , 1 Rechtskurve
166             Start.x = 2.8130;
167             Start.y = 0.7413;
168             Start.theta = 1;
169             fhzg_init = [ Start.theta; Start.x + cos(Start.theta)*L;
170                          Start.y + sin(Start.theta) * L; Start.x; Start.y
171                          ;-0.3491;0];
170         case 6,          % szenario 6 ==> Rückwärts , 1 Linkskurve
171             Start.x = 2.8130;
172             Start.y = 0.7413;
173             Start.theta = -1;
174             fhzg_init = [ Start.theta; Start.x + cos(Start.theta)*L;
175                          Start.y + sin(Start.theta) * L; Start.x; Start.y
176                          ;-0.3491;0];
175     end
176     case 4,              % Fahrzeug ausrichten
177         phase = 4;
178         first_call = 1;
179         Start.x = finalC.x;
180         Start.y = finalC.y;
181         Start.theta = 30*pi / 180;
182         fhzg_init = [ Start.theta; Start.x + cos(Start.theta)*L; Start.y +
183                      sin(Start.theta) * L; Start.x; Start.y; -0.3491;0];
183         tspan = [0:dt:maxSteps*dt];
184 end
185
186 kreuz_breite_halbe = 0.01;

```

```

187 plot([ Start.x-kreuz_breite_halbe , Start.x+kreuz_breite_halbe ], [ Start.y-
      kreuz_breite_halbe , Start.y+kreuz_breite_halbe ], 'r'); hold on;
188 plot([ Start.x-kreuz_breite_halbe , Start.x+kreuz_breite_halbe ], [ Start.y+
      kreuz_breite_halbe , Start.y-kreuz_breite_halbe ], 'r'); hold on;
189
190 while eingeparkt == 0
191     t_old = t_new;
192     fhzg_state_old = fhzg_state_new;
193     switch phase
194         case 0
195             set(gui.text46 , 'String' , 'Spurführung');
196             [Ziel verst] = phase_Spurfuehrung(Start , fahrspurmitte); %
              Berechnen der nächsten Koordinate und dem
              Verstärkungsfaktor
197
198             vm = 0.1; %
              Vorwärts fahren
199             next_position.x = Ziel.x; % Event setzen
200             next_position.y = -1; % Event ausschalten
201             next_position.weg = -1;
202             t_max = -1;
203
204             if(t_new ==0) %
              das erste Mal das Simulationsmodell initialisieren
205                 tspan = [0:dt:maxSteps*dt];
206                 fhzg_init = [ Start.theta; Start.x+L*cos( Start.theta);
              Start.y+L*sin( Start.theta); Start.x; Start.y;0;0];
              % [theta , xm , ym , xp , yp , alpha_ist , s]
207             else
208                 tspan = [te(length(te)):dt:maxSteps*dt];
              % die neue Simulation mit den Daten der letzten
              Simulation initialisieren
209                 last_index = length(fhzg_state(:,1));
210                 fhzg_init = [fhzg_state(last_index,1);fhzg_state(
              last_index,2);fhzg_state(last_index,3);fhzg_state(
              last_index,4);fhzg_state(last_index,5);fhzg_state(
              last_index,6);fhzg_state(last_index,7)]; %
              Startzustandsvektor [theta , xm , ym , xp , yp , alpha_ist
              , s]
211             end
212             options = odeset('OutputFcn',@(t,fhzg_state,flag)
              outputFunction_dchsl(t,fhzg_state,flag,Ziel,verst,
              max_winkel,gui),'MaxStep',dt,'Events',@(t,
              fhzg_state)Event_dchsl(t,fhzg_state,t_max,
              next_position),'Refine',1);
213             [t fhzg_state te ye ie] = ode45(@(t,fhzg_state)fhzg_modell(
              t,fhzg_state,L),tspan,fhzg_init,options);
214
215             theta = fhzg_state(length(fhzg_state(:,1)),1);
216             xp = fhzg_state(length(fhzg_state(:,4)),4);
217             yp = fhzg_state(length(fhzg_state(:,5)),5);
218             alpha_ist = fhzg_state(length(fhzg_state(:,6)),6);
219             s_ist = fhzg_state(length(fhzg_state(:,7)),7);
220             setGuiText(vm,s_ist,xp,yp,theta,alpha_soll,alpha_ist,
              gui); % Zwischenwerte plotten
221
222             Start.x = xp; %

```

```

        letzte Koordinaten sind die neuen Koordinaten der
        nächsten Simulation
223     Start.y = yp;
224     Start.theta = theta;
225
226     if(Start.x >= hindernis_rechts.x) % irgendwo hinter dem
        rechten Hindernis anhalten
227         phase = phase + 1;
228         vm = 0;
229     end
230
231     case 1
232
233         set(gui.text46, 'String', 'Positionierung');
234         finalC.y = hindernis_links.y + abst_hindernis_zu_linie -
            f_breite/2 - toleranz; % Endposition berechnen
235         finalC.x = hindernis_links.x + f_laenge_h + minAbstand;
236         [Start_positionieren B Ziel] = phase_ersterEinparkschritt(
            hindernis_rechts, fahrspurmitte, finalC); % Berechnung
            der Startposition
237         [Ziel verst] = phase_Positionierung(Start,
            Start_positionieren); % Wegplanung mit dem Ziel
            Startposition des ersten Einparkschrittes
238
239         if(Start.x < Ziel.x)
240             vm = 0.1;
241         else
242             vm = -0.1;
243         end
244
245         next_position.x = Ziel.x; % Event setzen
246         next_position.y = -1; % Event ausschalten
247         next_position.weg = -1;
248         t_max = -1;
249         if(sim_phase ~= 1)
250             tspan = [te(length(te)):dt:maxSteps*dt];
251             last_index = length(fhzg_state(:,1));
252             fhzg_init = [fhzg_state(last_index,1); fhzg_state(
                last_index,2); fhzg_state(last_index,3); fhzg_state(
                last_index,4); fhzg_state(last_index,5); fhzg_state(
                last_index,6); fhzg_state(last_index,7)]; %
                Startzustandsvektor [theta, xm, ym, xp, yp, alpha_ist
                , s]
253         end
254         if(sim_phase == 1) %Simulationsauswahl
255             sim_phase = 0;
256         end
257         options = odeset('OutputFcn',@(t, fhzg_state, flag)
            outputFunction_dchsl(t, fhzg_state, flag, Ziel, verst,
            max_winkel, gui), 'MaxStep', dt, 'Events', @(t,
            fhzg_state)Event_dchsl(t, fhzg_state, t_max,
            next_position), 'Refine', 1);
258         [t fhzg_state te ye ie] = ode45(@(t, fhzg_state)fhzg_modell(
            t, fhzg_state, L), tspan, fhzg_init, options);
259
260         theta = fhzg_state(length(fhzg_state(:,1)),1);
261         xp = fhzg_state(length(fhzg_state(:,4)),4);
262         yp = fhzg_state(length(fhzg_state(:,5)),5);
263         alpha_ist = fhzg_state(length(fhzg_state(:,6)),6);

```



```

264     s_ist = fhzg_state(length(fhzg_state(:,7)),7);
265     setGuiText(vm, s_ist, xp, yp, theta, alpha_soll, alpha_ist,
        gui); % GUI-Daten plotten
266
267     delta_x = abs(xp - Start_positionieren.x);
268     delta_y = abs(yp - Start_positionieren.y);
269     delta_theta = abs(theta - Start_positionieren.theta)*180/pi;
270     if(delta_x <= 0.05 && delta_y <= 0.05 && delta_theta <= 5 )
        % Positionieren beenden wenn Konfiguration innerhalb
        einer Toleranz liegt
271         phase = phase + 1;
272         vm = 0;
273     end
274     Start.x = xp;
275     Start.y = yp;
276     Start.theta = theta;
277
278     case 2
279
280     set(gui.text46, 'String', 'Erster_Einparkschritt');
281     [Start B Ziel] = phase_ersterEinparkschritt(hindernis_rechts
        , fahrspurmitte, finalC);
282
283     phase_step = 0;
284     while(phase_step <= 3)
285         switch phase_step % 4 Schritte für den ersten
            Einparkschritt
286             case 0 % Anhalten und umlenken
287                 set(gui.text48, 'String', 'anhalten_und_umlenken'
                    );
288                 alpha_soll = max_winkel;
289                 if(sim_phase ~= 2)
290                     t_max = te(length(te)) + 0.29475; % Events
                    setzen
291                 else
292                     t_max = 0.29475;
293                 end
294                 next_position.x = -1;
295                 next_position.y = -1;
296                 next_position.weg = -1;
297             case 1 % 1. Kurve
298                 set(gui.text48, 'String', 'Rechtskurve');
299                 alpha_soll = max_winkel;
300                 next_position.x = B.x; % Events setzen
301                 next_position.y = B.y;
302                 next_position.theta = B.theta;
303                 next_position.weg = fhzg_state(length(
                    fhzg_state(:,7)),7) + Weg.k1;
304                 t_max = -1;
305             case 2 % Anhalten und umlenken
306                 set(gui.text48, 'String', 'anhalten_und_umlenken'
                    );
307                 alpha_soll = -max_winkel;
308                 t_max = te(length(te)) + 0.3; % Events setzen
309                 next_position.x = -1;
310                 next_position.y = -1;
311                 next_position.weg = -1;
312             case 3 %2. Kurve
313                 set(gui.text48, 'String', 'Linkskurve');

```

```

314         alpha_soll = -max_winkel;
315         next_position.x = Ziel.x; % Events setzen
316         next_position.y = Ziel.y;
317         next_position.weg = fhzg_state(length(
                fhzg_state(:,7)),7) + Weg.k2;
318         t_max = -1;
319     end
320
321     if(phase_step == 0 || phase_step == 2) % Anhalten
        und umlenken
322         vm = 0;
323     else
324         vm = -0.1;
325     end
326
327     if ~(sim_phase == 2 && phase_step == 0)
328         tspan = [te(length(te)):dt:maxSteps*dt];
329         last_index = length(fhzg_state(:,1));
330         fhzg_init = [fhzg_state(last_index,1);fhzg_state(
                last_index,2);fhzg_state(last_index,3);fhzg_state(
                last_index,4);fhzg_state(last_index,5);
                fhzg_state(last_index,6);fhzg_state(last_index,7)
                ];
331     end
332
333     options = odeset('OutputFcn',@(t,fhzg_state,flag)
        outputFunction(t,fhzg_state,flag,vm,alpha_soll,gui
        ),'MaxStep',dt,'Events',@(t,fhzg_state)
        Event_kreistechnik(t,fhzg_state,t_max,
        next_position),'Refine',1);
334 [t fhzg_state te ye ie] = ode45(@(t,fhzg_state)
        fhzg_modell(t,fhzg_state,L),tspan,fhzg_init,
        options);
335
336     phase_step = phase_step + 1;
337     if(phase_step == 4)
338         alpha_soll = 0;
339         phase = phase + 1;
340         yp = fhzg_state(length(fhzg_state(:,5)),5);
341         if(yp <= finalC.y)
342             eingeparkt = 1; % Ende
343         end
344     end
345 end
346 theta = fhzg_state(length(fhzg_state(:,1)),1);
347 xp = fhzg_state(length(fhzg_state(:,4)),4);
348 yp = fhzg_state(length(fhzg_state(:,5)),5);
349 alpha_ist = fhzg_state(length(fhzg_state(:,6)),6);
350 s_ist = fhzg_state(length(fhzg_state(:,7)),7);
351 setGuiText(vm,s_ist,xp,yp,theta,alpha_soll,alpha_ist,
        gui);% GUI-Daten plotten
352
353 case 3
354     set(gui.text46,'String','_Nter_Einparkschritt');
355
356     if( first_call == 0 )
357         Start.x = fhzg_state(length(fhzg_state(:,4)),4);
358         Start.y = fhzg_state(length(fhzg_state(:,5)),5);
359         Start.theta = fhzg_state(length(fhzg_state(:,1)),1);

```

```

360     end
361     [B Ziel] = phase_NterEinparkschritt(Start , hindernis_rechts
362         , hindernis_links); % nächsten Einparkschritt berechnen
363     phase_ende = 0;
364     if(B.x == 0)
365         phase_step = 2;
366     else
367         phase_step = 0;
368     end
369     while(phase_step <= 3)
370
371         if(phase_step == 0 || phase_step == 2)
372             vm = 0;
373         else
374             if(Start.x < Ziel.x)
375                 vm = 0.1;
376             else
377                 vm = -0.1;
378             end
379         end
380
381         switch phase_step
382             case 0 % Anhalten und umlenken
383                 set(gui.text48 , 'String' , 'anhalten_und_umlernen')
384                 ;
385                 alpha_soll = max_winkel;
386                 if(first_call == 0)
387                     t_max = te(length(te)) + 0.29475; % Events
388                     setzen
389                 else
390                     t_max = 0.29475;
391                 end
392                 next_position.x = -1;
393                 next_position.y = -1;
394                 next_position.weg = -1;
395             case 1 % 1. Kurve , Rechtskurve
396                 set(gui.text48 , 'String' , 'Rechtskurve');
397                 s_ist = fhzg_state(length(fhzg_state(:,7)),7);
398                 alpha_soll = max_winkel;
399                 next_position.x = B.x;
400                 next_position.y = B.y;
401                 next_position.weg = Weg.k1+s_ist;
402                 t_max = -1;
403             case 2 % Anhalten und umlenken
404                 set(gui.text48 , 'String' , 'anhalten_und_umlernen')
405                 ;
406
407                 if(first_call == 0)
408                     t_max = te(length(te)) + 0.29475;
409                 else
410                     t_max = 0.29475;
411                 end
412                 if(szenario == 2 || szenario == 5 || szenario ==
413                     1 || szenario == 4)
414                     alpha_soll = -max_winkel;
415                 else
416                     alpha_soll = max_winkel;
417                 end
418             end
419         end
420     end
421 end

```

```

414         next_position.x = -1;
415         next_position.y = -1;
416         next_position.weg = -1;
417         case 3 %2. Kurve, Linkskurve
418             set(gui.text48, 'String', 'Linkskurve');
419             s_ist = fhzg_state(length(fhzg_state(:,7)),7);
420             next_position.weg = Weg.k2+s_ist;
421             next_position.x = Ziel.x;
422             next_position.y = Ziel.y;
423             t_max = -1;
424         end
425
426
427         if (first_call == 0)
428             tspan = [te(length(te)):dt:maxSteps*dt];
429             last_index = length(fhzg_state(:,1));
430             fhzg_init = [fhzg_state(last_index,1); fhzg_state(
431                 last_index,2); fhzg_state(last_index,3); fhzg_state(
432                 last_index,4); fhzg_state(last_index,5);
433                 fhzg_state(last_index,6); fhzg_state(last_index,7)
434                 ]];
435             else
436                 first_call = 0;
437             end
438             options = odeset('OutputFcn',@(t, fhzg_state, flag)
439                 outputFunction(t, fhzg_state, flag, vm, alpha_soll, gui
440                 ), 'MaxStep', dt, 'Events', @(t, fhzg_state)
441                 Event_kreistechnik(t, fhzg_state, t_max,
442                 next_position), 'Refine', 1);
443             [t fhzg_state te ye ie] = ode45(@(t, fhzg_state)
444                 fhzg_modell(t, fhzg_state, L), tspan, fhzg_init,
445                 options);
446
447             theta = fhzg_state(length(fhzg_state(:,1)),1);
448             phase_step = phase_step + 1;
449             if(phase_step == 4)
450                 alpha_soll = 0;
451                 yp = fhzg_state(length(fhzg_state(:,5)),5);
452                 if(yp <= finalC.y)
453                     phase = phase + 1; % Ziel-Tiefe in der
454                         Parklücke erreicht
455                     theta = fhzg_state(length(fhzg_state(:,1)),1);
456                     if(abs(theta*180/pi) <= 5)
457                         eingeparkt = 1; % Zielkonfiguration
458                             erreicht
459                     end
460                 end
461             end
462         end
463     end
464
465     theta = fhzg_state(length(fhzg_state(:,1)),1);
466     xp = fhzg_state(length(fhzg_state(:,4)),4);
467     yp = fhzg_state(length(fhzg_state(:,5)),5);
468     alpha_ist = fhzg_state(length(fhzg_state(:,6)),6);
469     s_ist = fhzg_state(length(fhzg_state(:,7)),7);
470     setGuiText(vm, s_ist, xp, yp, theta, alpha_soll, alpha_ist,
471         gui); % GUI-Daten plotten
472
473 case 4

```

```

460     set(gui.text46, 'String', 'Fahrzeug_ausrichten');
461     if(first_call == 0)
462         Start.x = fhzg_state(length(fhzg_state(:,4)),4);
463         Start.y = fhzg_state(length(fhzg_state(:,5)),5);
464         Start.theta = fhzg_state(length(fhzg_state(:,1)),1);
465         tspan = [te(length(te)):dt:maxSteps*dt];
466         last_index = length(fhzg_state(:,1));
467         fhzg_init = [fhzg_state(last_index,1);fhzg_state(
                    last_index,2);fhzg_state(last_index,3);fhzg_state(
                    last_index,4);fhzg_state(last_index,5);fhzg_state(
                    last_index,6);fhzg_state(last_index,7)]; % [
                    theta, xm, ym, xp, yp, alpha_ist, s]
468     else
469         first_call = 0;
470     end
471     [Ziel verst] = phase_ausrichten(Start); % Parameter
472     zum Ausrichten berechnen
473
474     if(Start.x < Ziel.x)
475         vm = 0.1;
476     else
477         vm = -0.1;
478     end
479     next_position.x = Ziel.x; % Events
480     next_position.weg = -1;
481     next_position.y = -1;
482     t_max = -1;
483
484     options = odeset('OutputFcn',@(t,fhzg_state,flag)
485         outputFunction_dchsl(t,fhzg_state,flag,Ziel,verst,
486         max_winkel,gui),'MaxStep',dt,'Events',@(t,
487         fhzg_state)Event_dchsl(t,fhzg_state,t_max,
488         next_position),'Refine',1);
489     [t fhzg_state te ye ie] = ode45(@(t,fhzg_state)fhzg_modell(
490         t,fhzg_state,L),tspan,fhzg_init,options);
491
492     theta = fhzg_state(length(fhzg_state(:,1)),1);
493     xp = fhzg_state(length(fhzg_state(:,4)),4);
494     yp = fhzg_state(length(fhzg_state(:,5)),5);
495     alpha_ist = fhzg_state(length(fhzg_state(:,6)),6);
496     s_ist = fhzg_state(length(fhzg_state(:,7)),7);
497     setGuiText(vm,s_ist,xp,yp,theta,alpha_soll,alpha_ist,
498         gui); % GUI-Daten plotten
499
500     delta_theta = abs(theta)*180/pi;
501     delta_y = abs(yp - finalC.y);
502     if(delta_theta <= 5 && delta_y <=0.05) % mindestens 1/2
503         Meter hinter dem rechten Hindernis anhalten
504         eingeparkt = 1;
505         vm = 0;
506     end
507     if(delta_y > 0.05)
508         phase = phase -1;
509         first_call = 0; %Simulationsparameter der einzelnen
510         Einparkphasen löschen
511     end
512 end

```

```

505         Start.x = xp;           % letzte Fahrzeugkonfiguration ist die
           Neue im nächsten Schritt
506         Start.y = yp;
507         Start.theta = theta;
508     end
509
510     % Aufzeichnung aller Fahrzeugparameter
511     if(t_old == 0)
512         t_new = [t];
513         fhzg_state_new = [fhzg_state];
514     else
515         t_new = [t_old;t];
516         fhzg_state_new = [fhzg_state_old; fhzg_state];
517     end
518
519 end
520
521
522 % theta = fhzg_state_new(:,1);
523 % xp = fhzg_state_new(:,4);
524 % yp = fhzg_state_new(:,5);
525 % alpha = fhzg_state_new(:,6);
526 % alpha_grad = alpha .* 180 ./ pi;
527 %
528 % %Die Fahrzeugbegrenzung
529 % hinterachse_links_x = -sin(theta).*(-fahrzeug_breite/2)+hinterachse_x;
530 % hinterachse_rechts_x = -sin(theta).*(fahrzeug_breite/2)+hinterachse_x;
531 % hinterachse_links_y = cos(theta).*(-fahrzeug_breite/2)+hinterachse_y;
532 % hinterachse_rechts_y = cos(theta).*(fahrzeug_breite/2)+hinterachse_y;
533 % vorderachse_links_x = -sin(theta).*(-fahrzeug_breite/2)+vorderachse_x;
534 % vorderachse_rechts_x = -sin(theta).*(fahrzeug_breite/2)+vorderachse_x;
535 % vorderachse_links_y = cos(theta).*(-fahrzeug_breite/2)+vorderachse_y;
536 % vorderachse_rechts_y = cos(theta).*(fahrzeug_breite/2)+vorderachse_y;

```

D.1.2 Eventsteuerung der Virtuellen Deichsel

```

1
2 function [value, isterminal, direction] = Event_dchsl( t, fhzg_state,
   t_max, next_position)
3
4 xp = fhzg_state(4,1);
5 yp = fhzg_state(5,1);
6 s_ist = fhzg_state(7,1);
7
8 % *** value => der Wert, der Null werden soll ***
9 % *** isterminal => Simulationsreaktion auf das Finden einer Nullstelle
   ***
10 % 0 = Simulation fortführen
11 % 1 = Abbruch der Simulation
12 % *** direction => Richtung der Nullstellenüberquerung ***
13 % -1= vom Positivem ins Negative
14 % 0 = alle Nullstellen jeder Richtung
15 % 1 = vom Negativen ins Positive
16
17
18 value(1)      = next_position.x - xp;
19 isterminal(1) = 1;
20 direction(1)  = 0;           % Überschreitung in jede Richtung
21
22 value(2)      = next_position.y - yp;

```

```

23 isterminal(2) = 1;
24 direction(2) = 0;           % Überschreitung in jede Richtung

```

D.1.3 Eventsteuerung der Kreistechnik

```

1  function [value,isterminal,direction] = Event_kreistechnik( t,
      fhzg_state , t_max, next_position)
2
3  xp = fhzg_state(4,1);
4  yp = fhzg_state(5,1);
5  s_ist = fhzg_state(7,1);
6
7  % *** value => der Wert, der Null werden soll ***
8  % *** isterminal => Simulationsreaktion auf das Finden einer Nullstelle
      ***
9  % 0 = Simulation fortführen
10 % 1 = Abbruch der Simulation
11 % *** direction => Richtung der Nullstellenüberquerung ***
12 % -1= vom Positivem ins Negative
13 % 0 = alle Nullstellen jeder Richtung
14 % 1 = vom Negativen ins Positive
15
16 value(1) = next_position.weg - s_ist;
17 isterminal(1) = 1;
18 direction(1) = 0;
19
20 value(2) = t_max - t;           % if (t >= t_max)
21 isterminal(2) = 1;
22 direction(2) = -1;

```

D.1.4 Einparkphase - Spurführung

```

1  function [Ziel verst] = phase_Spurfuehrung(Start , fahrspurmitte)
2
3      Ziel.theta = 0;
4
5      if((Start.y > fahrspurmitte.y && Start.theta > 0) || (Start.y <
      fahrspurmitte.y && Start.theta < 0))
6          direction = -1;
7      else
8          direction = 1;
9      end;
10     dy = abs(Start.y - fahrspurmitte.y);
11     dtheta = abs(Start.theta - 0) * 180 / pi * direction;
12
13
14     Ziel.x = Start.x + 1;           %default
15     verst = 1;                       %default
16     Ziel.y = fahrspurmitte.y;       %default
17     if( dy >= 0 && dy <= 5 )        % Suchräume: F, G, M, P
18
19         if( dtheta > -10 && dtheta <= -5 )%M
20             Ziel.x = Start.x + 1;
21             verst = 5;
22         elseif (dtheta > -5 && dtheta < 0) %F
23             Ziel.x = Start.x + 0.5;
24             verst = 3;
25         elseif (dtheta > 0 && dtheta < 5) %G
26             Ziel.x = Start.x + 0.5;
27             verst = 2;

```

```

28     elseif (dtheta >= 5 && dtheta < 10) %P
29         Ziel.x = Start.x + 1;
30         verst = 2;
31     end
32
33     else % Suchräume: I, J, K, L
34         if( dtheta > -10 && dtheta <= -5 )%I
35             Ziel.x = Start.x + 1;
36             verst = 5;
37         elseif (dtheta > -5 && dtheta < 0) %J
38             Ziel.x = Start.x + 1;
39             verst = 5;
40         elseif (dtheta > 0 && dtheta < 5) %K
41             Ziel.x = Start.x + 1;
42             verst = 4;
43         elseif (dtheta >= 5 && dtheta < 10) %L
44             Ziel.x = Start.x + 1;
45             verst = 4;
46     end
47 end

```

D.1.5 Einparkphase - Positionierung

```

1 function [Ziel verst] = phase_Positionierung(Start , Start_positionieren)
2
3
4 Dx = abs(Start.x - Start_positionieren.x);
5 Dy = abs(Start.y - Start_positionieren.y);
6
7     if((Start.x > Start_positionieren.x && Start.y >
8         Start_positionieren.y && Start.theta < 0) ||
9         (Start.x > Start_positionieren.x && Start.y <
10            Start_positionieren.y && Start.theta > 0) ||
11            (Start.x < Start_positionieren.x && Start.y >
12                Start_positionieren.y && Start.theta > 0) ||
13            (Start.x < Start_positionieren.x && Start.y <
14                Start_positionieren.y && Start.theta < 0))
15         direction = -1;
16     else
17         direction = 1;
18     end;
19
20 Dtheta = abs(Start.theta*180/pi) * direction;
21
22 % H = (Dx >=30 && Dx <50) && (Dy > 0 && Dy <= 5) && (Dtheta >=5 &&
23     Dtheta < 10)
24 % P = (Dx >=50) && (Dy > 0 && Dy <= 5) && (Dtheta >=5 && Dtheta < 10)
25 % G = (Dx >=30 && Dx <50) && (Dy > 0 && Dy <= 5) && (Dtheta >0 && Dtheta
26     < 5)
27 % M = (Dx >=50) && (Dy > 0 && Dy <= 5) && (Dtheta >-10 && Dtheta <= -5)
28 % N = (Dx >=50) && (Dy > 0 && Dy <= 5) && (Dtheta >-5 && Dtheta < 0)
29 % O = (Dx >=50) && (Dy > 0 && Dy <= 5) && (Dtheta >0 && Dtheta < 5)
30 % Q = (Dx >=50) && (Dy > 5 && Dy <= 10) && (Dtheta >-10 && Dtheta <= -5)
31 % R = (Dx >=50) && (Dy > 5 && Dy <= 10) && (Dtheta >-5 && Dtheta < 0)
32 % S = (Dx >=50) && (Dy > 5 && Dy <= 10) && (Dtheta >0 && Dtheta < 5)
33 % T = (Dx >=50) && (Dy > 5 && Dy <= 10) && (Dtheta >=5 && Dtheta < 10)
34 if ((Dx >=0.30 && Dx <0.50) && (Dy > 0 && Dy <= 0.5) && (Dtheta >=5 &&
35     Dtheta < 10) || (Dx >=0.50) && (Dy > 0 && Dy <= 0.5) && (Dtheta >=5 &&
36     Dtheta < 10))
37     verst = 1;

```



```

30     Ziel.x = Start_positionieren.x;
31 elseif( ((Dx >=0.50) && (Dy > 0 && Dy <= 0.5) && (Dtheta >-10 && Dtheta
    <= -5)) || ((Dx >=0.50) && (Dy > 0 && Dy <= 0.5) && (Dtheta >-5 &&
    Dtheta < 0)) || ((Dx >=0.50) && (Dy > 0 && Dy <= 0.5) && (Dtheta >0
    && Dtheta < 5)) || ((Dx >=0.50) && (Dy > 0.5 && Dy <= 0.10) && (
    Dtheta >-10 && Dtheta <= -5)) || ((Dx >=0.50) && (Dy > 0.5 && Dy <=
    0.10) && (Dtheta >-5 && Dtheta < 0)) || ((Dx >=0.50) && (Dy > 0.5 &&
    Dy <= 0.10) && (Dtheta >0 && Dtheta < 5)) || ((Dx >=0.50) && (Dy >
    0.5 && Dy <= 0.10) && (Dtheta >=5 && Dtheta < 10)) )
32     verst = 2;
33     Ziel.x = Start_positionieren.x;
34 elseif((Dx >=0.30 && Dx <0.50) && (Dy > 0 && Dy <= 0.5) && (Dtheta >0 &&
    Dtheta < 0.5))
35     verst = 3;
36     Ziel.x = Start_positionieren.x;
37 else
38     verst = 1;
39     if(Start.x < Start_positionieren.x)
40         Ziel.x = Start.x - 1;
41     else
42         Ziel.x = Start.x + 1;
43     end
44 end
45
46 Ziel.y = Start_positionieren.y;
47 Ziel.theta = 0;

```

D.1.6 Einparkphase - Erster Einparkschritt

```

1
2 function [Start B Ziel] = phase_ersterEinparkschritt(hindernis_rechts ,
    fahrspurmitte , finalC)
3
4     global minAbstand rp r_KA Weg
5
6     omega_1.x = finalC.x;
7     omega_1.y = finalC.y + rp - 0.05;
8
9     if(sqrt((hindernis_rechts.x-omega_1.x)^2 + (omega_1.y -
    hindernis_rechts.y)^2) < (r_KA+minAbstand))
10         omega_1.y = hindernis_rechts.y + sqrt(((r_KA+minAbstand))^2-((
    hindernis_rechts.x-omega_1.x)^2));
11     end
12
13     omega_21.y = fahrspurmitte.y - rp;
14     omega_21.x = omega_1.x + sqrt((2*rp)^2 - (omega_1.y - omega_21.y)^2)
    ;
15
16     phi_1 = atan((omega_21.x-omega_1.x)/(omega_1.y - omega_21.y));
17     B1.x = omega_1.x + rp*sin(phi_1);
18     B1.y = omega_1.y - rp*cos(phi_1);
19     Start1.x = omega_21.x;
20     Start1.y = fahrspurmitte.y;
21
22     phi_2 = atan((hindernis_rechts.x-omega_1.x)/(omega_1.y -
    hindernis_rechts.y));
23     B2.x = omega_1.x + rp*sin(phi_2);
24     B2.y = omega_1.y - rp*cos(phi_2);
25     omega_22.x = omega_1.x + sin(phi_2) * 2 * rp;
26     omega_22.y = omega_1.y - cos(phi_2) * 2 * rp;

```

```

27 Start2.x = omega_22.x;
28 Start2.y = omega_22.y + rp;
29
30 Ziel.x = finalC.x;
31 Ziel.y = omega_1.y - rp;
32
33 if(B1.y > B2.y)
34     Start.x = Start1.x;
35     Start.y = Start1.y;
36     B.theta = phi_1;
37     B.x = B1.x;
38     B.y = B1.y;
39     Weg.k1 = rp * phi_1;
40     Weg.k2 = rp * phi_1;
41 else
42     Start.x = Start2.x;
43     Start.y = Start2.y;
44     B.theta = phi_2;
45     B.x = B2.x;
46     B.y = B2.y;
47     Weg.k1 = rp * phi_2;
48     Weg.k2 = rp * phi_2;
49 end
50
51 Start.theta = 0;
52 Ziel.theta = 0;
53
54 end

```

D.1.7 Einparkphase - N-Einparksschritte

```

1
2 function [B Ziel] = phase_NterEinparkschritt(Start, hindernis_rechts,
3     hindernis_links)
4     global f_laenge_h minAbstand rp L f_laenge_v szenario Weg
5     B.x = 0;
6     B.y = 0;
7     B.theta = 0;
8     richtung = 0;
9
10     if( Start.x < (hindernis_rechts.x - (hindernis_rechts.x
11         - hindernis_links.x)/2 - L/2))
12         richtung = 1; %von Links nach Rechts
13         einparken
14     end
15
16     omega1.x = Start.x + sin(Start.theta)*rp;
17     omega1.y = Start.y - cos(-Start.theta)*rp;
18
19     if(richtung == 0) % Einparkschritt von Rechts nach
20         Links
21         if(omega1.x < hindernis_links.x +
22             minAbstand + f_laenge_h)
23             % N2-Schritt3 ==> nur omega1
24             szenario = 6;
25         elseif(omega1.x - sin(Start.theta)*2*rp
26             < hindernis_links.x + minAbstand +
27             f_laenge_h)
28             % N2-Schritt2 ==> nur omega2

```

```

23                                     szenario = 5;
24                                     else
25                                     szenario = 4;
26                                     end
27     else                               % Einparkschritt von Links nach
        Rechts
28                                     if(omegal.x > hindernis_rechts.x -
        minAbstand - L - f_laenge_v)
29                                     % N_Schritt3 ==> nur omegal
30                                     szenario = 3;
31                                     elseif(omegal.x + sin(-Start.theta)*2*rp
        > hindernis_rechts.x - minAbstand -
        L - f_laenge_v)
32                                     % N-Schritt2 ==> nur omega2
33                                     szenario = 2;
34                                     else
35                                     szenario = 1;
36                                     end
37     end
38
39     if(szenario == 1)
40     omega2.x = hindernis_rechts.x - minAbstand - L - f_laenge_v;
41     omega2.y = omegal.y + sqrt((2*rp)^2 - (
        omega2.x-omegal.x)^2);
42     Ziel.x = omega2.x;
43     Ziel.y = omega2.y - rp;
44     Ziel.theta = 0;
45     beta = atan((omega2.x-omegal.x)/(omega2.y - omegal.y));
46     B.x = omega2.x - rp*sin(beta);
47     B.y = omega2.y - rp*cos(beta);
48     B.theta = -beta;
49     phi1 = beta + Start.theta;
50     phi2 = beta;
51     Weg.k1 = rp * phi1;
52     Weg.k2 = rp * phi2;
53
54
55     elseif(szenario == 2)
56     omega2.x = omegal.x + 2*rp*sin(-Start.
        theta);
57     omega2.y = omegal.y+2*rp*cos(-Start.
        theta);
58
59     Ziel.x = hindernis_rechts.x -
        minAbstand - f_laenge_v - L;
60     beta = acos((omega2.x - Ziel.x)/rp);
61
62     Ziel.y = omega2.y - rp * sin(beta);
63     Ziel.theta = -(pi/2 - beta);
64     phi1 = 0;
65     phi2 = beta - Start.theta - pi/2;
66
67     Weg.k1 = rp * phi1;
68     Weg.k2 = rp * phi2;
69
70     elseif(szenario == 3)
71     Ziel.x = hindernis_rechts.x -
        minAbstand - f_laenge_v - L;
72     beta = acos((omegal.x - Ziel.x)/rp);

```

```

73
74
75     Ziel.theta = pi/2 - beta;
76     phi1 = 0;
77
78
79     Weg.k1 = rp * phi1;
80
81     elseif(szenario == 4)
82
83         omega2.x = hindernis_links.x +
84             minAbstand + f_laenge_h;
85         omega2.y = omegal.y + sqrt((2*rp)^2 - (
86             omega2.x-omegal.x)^2);
87
88         Ziel.x = omega2.x;
89         Ziel.y = omega2.y - rp;
90         Ziel.theta = 0;
91
92         beta = atan((omegal.x-omega2.x)/(omega2.
93             y - omegal.y));
94         B.x = omega2.x + rp*sin(beta);
95         B.y = omega2.y - rp*cos(beta);
96     B.theta = beta;
97
98         phi1 = beta - Start.theta;
99         phi2 = beta;
100        Weg.k1 = rp * phi1;
101
102        elseif(szenario == 5)
103
104            omega2.x = omegal.x - 2*rp*sin(Start.
105                theta);
106            omega2.y = omegal.y+2*rp*cos(Start.theta
107                );
108
109            Ziel.x = hindernis_links.x + minAbstand
110                + f_laenge_h;
111            beta = asin((Ziel.x - omega2.x)/rp);
112
113            Ziel.y = omega2.y - rp * cos(beta);
114            Ziel.theta = beta;
115
116            phi1 = 0;
117            phi2 = Start.theta - beta;
118            Weg.k1 = rp * phi1;
119            Weg.k2 = rp * phi2;
120
121        elseif(szenario == 6)
122
123            Ziel.x = hindernis_links.x + minAbstand
124                + f_laenge_h;
125            beta = acos((Ziel.x - omegal.x)/rp);
126
127            Ziel.y = omegal.y + rp * cos(beta);
128            Ziel.theta = -(pi/2-beta);
129            phi1 = 0;
130            phi2 = beta - Start.theta - pi/2;
131            Weg.k1 = rp * phi1;
132            Weg.k2 = rp * phi2;
133
134        end
135    end

```

D.1.8 Einparkphase - Fahrzeug ausrichten

```

1 function [Ziel verst] = phase_ausrichten(Start)
2
3 global hindernis_links hindernis_rechts f_laenge_h f_laenge_v minAbstand
   L
4
5 if (Start.x+L/2) >= (hindernis_rechts.x-(hindernis_rechts.x-
   hindernis_links.x)/2)
6     Ziel.x = hindernis_links.x + minAbstand + f_laenge_h;
7 else
8     Ziel.x = hindernis_rechts.x - minAbstand - f_laenge_v - L;
9 end
10 Dtheta = abs(Start.theta*180/pi);
11
12 if(Dtheta >= 0 && Dtheta < 5)
13     verst = 12;
14 else
15     verst = 1;
16 end
17 Ziel.y = Start.y;
18 Ziel.theta = 0;

```

D.1.9 Funktion - Virtuelle Deichsel Lenkwinkelregelung

```

1
2 function status = outputFunction_dchsl(t, fhzg_state, flag, Ziel, verst,
   max_winkel, gui)
3
4     global vm alpha_soll
5
6     persistent xp_srg yp_srg xm_srg ym_srg count;
7
8     if strcmp(flag, 'init') == 1
9         % Initialisierung von Datenstrukturen
10    elseif isempty(flag) == 1 % ==> Integrationsschritte
11
12        theta = fhzg_state(1, length(fhzg_state(1, :)));
13        xm = fhzg_state(2, length(fhzg_state(1, :)));
14        ym = fhzg_state(3, length(fhzg_state(1, :)));
15        xp = fhzg_state(4, length(fhzg_state(1, :)));
16        yp = fhzg_state(5, length(fhzg_state(1, :)));
17        alpha_ist = fhzg_state(6, length(fhzg_state(1, :)));
18        s_ist = fhzg_state(7, length(fhzg_state(1, :)));
19
20        ydl = yp - Ziel.y;
21        xdl = xp - Ziel.x;
22
23        if(xdl > 0 || xdl < 0) % Division durch Null
24            sigma = atan(ydl*verst/xdl);
25        else
26            sigma = 0;
27        end
28
29        alpha_soll = sigma - theta;
30
31        if(vm > 0)
32            alpha_soll = -alpha_soll ; % Vorwärtsfahrt
33        else
34            alpha_soll = alpha_soll; % Rückwärtsfahrt
35        end
36

```

```

37     if(alpha_soll > pi) % Überlauf-Wraparound
38         alpha_soll = alpha_soll - 2 * pi;
39     elseif(alpha_soll < -pi)
40         alpha_soll = alpha_soll + 2 * pi;
41     end;
42
43     if(alpha_soll > max_winkel) % Lenkwinkel normieren
44         alpha_soll = max_winkel;
45     elseif(alpha_soll < -max_winkel)
46         alpha_soll = -max_winkel;
47     end;
48     elseif strcmp(flag, 'done') == 1
49         %Nothing to do
50     end
51     status = 0; %1 == Stop Simulation, 0 == Continue Simulation
52 end

```

D.2 Bahnplanungsverfahren der Virtuellen Deichsel

D.2.1 Testbench - VD_1

```

1
2 global L max_winkel Start vm alpha_soll
3
4 maxSteps = 20000; % maximale Anzahl von
   Abtastschritten
5 dt = 0.017; % Abtastperiode in s
6 L = 0.257; % Achsabstand SOC-Fahrzeug [m]
7 max_winkel_grad = 20; % Maximaler Lenkwinkel [Grad]
8 max_winkel = max_winkel_grad/180*pi; % Maximaler Lenkwinkel [rad]
9 alpha_soll = 0;
10 minAbstand = 0.05;
11 f_breite = 0.202; % anpassen!!!! [m] (symmetrisch)
12 f_laenge_v = 0.08; % Fahrzeuglaenge nach vorne, gemessen
   ab der Vorderachse
13 f_laenge_h = 0.05; % Fahrzeuglaenge nach hinten, gemessen
   ab der Hinterachse
14
15 rp = L / tan(max_winkel); % Wenderadius der Hinterachse
16
17 Start = struct('x',[], 'y',[], 'theta',[]); % Start- und
   Zielkonfigurationen
18 Ziel = struct('x',[], 'y',[], 'theta',[]);
19
20 Start.x = 0;
21 Start.y = 0;
22
23 Ziel.x = 0.7 - (2*minAbstand + L + f_laenge_v + f_laenge_h);
24 Ziel.y = 0;
25 verst_min = 1;
26 verst_max = 12;
27
28 vm = 0.1;
29 % Differenz der Konfigurationsräume
30 % 0=A, 1=B, 2=C, 3=D, 4=E, 5=F, 6=G, 7=H,
31 sim_raum_max = 7;
32
33 first_write = 1;
34
35 ergebnis = zeros(sim_raum_max+1,8);

```

```

36 loop_sim_raum = 1;
37 sim_raum = 0;
38
39
40 while loop_sim_raum == 1
41     switch (sim_raum)
42         case 0, % Raum A
43             theta_sim_min = -19;
44             theta_sim_max = -15;
45         case 1, % Raum B
46             theta_sim_min = -14;
47             theta_sim_max = -10;
48         case 2, % Raum C
49             theta_sim_min = -9;
50             theta_sim_max = -5;
51         case 3, % Raum D
52             theta_sim_min = -4;
53             theta_sim_max = -1;
54         case 4, % Raum E
55             theta_sim_min = 0;
56             theta_sim_max = 4;
57         case 5, % Raum F
58             theta_sim_min = 5;
59             theta_sim_max = 9;
60         case 6, % Raum G
61             theta_sim_min = 10;
62             theta_sim_max = 14;
63         case 7, % Raum H
64             theta_sim_min = 15;
65             theta_sim_max = 19;
66     end
67
68     loop_verst = 1;
69     verst = verst_min;
70
71     messreihe = zeros(verst_max,8);    %13 Zeilen , 8 Spalten
72
73     while loop_verst == 1
74         counter = 0;
75         loop_theta = 1;
76         theta_sim = theta_sim_min/180*pi;
77
78         while loop_theta == 1
79
80             alpha_soll = 0;
81             counter = counter + 1;
82
83             tspan = [0:dt:maxSteps*dt];
84             fhzg_init = [theta_sim; Start.x+L*cos(theta_sim); Start.y+L*
                sin(theta_sim); Start.x; Start.y;0;0];
85
86             options = odeset('maxStep',0.02,'OutputFcn',@(t,fhzg_state
                ,flag)outputFunction_dchsl(t,fhzg_state,flag,Ziel,verst,
                max_winkel),'Events',@(t,fhzg_state)Event_dchsl(t,
                fhzg_state,Ziel));
87             [t fhzg_state te ye ie] = ode45(@(t,fhzg_state)
                fhzg_modell_dchsl(t,fhzg_state,L,Ziel,verst,
                max_winkel),tspan,fhzg_init,options);
88

```

```

89     index = length(fhzg_state(:,1));
90     theta = fhzg_state(index,1);
91     xm = fhzg_state(index,2);
92     ym = fhzg_state(index,3);
93     xp = fhzg_state(index,4);
94     yp = fhzg_state(index,5);
95     alpha_ist = fhzg_state(index,6);
96     s_ist = fhzg_state(index,7);
97     theta_grad = theta.* 180 ./ pi;
98
99     %messreihe
100    delta_theta = abs(theta)*180/pi;
101    delta_yp = abs(yp-Ziel.y);
102
103    messreihe(verst,1) = sim_raum;
104    messreihe(verst,2) = verst;
105    messreihe(verst,3) = messreihe(verst,3) + delta_yp;
106    messreihe(verst,4) = messreihe(verst,4) + delta_theta;
107
108    if(delta_yp > 0.05)
109        messreihe(verst,5) = messreihe(verst,5) + 1;
110    end
111
112    if(delta_theta > 5)
113        messreihe(verst,6) = messreihe(verst,6) + 1;
114    end
115
116    if(messreihe(verst,7) <= delta_yp)
117        messreihe(verst,7) = delta_yp;
118    end
119
120    if(messreihe(verst,8) <= delta_theta)
121        messreihe(verst,8) = delta_theta;
122    end
123
124    theta_sim = theta_sim + 1/180*pi;
125    if(theta_sim*180/pi > theta_sim_max + 0.5)
126        loop_theta = 0;
127    end
128 end
129
130 messreihe(verst,3:4) = messreihe(verst,3:4) ./ counter; %
    Durchschnitt berechnen
131 verst = verst + 1;
132 if(verst > verst_max)
133     loop_verst = 0;
134 end
135 end
136
137 min_temp = 999;
138 ergebnis(sim_raum+1,1) = sim_raum;
139 for (k=verst_min: verst_max),
140     temp = messreihe(k,3)*100 + messreihe(k,4);
141     if(temp <= min_temp)
142         min_temp = temp;
143         ergebnis(sim_raum+1,2) = k;
144         ergebnis(sim_raum+1,3) = messreihe(k,3);
145         ergebnis(sim_raum+1,4) = messreihe(k,4);
146         ergebnis(sim_raum+1,5) = messreihe(k,5);

```



```

147     ergebnis(sim_raum+1,6) = messreihe(k,6);
148     ergebnis(sim_raum+1,7) = messreihe(k,7);
149     ergebnis(sim_raum+1,8) = messreihe(k,8);
150     end
151 end
152
153 if(first_write == 1)
154     first_write = 0;
155     fid = fopen('messreihe.txt','wt'); %
156     fprintf(fid, '<Simraum>\t<Verstärkung>\t\t<Durchschnitt_delta_y>\t\t<durchschnitt_delta_theta>\t\t<anzahl_delta_y>_0.05_m>\t\t<Anzahl_delta_theta>_10_\t<_max_delta_yp_\t<_max_delta_theta_\t<Anzahl_Iterationen>\n'); %Überschrift
157 else
158     fid = fopen('messreihe.txt','at');
159     end
160     fprintf(fid, '%c\t', char('A'+sim_raum));
161     fprintf(fid, '%2.0f\t', ergebnis(sim_raum+1,2));
162     fprintf(fid, '%3.5f\t', ergebnis(sim_raum+1,3));
163     fprintf(fid, '%3.5f\t', ergebnis(sim_raum+1,4));
164     fprintf(fid, '%3.0f\t', ergebnis(sim_raum+1,5));
165     fprintf(fid, '%3.0f\t', ergebnis(sim_raum+1,6));
166     fprintf(fid, '%3.5f\t', ergebnis(sim_raum+1,7));
167     fprintf(fid, '%3.5f\t', ergebnis(sim_raum+1,8));
168     fprintf(fid, '%3.0f\t', counter);
169     fprintf(fid, '\n');
170     fclose(fid);
171
172     sim_raum = sim_raum + 1;
173     if(sim_raum > sim_raum_max)
174         loop_sim_raum = 0;
175     end
176 end

```

D.2.2 Testbench - VD_2

```

1
2
3 global L max_winkel Start vm alpha_soll
4
5 maxSteps = 20000; % maximale Anzahl von
6 dt = 0.017; % Abtastperiode in s
7 L = 0.257; % Achsabstand SOC-Fahrzeug [m]
8 max_winkel_grad = 20; % Maximaler Lenkwinkel [Grad]
9 max_winkel = max_winkel_grad/180*pi; % Maximaler Lenkwinkel [rad]
10 alpha_soll = 0;
11
12 rp = L / tan(max_winkel); % Wenderadius der Hinterachse
13
14 Start = struct('x',[], 'y',[], 'theta',[]); % Start- und
15 Ziel = struct('x',[], 'y',[], 'theta',[]); % Zielkonfigurationen
16
17 Start.x = 0;
18 Start.y = 0;
19
20 Ziel.x = 0.5; %l
21

```

```
22 verst_min = 1;
23 verst_max = 12;
24
25 vm = 0.1;
26 % Differenz der Konfigurationsräume
27 % 0=A, 1=B, 2=C, 3=D, 4=E, 5=F, 6=G, 7=H,
28 sim_raum_max = 7;
29
30 first_write = 1;
31
32 ergebnis = zeros(sim_raum_max+1,8);
33 loop_sim_raum = 1;
34 sim_raum = 0;
35
36 while loop_sim_raum == 1
37     switch (sim_raum)
38         case 0, % Raum A
39             ziel_y_min = 0.06;
40             ziel_y_max = 0.10;
41             theta_sim_min = -9;
42             theta_sim_max = -5;
43         case 1, % Raum B
44             ziel_y_min = 0.06;
45             ziel_y_max = 0.10;
46             theta_sim_min = -4;
47             theta_sim_max = -1;
48         case 2, % Raum C
49             ziel_y_min = 0.06;
50             ziel_y_max = 0.10;
51             theta_sim_min = 1;
52             theta_sim_max = 4;
53         case 3, % Raum D
54             ziel_y_min = 0.06;
55             ziel_y_max = 0.10;
56             theta_sim_min = 5;
57             theta_sim_max = 9;
58         case 4, % Raum E
59             ziel_y_min = 0.00;
60             ziel_y_max = 0.05;
61             theta_sim_min = -9;
62             theta_sim_max = -5;
63         case 5, % Raum F
64             ziel_y_min = 0.00;
65             ziel_y_max = 0.05;
66             theta_sim_min = -4;
67             theta_sim_max = -1;
68         case 6, % Raum G
69             ziel_y_min = 0.00;
70             ziel_y_max = 0.05;
71             theta_sim_min = 1;
72             theta_sim_max = 4;
73         case 7, % Raum H
74             ziel_y_min = 0.00;
75             ziel_y_max = 0.05;
76             theta_sim_min = 5;
77             theta_sim_max = 9;
78     end
79
80     loop_verst = 1;
```

```

81  verst = verst_min;
82
83  messreihe = zeros(verst_max+1,8);  %13 Zeilen , 8 Spalten
84
85  while loop_verst == 1
86      counter = 0;
87      loop_dy = 1;
88      Ziel.y = ziel_y_min;
89
90      while loop_dy == 1
91
92          loop_theta = 1;
93          theta_sim = theta_sim_min/180*pi;
94
95          while loop_theta == 1
96
97
98              counter = counter + 1;
99
100             tspan = [0:dt:maxSteps*dt];
101             fhzg_init = [theta_sim; Start.x+L*cos(theta_sim); Start.y+
                L*sin(theta_sim); Start.x; Start.y;0;0];
102
103             options = odeset('maxStep',0.02,'OutputFcn',@(t,
                fhzg_state,flag)outputFunction_dchsl(t,fhzg_state,
                flag,Ziel,verst,max_winkel),'Events',@(t,
                fhzg_state)Event_dchsl(t,fhzg_state,Ziel));
104             [t fhzg_state te ye ie] = ode45(@(t, fhzg_state)
                fhzg_modell_dchsl(t, fhzg_state, L, Ziel, verst,
                max_winkel), tspan, fhzg_init, options);
105
106             index = length(fhzg_state(:,1));
107             theta = fhzg_state(index,1);
108             xm = fhzg_state(index,2);
109             ym = fhzg_state(index,3);
110             xp = fhzg_state(index,4);
111             yp = fhzg_state(index,5);
112             alpha_ist = fhzg_state(index,6);
113             s_ist = fhzg_state(index,7);
114             theta_grad = theta.* 180 ./ pi;
115
116             %messreihe
117             delta_theta = abs(theta)*180/pi;
118             delta_yp = abs(yp-Ziel.y);
119
120             messreihe(verst,1) = sim_raum;
121             messreihe(verst,2) = verst;
122             messreihe(verst,3) = messreihe(verst,3) + delta_yp;
123             messreihe(verst,4) = messreihe(verst,4) + delta_theta;
124
125             if(delta_yp > 0.05)
126                 messreihe(verst,5) = messreihe(verst,5) + 1;
127             end
128
129             if(delta_theta > 5)
130                 messreihe(verst,6) = messreihe(verst,6) + 1;
131             end
132
133             if(messreihe(verst,7) <= delta_yp)

```

```

134         messreihe(verst,7) = delta_yp;
135     end
136
137     if(messreihe(verst,8) <= delta_theta)
138         messreihe(verst,8) = delta_theta;
139     end
140
141     theta_sim = theta_sim + 1/180*pi;
142     if(theta_sim*180/pi > theta_sim_max)
143         loop_theta = 0;
144     end
145 end
146 Ziel.y = Ziel.y + 0.01; % +1 cm
147 if(Ziel.y > ziel_y_max)
148     loop_dy = 0;
149 end
150 end
151 messreihe(verst,3:4) = messreihe(verst,3:4) ./ counter; %
    Durchschnitt berechnen
152 verst = verst + 1;
153 if(verst > verst_max)
154     loop_verst = 0;
155 end
156 end
157 min_temp = 999;
158 ergebnis(sim_raum+1,1) = sim_raum;
159 for (k=verst_min: verst_max),
160     temp = messreihe(k,3)*100 + messreihe(k,4);
161     if(temp <= min_temp)
162         min_temp = temp;
163         ergebnis(sim_raum+1,2) = k;
164         ergebnis(sim_raum+1,3) = messreihe(k,3);
165         ergebnis(sim_raum+1,4) = messreihe(k,4);
166         ergebnis(sim_raum+1,5) = messreihe(k,5);
167         ergebnis(sim_raum+1,6) = messreihe(k,6);
168         ergebnis(sim_raum+1,7) = messreihe(k,7);
169         ergebnis(sim_raum+1,8) = messreihe(k,8);
170     end
171 end
172
173 if(first_write == 1)
174     first_write = 0;
175     fid = fopen('messreihe.txt','wt'); %
    Datei erstellen und zum schreiben öffnen
176     fprintf(fid, '<Simraum>\t<Verstärkung>\t\t<Durchschnitt_delta_y>\t\t<durchschnitt_delta_theta>\t\t<anzahl_delta_y>_0.05_m>\t\t<Anzahl_delta_theta>10_\t<_max_delta_yp>\t<_max_delta_theta>\t<Anzahl_Iterationen>_\n'); %Überschrift
177 else
178     fid = fopen('messreihe.txt','at');
179 end
180 fprintf(fid, '%c\t', char('A'+sim_raum));
181 fprintf(fid, '%2.0f\t', ergebnis(sim_raum+1,2));
182 fprintf(fid, '%3.5f\t', ergebnis(sim_raum+1,3));
183 fprintf(fid, '%3.5f\t', ergebnis(sim_raum+1,4));
184 fprintf(fid, '%3.0f\t', ergebnis(sim_raum+1,5));
185 fprintf(fid, '%3.0f\t', ergebnis(sim_raum+1,6));
186 fprintf(fid, '%3.5f\t', ergebnis(sim_raum+1,7));
187 fprintf(fid, '%3.5f\t', ergebnis(sim_raum+1,8));

```

```

188     fprintf(fid, '%3.0f\t', counter);
189     fprintf(fid, '\n');
190     fclose(fid);
191
192     sim_raum = sim_raum + 1;
193     if(sim_raum > sim_raum_max)
194         loop_sim_raum = 0;
195     end
196 end

```

D.2.3 Testbench - VD_3

```

1
2 global L max_winkel Start vm alpha_soll
3
4 maxSteps = 20000;           % maximale Anzahl von
   Abtastschritten
5 dt = 0.017;                % Abtastperiode in s
6 L = 0.257;                  % Achsabstand SOC-Fahrzeug [m]
7 max_winkel_grad = 20;      % Maximaler Lenkwinkel [Grad]
8 max_winkel = max_winkel_grad/180*pi; % Maximaler Lenkwinkel [rad]
9 alpha_soll = 0;
10
11 Start = struct('x', [], 'y', [], 'theta', []); % Start- und
   Zielkonfigurationen
12 Ziel = struct('x', [], 'y', [], 'theta', []);
13
14 Start.x = 0;
15 Start.y = 0;
16
17 verst_min = 1;
18 verst_max = 12;
19
20 vm = 0.1;
21 % Differenz der Konfigurationsräume
22 % 1=A, 2=B, 3=C, 4=D, 5=E, 6=F, 7=G, 8=H, 9=I, 10=J, 11=K, 12=L, 13=M,
23 % 14=N, 15=O, 16=P, 17=Q, 18=R, 19=S, 20=T
24 sim_raum_max = 19;
25
26 first_write = 1;
27
28 ergebnis = zeros(sim_raum_max+1,8);
29 loop_sim_raum = 1;
30 sim_raum = 0;
31
32 while loop_sim_raum == 1
33     switch (sim_raum)
34         case 0, % Raum A
35             ziel_x_min = 0.20;
36             ziel_x_max = 0.29;
37             ziel_y_min = 0.01;
38             ziel_y_max = 0.05;
39             theta_sim_min = -9;
40             theta_sim_max = -5;
41         case 1, % Raum B
42             ziel_x_min = 0.20;
43             ziel_x_max = 0.29;
44             ziel_y_min = 0.01;
45             ziel_y_max = 0.05;
46             theta_sim_min = -4;

```

```
47         theta_sim_max = -1;
48     case 2, % Raum C
49         ziel_x_min = 0.20;
50         ziel_x_max = 0.29;
51         ziel_y_min = 0.01;
52         ziel_y_max = 0.05;
53         theta_sim_min = 1;
54         theta_sim_max = 4;
55     case 3, % Raum D
56         ziel_x_min = 0.20;
57         ziel_x_max = 0.29;
58         ziel_y_min = 0.01;
59         ziel_y_max = 0.05;
60         theta_sim_min = 5;
61         theta_sim_max = 9;
62     case 4, % Raum E
63         ziel_x_min = 0.30;
64         ziel_x_max = 0.49;
65         ziel_y_min = 0.01;
66         ziel_y_max = 0.05;
67         theta_sim_min = -9;
68         theta_sim_max = -5;
69     case 5, % Raum F
70         ziel_x_min = 0.30;
71         ziel_x_max = 0.49;
72         ziel_y_min = 0.01;
73         ziel_y_max = 0.05;
74         theta_sim_min = -4;
75         theta_sim_max = -1;
76     case 6, % Raum G
77         ziel_x_min = 0.30;
78         ziel_x_max = 0.49;
79         ziel_y_min = 0.01;
80         ziel_y_max = 0.05;
81         theta_sim_min = 1;
82         theta_sim_max = 4;
83     case 7, % Raum H
84         ziel_x_min = 0.30;
85         ziel_x_max = 0.49;
86         ziel_y_min = 0.01;
87         ziel_y_max = 0.05;
88         theta_sim_min = 5;
89         theta_sim_max = 9;
90     case 8, % Raum I
91         ziel_x_min = 0.30;
92         ziel_x_max = 0.49;
93         ziel_y_min = 0.06;
94         ziel_y_max = 0.10;
95         theta_sim_min = -9;
96         theta_sim_max = -5;
97     case 9, % Raum J
98         ziel_x_min = 0.30;
99         ziel_x_max = 0.49;
100        ziel_y_min = 0.06;
101        ziel_y_max = 0.10;
102        theta_sim_min = -4;
103        theta_sim_max = -1;
104     case 10, % Raum K
105        ziel_x_min = 0.30;
```

```
106         ziel_x_max = 0.49;
107         ziel_y_min = 0.06;
108         ziel_y_max = 0.10;
109         theta_sim_min = 1;
110         theta_sim_max = 4;
111     case 11, % Raum L
112         ziel_x_min = 0.30;
113         ziel_x_max = 0.49;
114         ziel_y_min = 0.06;
115         ziel_y_max = 0.10;
116         theta_sim_min = 5;
117         theta_sim_max = 9;
118     case 12, % Raum M
119         ziel_x_min = 0.50;
120         ziel_x_max = 0.99;
121         ziel_y_min = 0.01;
122         ziel_y_max = 0.05;
123         theta_sim_min = -9;
124         theta_sim_max = -5;
125     case 13, % Raum N
126         ziel_x_min = 0.50;
127         ziel_x_max = 0.99;
128         ziel_y_min = 0.01;
129         ziel_y_max = 0.05;
130         theta_sim_min = -4;
131         theta_sim_max = -1;
132     case 14, % Raum O
133         ziel_x_min = 0.50;
134         ziel_x_max = 0.99;
135         ziel_y_min = 0.01;
136         ziel_y_max = 0.05;
137         theta_sim_min = 1;
138         theta_sim_max = 4;
139     case 15, % Raum P
140         ziel_x_min = 0.50;
141         ziel_x_max = 0.99;
142         ziel_y_min = 0.01;
143         ziel_y_max = 0.05;
144         theta_sim_min = 5;
145         theta_sim_max = 9;
146     case 16, % Raum Q
147         ziel_x_min = 0.50;
148         ziel_x_max = 0.99;
149         ziel_y_min = 0.06;
150         ziel_y_max = 0.10;
151         theta_sim_min = -9;
152         theta_sim_max = -5;
153     case 17, % Raum R
154         ziel_x_min = 0.50;
155         ziel_x_max = 0.99;
156         ziel_y_min = 0.06;
157         ziel_y_max = 0.10;
158         theta_sim_min = -4;
159         theta_sim_max = -1;
160     case 18, % Raum S
161         ziel_x_min = 0.50;
162         ziel_x_max = 0.99;
163         ziel_y_min = 0.06;
164         ziel_y_max = 0.10;
```

```

165         theta_sim_min = 1;
166         theta_sim_max = 4;
167     case 19, % Raum T
168         ziel_x_min = 0.50;
169         ziel_x_max = 0.99;
170         ziel_y_min = 0.06;
171         ziel_y_max = 0.10;
172         theta_sim_min = 5;
173         theta_sim_max = 9;
174     end
175
176     loop_verst = 1;
177     verst = verst_min;
178
179     auswertung = zeros(verst_max+1,8); %13 Zeilen , 8 Spalten
180
181     while loop_verst == 1
182         counter = 0;
183         loop_dx = 1;
184         Ziel.x = ziel_x_min;
185
186
187         while loop_dx == 1
188
189             loop_dy = 1;
190             Ziel.y = ziel_y_min;
191
192             while loop_dy == 1
193
194                 loop_theta = 1;
195                 theta_sim = theta_sim_min/180*pi;
196
197                 while loop_theta == 1
198
199                     counter = counter + 1;
200
201                     tspan = [0:dt:maxSteps*dt];
202                     fhzg_init = [theta_sim; Start.x+L*cos(theta_sim);
203                                 Start.y+L*sin(theta_sim); Start.x; Start.y;0;0];
204
205                     options = odeset('maxStep',0.02,'OutputFcn', @(t,
206                                 fhzg_state, flag) outputFunction_dchsl(t, fhzg_state
207                                 , flag, Ziel, verst, max_winkel), 'Events', @(t,
208                                 fhzg_state) Event_dchsl(t, fhzg_state, Ziel));
209
210                     [t fhzg_state te ye ie] = ode45(@(t, fhzg_state)
211                                 fhzg_modell_dchsl(t, fhzg_state, L, Ziel, verst,
212                                 max_winkel), tspan, fhzg_init, options);
213
214                     index = length(fhzg_state(:,1));
215                     theta = fhzg_state(index,1);
216                     xm = fhzg_state(index,2);
217                     ym = fhzg_state(index,3);
218                     xp = fhzg_state(index,4);
219                     yp = fhzg_state(index,5);
220                     alpha_ist = fhzg_state(index,6);
221                     s_ist = fhzg_state(index,7);
222                     theta_grad = theta.* 180 ./ pi;
223
224                     %Auswertung

```



```

218         delta_theta = abs(theta)*180/pi;
219         delta_yp = abs(yp-Ziel.y);
220
221         auswertung(verst,1) = sim_raum;
222         auswertung(verst,2) = verst;
223         auswertung(verst,3) = auswertung(verst,3) + delta_yp
224         ;
225         auswertung(verst,4) = auswertung(verst,4) +
226         delta_theta;
227
228         if(delta_yp > 0.05)
229             auswertung(verst,5) = auswertung(verst,5) + 1;
230         end
231
232         if(delta_theta > 5)
233             auswertung(verst,6) = auswertung(verst,6) + 1;
234         end
235
236         if(auswertung(verst,7) <= delta_yp)
237             auswertung(verst,7) = delta_yp;
238         end
239
240         if(auswertung(verst,8) <= delta_theta)
241             auswertung(verst,8) = delta_theta;
242         end
243
244         theta_sim = theta_sim + 1/180*pi;
245         if(theta_sim*180/pi > theta_sim_max)
246             loop_theta = 0;
247         end
248
249         end
250         Ziel.y = Ziel.y + 0.01; % +1 cm
251         if(Ziel.y > ziel_y_max)
252             loop_dy = 0;
253         end
254
255         end
256         Ziel.x = Ziel.x + 0.01; % +1 cm
257         if(Ziel.x > ziel_x_max)
258             loop_dx = 0;
259         end
260
261         end
262         auswertung(verst,3:4) = auswertung(verst,3:4) ./ counter; %
263         Durchschnitt berechnen
264         verst = verst + 1;
265         if(verst > verst_max)
266             loop_verst = 0;
267         end
268
269         end
270         min_temp = 999;
271         ergebnis(sim_raum+1,1) = sim_raum;
272         for (k=verst_min: verst_max),
273             temp = auswertung(k,3)*100 + auswertung(k,4);
274             if(temp <= min_temp)
275                 min_temp = temp;
276                 ergebnis(sim_raum+1,2) = k;
277                 ergebnis(sim_raum+1,3) = auswertung(k,3);
278                 ergebnis(sim_raum+1,4) = auswertung(k,4);
279                 ergebnis(sim_raum+1,5) = auswertung(k,5);
280                 ergebnis(sim_raum+1,6) = auswertung(k,6);

```

```

274         ergebnis(sim_raum+1,7) = auswertung(k,7);
275         ergebnis(sim_raum+1,8) = auswertung(k,8);
276     end
277 end
278
279 if(first_write == 1)
280     first_write = 0;
281     fid = fopen('auswertung.txt','wt'); %
282     Datei erstellen und zum schreiben öffnen
283     fprintf(fid, '<Simraum>\t<Verstärkung>\t\t<Durchschnitt_delta_y>\t\t<durchschnitt_delta_theta>\t\t<anzahl_delta_y>_0.05_m>\t\t<Anzahl_delta_theta>10>\t<_max_delta_yp>\t<_max_delta_theta>\t<Anzahl Iterationen>\n'); %Überschrift
284 else
285     fid = fopen('auswertung.txt','at+');
286 end
287 fprintf(fid, '%c\t', char('A'+sim_raum));
288 fprintf(fid, '%2.0f\t', ergebnis(sim_raum+1,2));
289 fprintf(fid, '%3.5f\t', ergebnis(sim_raum+1,3));
290 fprintf(fid, '%3.5f\t', ergebnis(sim_raum+1,4));
291 fprintf(fid, '%3.0f\t', ergebnis(sim_raum+1,5));
292 fprintf(fid, '%3.0f\t', ergebnis(sim_raum+1,6));
293 fprintf(fid, '%3.5f\t', ergebnis(sim_raum+1,7));
294 fprintf(fid, '%3.5f\t', ergebnis(sim_raum+1,8));
295 fprintf(fid, '%3.0f\t', counter);
296 fprintf(fid, '\n');
297 fclose(fid);
298
299 sim_raum = sim_raum + 1;
300 if(sim_raum > sim_raum_max)
301     loop_sim_raum = 0;
302 end
end

```

E Anforderungen an das Fahrzeugsystem

Im folgendem Abschnitt werde ich den Einsatzzweck des von mir verwendeten autonomen Fahrzeugs erläutern, das im Rahmen des FAUST-Projektes an der Hochschule für Angewandte Wissenschaften Hamburg entwickelt wird. Zu den Randbedingungen beim Einparkmanöver werde ich besonders eingehen.

E.1 Carolo-Cup

Der Carolo-Cup ist ein Hochschulübergreifender Wettbewerb, der jährlich von der TU-Braunschweig veranstaltet wird.

Hochschulen bekommen hier eine Plattform, um Fahrkonzepte für autonome Fahrzeuge zu präsentieren und unter Wettbewerbsbedingungen vorzuführen.

Der Rahmen des Wettbewerbs ist realitätsnah gestaltet, die Maße der Straße sowie der Modellfahrzeuge sind im Maßstab 1:10 festgelegt.

Je nach Disziplin gibt es unterschiedliche Hindernisse, beim Einparkmanöver sind es statische Hindernisse am Fahrbahnrand, die zufällig angeordnet sind und parkende Autos nachbilden. Beim Rundkurs sind es dynamische Hindernisse die fahrende Autos darstellen, sowie zufällig angeordnete fehlende Fahrbahnmarkierung machen die Wettbewerbsbedingungen realistisch.

Die Fahrdisziplinen und die zugehörige maximal zu erreichenden Punkte sind wie folgt vorgegeben:

Die Punkte werden Stufenweise von 0 bis maximal vergeben, das erfolgreichste Team bekommt

Statische Disziplinen

Präsentation der Herstellkosten und der Energiebilanz	50 Punkte
Präsentation des Einparkkonzeptes	150 Punkte
Präsentation des Spurführungskonzeptes mit Ausweichmanövern	150 Punkte

Dynamische Disziplinen

Einparken parallel	200 Punkte
Rundstrecke ohne Hindernisse	200 Punkte
Rundstrecke mit Hindernissen	250 Punkte

Maximal mögliche Gesamtpunktzahl 1000 Punkte

Abb. 61: Carolocup Disziplinen und Punktevergabe: ca. 1/3 der zu erreichenden Punkte können über ein gutes Konzept erreicht werden und ca. 2/3 über das Gewinnen der Disziplinen

die maximale Punktzahl und die Anderen erhalten anteilig Punkte.

Die Präsentationen dauern jeweils 10 Minuten, eine Fachjury bewertet die Präsentationen

E.2 Anforderungen an das Fahrzeug

Aus dem Regelwerk 2010 des Carolo-Cups sind folgende zwingende Anforderungen aufgeführt:

Die hier aufgeführten Anforderungen von Seiten des Carolo-Cups sind unbedingt einzuhalten.

ID	Kategorie	Text
F1	Fahrzeugmaße	Das Fahrzeugmodell muss im Maßstab 1:10 sein
F2	Fahrzeugmaße	Die maximale Höhe des Fahrzeugs muss 400 mm betragen
F3	Fahrzeugmaße	Die Spurweite muss mindestens 160 mm betragen
F4	Fahrzeugmaße	Der Radstand muss mindestens 200 mm betragen
F5	Karosserie	Die Fahrzeugverkleidung muss die Elektronik vor Spritzwasser schützen
F6	Karosserie	Die Fahrzeugverkleidung muss isolierend gegenüber Stromschlägen sein
F7	Karosserie	Die Fahrzeugverkleidung muss jederzeit schnell abbaubar sein
F8	Motor	Der Fahrzeugantrieb muss über einen elektrischen Motor erfolgen
F9	Räder	Die Anzahl der Räder muss vier sein
F10	Räder	Die Räder müssen auf zwei Achsen gelagert sein
F11	Räder	Die Anzahl der gelagerten Rädern muss auf einer Achse zwei betragen
F12	Lenkung	Die Lenkung des Autos muss über eine Zweiradlenkung der Vorderachse erfolgen
F13	Steuerung	Das Fahrzeug muss während einer dynamischen Disziplin autonom fahren
F14	Steuerung	Datenübertragungen sind während einer dynamischen Disziplin im Notfall allein über die Fernbedienung erlaubt
F15	Steuerung	Die Aktivierung des RC-Modus muss über die Fernbedienung erfolgen
F16	Steuerung	Die Deaktivierung des RC-Modus muss über die Fernbedienung erfolgen
F17	Steuerung	Das Aktivieren des RC-Modus während eines Wettbewerbs darf nur in Notsituationen erfolgen
F18		
F19	RC-Modus	Die maximale Geschwindigkeit des Fahrzeugs darf im RC-Modus maximal 0.3 m/s betragen
F20	RC-Modus	Das Fahrzeug muss nach sofort nach dem aktivieren des RC-Modus anhalten
F21	RC-Modus	Das Fahrzeug darf im RC-Modus nur gelenkt und vorwärts oder rückwärts bewegt werden
F22	LEDs	Der aktive RC-Modus muss mit einer rundum sichtbaren blauen, blinkenden LED-Signalleuchte am höchsten Punkt des Fahrzeuges signalisiert werden
F23	LEDs	Die Blinkfrequenz der LED-Signalleuchte muss 1Hz und ein
F24		Tastverhältnis von 50% aufweisen
F25	LEDs	Drei erkennbare Bremslichter müssen am Heck des Fahrzeuges montiert sein
F26	LEDs	Negative Beschleunigungen von einer Dauer von mehr als 500 ms müssen
F27		signalisiert werden
F28	LEDs	Ein Überholvorgang muss durch seitliches blinken signalisiert werden
F29	LEDs	Das Abbiegen muss durch seitliches blinken signalisiert werden
F30	LEDs	Das Einparken muss durch seitliches blinken signalisiert werden
F31	LEDs	Die LED-Fahrtrichtungsanzeiger müssen eine Blinkfrequenz von 1 Hz mit
F32		Tastverhältnis von 50 % haben
F33	LEDs	Die LED-Fahrtrichtungsanzeiger müssen Gelb oder Orange leuchten
F34	LEDs	Die LED-Fahrtrichtungsanzeiger müssen an jeder Seite, jeweils vorne und
F35		hinten angebracht sein
F36	Sensoren	Die Sensoren müssen Sicherheitsanforderungen zur Nutzung in der Öffentlichkeit genügen, insbesondere Schädigung Dritter
F37	Sensoren	Ein Lasersensor darf maximal die Laser Klasse 2 besitzen
F38	Energieversorgung	Die Energieversorgung muss über Akkus erfolgen
F39	Allgemein	Alle Disziplinen sind mit dem gleichen Fahrzeug durchzuführen
F40	Allgemein	Es dürfen keine fertigen Lösungen von professionellen Ingenieuren oder anderen Dienstleistern übernommen werden

Tabelle 7: Anforderungen an das Fahrzeug aus dem Regelwerk Carolo-Cup 2010. Ein Verstoß einer der aufgeführten Anforderungen hat den Ausschluss vom Wettbewerb oder einen Punktabzug zur Folge

E.3 Anforderungen an den Einparkassistenten

ID	Kategorie	Text
E1	Start	Das Fahrzeug startet auf der Straße an einer weißen 40 mm breiten Startline
E2	Suche	Das Fahrzeug muss die rechte Fahrspur der Straße zur Parklückensuche entlang fahren
E3	Einparken	Das Fahrzeug muss parallel zur Fahrbahn und innerhalb der weißen Linien einparken
E4	Einparken	Das Fahrzeug muss in der Parklücke mit einer maximal zulässigen Winkelabweichung von 5 Grad stoppen
E5	Einparken	Der Abstand zum vorderen und hinteren Hindernis muss jeweils mindestens 10mm betragen
E6	Einparken	Die Hindernisse dürfen nicht berührt werden
E7	Einparken	Die äußere Parklückenbegrenzungslinie darf nicht überfahren werden
E8	Steuerung	Das starten des Einparkassistenten muss über ein Taster am Fahrzeug erfolgen
E9	Steuerung	Die Verwendung des RC-Modus ist während des Einparkens nicht erlaubt
E10	LEDs	Die Blinker müssen das Einparken signalisieren
E11	LEDs	Das Ende des Einparkmanövers muss durch Aufleuchten aller Fahrtrichtungsanzeiger angezeigt werden

Tabelle 8: Anforderungen an den Einparkassistenten und den Einparkvorgang aus dem Regelwerk Carolo-Cup 2010. Ein Verstoß einer der aufgeführten Anforderungen hat den Ausschluss vom Wettbewerb oder einen Punktabzug zur Folge

E.4 Steuerung des Fahrzeugsystems

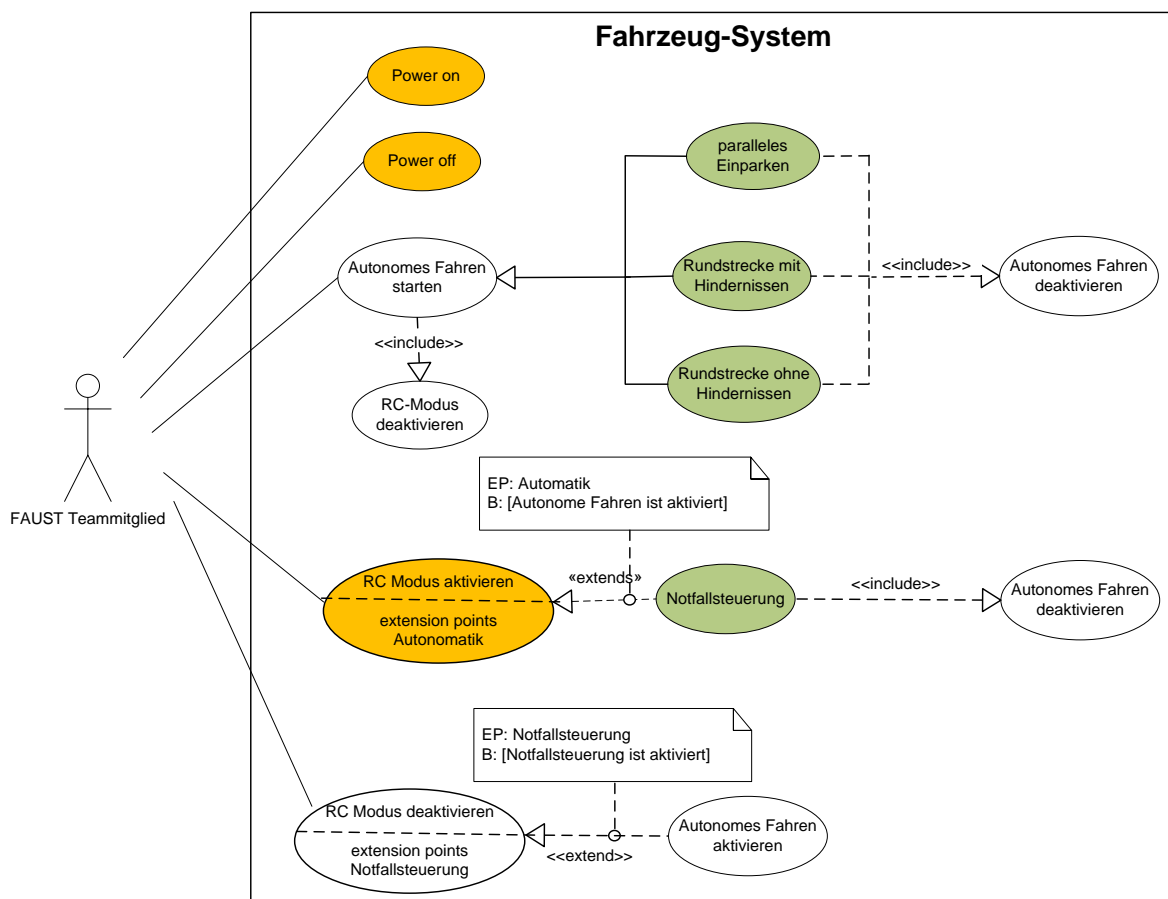


Abb. 62: Anwendungsfalldiagramm zur Steuerung des Fahrzeugs

Versicherung über Selbstständigkeit

Hiermit versichere ich, dass ich die vorliegende Arbeit im Sinne der Prüfungsordnung nach §22(4) ohne fremde Hilfe selbstständig verfasst und nur die angegebenen Hilfsmittel benutzt habe.

Hamburg, 14.07.2010